

รายงานการวิจัยฉบับสมบูรณ์

โครงการวิจัย อินเวอร์เตอร์หนึ่งเฟสแบบต่อเข้าระบบสำหรับ
แหล่งจ่ายไฟฟ้าพลังงานทดแทน

ผู้วิจัย
อาจารย์เอกพล อนุสุเรนทร์
อาจารย์ชานุฤทธิ์ หาราสันติสุข

คณะวิศวกรรมศาสตร์ มหาวิทยาลัยเทคโนโลยีราชมงคลกรุงเทพ

RMUTK-CARIT



3 2000 00126320 3

สนับสนุนโดย สำนักบริหารโครงการวิจัยในอุดมศึกษา
และพัฒนาวิทยาลัยแห่งชาติ

เลขที่..... ๖๒๑.๓๑๗ ๐๒๕๑๙
เลขทะเบียน.... ๑๙๙.๓ (๓๒)
วัน เดือน ปี.... ๒๙ ๖ ๒๕๕๘

กิตติกรรมประกาศ

โครงการวิจัยนี้ได้รับทุนสนับสนุนการวิจัยจาก สำนักบริหารโครงการวิจัยในอุดมศึกษา และพัฒนามหาวิทยาลัยแห่งชาติ สำนักงานคณะกรรมการอุดมศึกษา

อาจารย์เอกพล อนุสูเรนทร์
อาจารย์ชาญฤทธิ์ สารัสันติสุข



หัวข้อวิจัย	อินเวอร์เตอร์ที่มีเฟสแบบต่อเข้าระบบสำหรับแหล่งจ่ายไฟฟ้าพลังงานทดแทน
ผู้วิจัย	อาจารย์เอกพล อันสุรนทร์
ผู้ร่วมวิจัย	อาจารย์ชาญฤทธิ์ ราษฎร์สุข
สาขาวิชา	คณะวิศวกรรมศาสตร์ มหาวิทยาลัยเทคโนโลยีราชมงคลกรุงเทพ
ปีงบประมาณ	2555

บทคัดย่อ

รายงานการวิจัยนี้นำเสนออินเวอร์เตอร์แบบเชื่อมต่อเข้าระบบจำหน่ายของการไฟฟ้าโดยใช้การควบคุมกระแสในแกน d,q ซึ่งเป็นแกนอ้างอิงหมุนตัวโดยความเร็วซึ่งโครนัสทำให้คำนึงถึงความผิดพลาดของกระแสในสภาวะคงตัวเป็นศูนย์และผลผลิตของสัญญาณรบกวนด้วยการกำจัดผลของแรงดันเชื่อมร่วม มีควบคุมแรงดันตีซีบส์ด้วยตัวควบคุมแบบพีไอ ส่วนการซิงโครไนซ์สำหรับอินเวอร์เตอร์ใช้วิธีเฟสล็อกกลูปโดยสร้างสัญญาณ α, β จากการเลื่อนเฟสของสัญญาณไป 90° เพื่อที่จะได้มุม 0° สำหรับการแปลงแกนในระบบควบคุม ระบบควบคุมทั้งหมดสร้างด้วยตัวควบคุมสัญญาณแบบดิจิตอลเบอร์ dsPIC30F4011 ควบคุมอินเวอร์เตอร์ขนาด 1 kW ความถี่ สวิตช์ 18 kHz ตัวเหนี่ยวนำค่า 2.7 mH สำหรับกรองกระแส ผลการทดสอบอินเวอร์เตอร์มีประสิทธิภาพ 94% และอาرمอนิกส์ของกระแส 1.8 % มีการทดสอบการเชื่อมต่อเข้าระบบและเปลี่ยนโหลดแบบทันทีทันใดเพื่อทดสอบผลตอบสนองในสภาวะทรายเชิง และการสร้างระบบควบคุมแบบทันเวลาด้วยตัวประมวลผลสัญญาณแบบดิจิตอลเบอร์ TMS320F2808 ด้วยโปรแกรม Matlab/Simulink

สารบัญเรื่อง

	หน้า
ปกใน	2
กิตติกรรมประกาศ	3
บทคัดย่อ	4
สารบัญเรื่อง	6
สารบัญตาราง	8
สารบัญภาพ	9
บทที่ 1 บทนำ	
1.1 บทนำ	12
1.2 วัสดุประสงค์ของงานวิจัย	13
1.3 ขอบเขตของงานวิจัย	13
1.4 ขั้นตอนการดำเนินงาน	13
1.5 ประโยชน์ที่คาดว่าจะได้รับ	13
บทที่ 2 ทฤษฎี	
2.1 ทฤษฎีของอินเวอร์เตอร์แบบหนึ่งเฟส (Single-phase Inverter)	15
2.2 ทฤษฎีการสวิตชิ่ง (Switching)	23
2.3 ทฤษฎีเฟล็อกลูป (Phase Locked Loop: PLL)	29
2.4 เฟล็อกลูปแบบหนึ่งเฟส (Single-Phase Phase-Locked Loop)	32
2.5 การแปลงแกนของสัญญาณควบคุม	33
2.6 Digital Signal Controller Board (DSC Board)	35
2.7 การออกแบบซอฟต์แวร์ dsPIC30F4011	39
2.8 สถาปัตยกรรมของ TMS320F2808	45
2.9 หน่วยประมวลผลกลาง	47
2.10 สถาปัตยกรรมของหน่วยประมวลผลกลาง	47
2.11 รีจิสเตอร์ของหน่วยประมวลผลกลาง	48
2.12 การจัดผังหน่วยความจำ	50
2.13 อุปกรณ์ต่อพ่วง	51

บทที่ 3 การออกแบบงานวิจัย	
3.1 องค์ประกอบของแบบจำลอง Matlab/Simulink	61
3.2 ผลจำลองการทำงานของอินเวอร์เตอร์หนึ่งเฟส	65
3.3 การออกแบบและการสร้างด้านอาร์ดแวร์	66
3.4 การใช้งาน Code Composer Studio 3.3 ร่วมกับ Matlab/Simulink	75
3.5 โปรแกรมควบคุมแบบทันเวลาด้วยโปรแกรม Matlab/Simulink	77
บทที่ 4 ผลการวิจัย	
4.1 การทดสอบระบบอินเวอร์เตอร์	80
4.2 ขั้นตอนการทดสอบอินเวอร์เตอร์ขณะดัดอัตราเร็วแบบจำหน่าย	80
4.3 ผลการทดสอบอินเวอร์เตอร์	81
บทที่ 5 สรุปผลการวิจัยและข้อเสนอแนะ	
5.1 สรุปผลการวิจัยที่ได้จากการทดลอง	91
5.2 ข้อเสนอแนะ	91
5.3 ผลงานเดี่ยวพิมพ์ในการประชุมวิชาการ บรรณานุกรม	92
ภาคผนวก ก. โปรแกรม	101
ภาคผนวก ข. ประวัตินักวิจัย	102
ภาคผนวก ค. รายการสรุปการเงิน	109
	115

สารบัญตาราง	หน้า
ตารางที่	หน้า
2.1 ตารางชาร์มอนิกของ $(V_{A0})_h / (V_d / 2)$	21
2.2 เงื่อนไขการสวิตซ์ชิ่งแรงดันเฟสและแรงดันไฟฟ้าด้านออกของอินเวอร์เตอร์แบบ ยูนิโพลาร์	60
2.3 การเปรียบเทียบการสวิตชิ่งแรงดันไฟฟ้าแบบไม่โพลาร์กับยูนิโพลาร์	62
4.1 พารามิเตอร์ที่ใช้ในการทดสอบ	68



สารบัญภาพ

ภาพที่	หน้า
2.1 อินเวอร์เตอร์หนึ่งเฟส	19
2.2 การสร้างสัญญาณสวิตชิ่งแบบพีดับบลิวьюเอ็ม	21
2.3 พีดับเบิลยูเอ็มแบบไชน์	23
2.4 รูปคลื่นพีดับบลิวьюเอ็มแบบโอลเวอร์มอตูเลชัน	23
2.5 สเปกตรานของรูปคลื่นพีดับเบิลยูเอ็มแบบโอลเวอร์มอตูเลชันเมื่อ $m_a = 1.25, m_f = 15$	25
2.6 การควบคุมค่าแรงดันไฟฟ้าทางด้านออกของอินเวอร์เตอร์พีดับเบิลยูเอ็มปรับค่า m_a	25
2.7 การสวิตชิ่งแรงดันแบบไบโพลาร์	26
2.8 การสวิตชิ่งแรงดันไฟฟ้าแบบบูนิโพลาร์	27
2.9 บล็อกไ/doะแกรมของเฟสล็อกลูปแบบพีนฐาน	28
2.10 บล็อกไ/doะแกรมเพื่อสร้างเฟสล็อกลูป	28
2.11 บล็อกไ/doะแกรมของเฟสล็อกลูปแบบหนึ่งเฟส	30
2.12 การสร้างสัญญาณ $x_\alpha(t), x_\beta(t)$ และแปลงอยู่ในแกน d, q axis	30
2.13 การแปลงปาร์ก	31
2.14 วงจรปรับระดับสัญญาณ (Signal Conditioning Circuit)	32
2.15 วงจรเลื่อนเฟส 90 องศา	33
2.16 การเลื่อนเฟสสัญญาณไป 90 องศา	34
2.17 วงจรภาคกำลังของอินเวอร์เตอร์ ทรานส์ฟิวเซอร์ และการต่อวงจรขับเกต	35
2.18 วงจรขับเกต (Gate drive)	36
2.19 บล็อกไ/doะแกรมการทำงานโมดูล ADC ของ dsPIC30F4011	36
2.20 ไ/doะแกรมเวลาของการทำงานโดยเนิดสัญญาณ PWM แบบตัวตั้งสัญญาณกึ่งกลาง	38
2.21 บล็อกไ/doะแกรมของระบบควบคุม	
2.22 บล็อกไ/doะแกรมของ TMS320F2808	39
2.23 รีจิสเตอร์ของหน่วยประมวลผลกลาง	40
2.24 ผังหน่วยความจำ	47
2.25 บล็อกไ/doะแกรมของ ePWM	48
2.26 บล็อกไ/doะแกรมของ ADC	51

สารบัญภาพ (ต่อ)

ภาพที่	หน้า
3.1 วงจรกำลังของอินเวอร์เตอร์แบบหนึ่งเฟสต่อเข้าระบบจำหน่าย	58
3.2 แบบจำลองทางคณิตศาสตร์ของอินเวอร์เตอร์	59
3.3 การควบคุมอินเวอร์เตอร์โดยใช้การควบคุมแบบพีไอ	61
3.4 แบบจำลองที่สร้างขึ้นในโปรแกรม Matlab/Simulink	62
3.5 แบบจำลองของบล็อก PLL	63
3.6 บล็อกไตรัมแกรมของ Current Loop	64
3.7 บล็อกไตรัมแกรมของ Voltage Loop	65
3.8 บล็อกไตรัมแกรมของ SPWM	65
3.9 บล็อกไตรัมแกรมของ alpha-beta to dq	66
3.10 บล็อกไตรัมแกรมของ dq to alpha-beta	67
3.11 แบบจำลองของบล็อก Inverter	68
3.12 ระบบจำลองภาคกำลังอินเวอร์เตอร์เมื่อสวิตชิ่งแบบยูนิโพลาร์	68
3.13 ผลตอบสนองเมื่อกำลังด้านอินพุตมีการเปลี่ยนแปลงแบบขั้น	69
3.14 ผลจำลองวงจรกำลังของอินเวอร์เตอร์เมื่อสวิตชิ่งแบบยูนิโพลาร์	70
3.15 โครงสร้างของชุดอินเวอร์เตอร์แบบต่อเข้าระบบจำหน่าย	71
3.16 วงจรยกระดับแรงดันไฟฟ้าจาก 3V ไปเป็น 5V	72
3.17 วงจรขั้นเกต	73
3.18 อุปกรณ์และวงจรวัดกระแส	73
3.19 วงจรวัดแรงดันไฟฟ้ากระแสตรง	74
3.20 วงจรวัดแรงดันไฟฟ้ากระแสสลับ	74
3.21 อุปกรณ์ของวงจรภาคกำลัง	75
3.22 วงจรกรองความถี่ต่ำผ่าน	75
3.23 อุปกรณ์และวงจรหงหงดของกรองกระแสด้านอาร์ดไวร์	76
3.24 การเชื่อมต่อระหว่างคอมพิวเตอร์ส่วนบุคคลกับตัวประมวลผลสัญญาณดิจิตอล	76
3.25 หน้าต่างของโปรแกรม Code Composer Studio 3.3	77
3.26 การเชื่อมต่อระหว่างโปรแกรม Code Composer Studio 3.3 กับบอร์ด DSP	77
3.27 โปรแกรม Code Composer Studio 3.3 เมื่อเชื่อมต่อเรียบร้อย	
3.28 โปรแกรม Code Composer Studio 3.3 เมื่อยุดเชื่อมต่อ	
3.29 โปรแกรมควบคุมแบบทันเวลาด้วยโปรแกรม Matlab/Simulink	
3.30 บล็อก C28x ADC	

สารบัญภาพ (ต่อ)

ภาพที่	หน้า
3.31 การสร้างสัญญาณพีดับบลิวเอ็ม	78
3.32 บล็อก C28x PWM	79
3.33 บล็อก Simulink สำหรับควบคุมและสร้างสัญญาณแบบทันเวลา	79
4.1 วงจรกำลังที่ใช้ในการทดสอบระบบอินเวอร์เตอร์หนึ่งเฟสแบบต่อเข้าระบบจ้าน่าย	89
4.2 ผลการทำงานของเฟสล็อกลูป	90
4.3 สัญญาณค่ากระแสและแรงดันอินเวอร์เตอร์ที่กำลังไฟฟ้าสูงสุด	91
4.4 สัญญาณแรงดันของอินเวอร์เตอร์และค่า FFT ของแรงดันขณะจะย้ายโหลด	91
4.5 สัญญาณกระแสของอินเวอร์เตอร์และค่า FFT ของกระแสขณะจะย้ายโหลด	92
4.6 สัญญาณแรงดัน V_{dc} และค่ากระแสของอินเวอร์เตอร์	93
4.7 สัญญาณแรงดันอินพุตของหม้อแปลงอัตราส่วนและค่ากระแสของอินเวอร์เตอร์	94
4.8 สัญญาณค่ากระแสกับแรงดันที่ทำการเชื่อมต่อระบบจ้าน่ายการไฟฟ้า	94
4.9 สัญญาณกระแสกับแรงดันที่กำลังไฟฟ้าสูงสุดขณะเชื่อมต่อระบบจ้าน่ายการไฟฟ้า	95
4.10 FFT ของแรงดันขณะเชื่อมต่อระบบจ้าน่ายการไฟฟ้า	95
4.11 FFT ของกระแสขณะเชื่อมต่อระบบจ้าน่ายการไฟฟ้า	96
4.12 ผลตอบสนองของแรงดันดีซีบสเมื่อเกิดการเปลี่ยนแปลงของกระแสแบบขั้น	96
4.13 กราฟความสัมพันธ์ของกำลังไฟฟ้ากับกระแสที่จ่ายให้กับระบบจ้าน่ายการไฟฟ้า	97
4.14 กราฟความสัมพันธ์ของกำลังไฟฟ้ากับแรงดันบัสที่จ่ายให้กับระบบจ้าน่าย	98
4.15 กราฟความสัมพันธ์ของกำลังไฟฟ้ากับประสิทธิภาพ	98
4.16 กราฟความสัมพันธ์ของกำลังไฟฟ้ากับารมอนิกส์ของกระแส	99
4.17 กราฟความสัมพันธ์ของกำลังไฟฟ้ากับารมอนิกส์ของแรงดัน	10

บทที่ 1

บทนำ

ในปัจจุบันแหล่งจ่ายพลังงานไฟฟ้ามีความสำคัญกับมนุษย์เป็นอย่างมาก ที่มาของแหล่งพลังงานไฟฟ้าสามารถนำมาได้จากหลายแหล่งตัวยังกัน เช่น พลังงานที่ได้จากการทำปฏิกรณ์ทางเคมี พลังงานนิวเคลียร์ พลังงานที่ได้จากการเครื่องจักรกลที่ใช้การสันดาปจากเชื้อเพลิง พลังงานลม พลังงานความร้อน พลังงานจากความตันน้ำ พลังงานแสง เป็นดัน ซึ่งแหล่งพลังงานบางประเภทที่นำมาใช้ผลิตเป็นพลังงานไฟฟ้านั้นเมื่อใช้กันมากแล้วสามารถหมดไปในอนาคตได้ บางประเภทสร้างผลกระทบทางอากาศเป็นพิษต่อมนุษย์เป็นอย่างมาก ซึ่งปัญหาดังกล่าวในปัจจุบันเราได้ให้ความสำคัญกับเรื่องดังกล่าวนี้เป็นอย่างมาก ยิ่งในปัจจุบันมนุษย์รามีการใช้พลังงานไฟฟ้าเพิ่มขึ้นเป็นอย่างมาก ผู้วิจัยจึงได้คิดค้นหาวิธีการที่จะนำพลังงานจากธรรมชาติมาเปลี่ยนเป็นพลังงานไฟฟ้า ตั้งนั้นการค้นคว้าหารือวิธีการที่จะเปลี่ยนพลังงานจากธรรมชาติมาเปลี่ยนเป็นพลังงานไฟฟ้ากำลังมีการพัฒนาและปรับปรุงเป็นอย่างมาก

อินเวอร์เตอร์เป็นทางเลือกหนึ่งซึ่งได้มีการนำมาใช้งานในด้านต่างๆ อย่างกว้างขวาง ไม่ว่า ในด้านพลังงานทดแทน เช่น อินเวอร์เตอร์ใช้ร่วมกับหันลม อินเวอร์เตอร์ใช้ร่วมกับแสงอาทิตย์ ด้านอุตสาหกรรม เช่น อินเวอร์เตอร์ใช้ควบคุมความเร็วของมอเตอร์ และอีกหลายๆ ด้าน ดังนั้นจึงต้องมีการพัฒนาอินเวอร์เตอร์ขึ้นมาเพื่อแปลงจากไฟฟ้ากระแสตรงไปเป็นไฟฟ้ากระแสสลับ ซึ่งต้องมีคุณสมบัติที่สามารถจ่ายกำลังไฟฟ้าต่อเข้ากับระบบของการไฟฟ้าได้อย่างมีเสถียรภาพ อินเวอร์เตอร์ที่อยู่กับระบบของการไฟฟ้ากำลังได้รับความสนใจในการวิจัยและพัฒนาให้มีสมรรถนะและความเชื่อถือได้สูงเพื่อที่จะสามารถใช้งานได้กว้างขวางมากขึ้น

ประเทศไทยได้ให้ความสนใจในการนำอินเวอร์เตอร์มาใช้ร่วมกับระบบจำหน่าย เพื่อเชื่อมต่อเข้ากับระบบของการไฟฟ้า แต่อินเวอร์เตอร์ที่นำมาเชื่อมเข้ากับระบบของการไฟฟ้ายังมีค่า harmonic ที่สูงเกินไปและแรงดันอยู่ในระดับที่ต่ำ ทำให้เกิดความไม่เสถียรภาพขึ้นในระบบสายสั่งและยังรบกวนระบบการขนส่งทางสายสั่งอีกด้วย เนื่องจากผู้จัดทำจึงเกิดแนวคิดที่จะพัฒนาการทำงานของอินเวอร์เตอร์ที่มีเฟสใหม่ประสิทธิภาพมากขึ้น โดยใช้เทคนิคการควบคุมให้กระแสจ่ายเข้าระบบการไฟฟ้ามีมุมเฟสเดียวกันกับแรงดันของระบบการไฟฟ้า โดยสร้างสัญญาณสัญญาณพัลส์วิดท์มอดูลาร์ (Pulse Width Modulation, PWM) ด้วยไมโครคอนโทรลเลอร์เบอร์ dsPIC30F4011 และเบอร์ TMS320F2808 ซึ่งสามารถใช้งานร่วมกับโปรแกรม MATLAB [5] โดยการใช้ไมโครลส์รังส์สัญญาณพัลส์วิดท์มอดูลาร์ ที่มีค่าความต้านทานแบบยูนิโพลาร์ (Unipolar Voltage Switching) เพื่อไปควบคุมการทำงานของสวิตช์ในอินเวอร์เตอร์ ทางคณาจารย์ได้เลิศเห็นความสำคัญ จึงได้นำเสนอโครงการวิจัยนี้เพื่อเป็นแนวทางเบื้องต้นใน

การศึกษาการใช้งานอินเวอร์เตอร์หนึ่งเฟสแบบต่อเข้าระบบเพื่อประยุกต์ใช้งานกับพลังงานทดแทน

1.1 วัตถุประสงค์ของงานวิจัย

- 1.1.1 ศึกษาข้อมูลของอินเวอร์เตอร์หนึ่งเฟสแบบต่อเข้าระบบสำหรับการแปลงไฟฟ้ากระแสตรงเป็นไฟฟ้ากระแสสลับ
- 1.1.2 เพื่อจำลองการทำงานของระบบอินเวอร์เตอร์แบบต่อเข้าระบบด้วยโปรแกรมคอมพิวเตอร์
- 1.1.3 เพื่อออกแบบระบบอินเวอร์เตอร์สำหรับต่อเข้าระบบด้วยเฟสล็อกกลุป (PLL) พิกัด 1 kW
- 1.1.4 เพื่ออกรูปแบบความคุณภาพด้วยตัวประมวลผลสัญญาณดิจิตอลและมีการควบคุมแบบทันเวลา
- 1.1.5 ศึกษามาตรฐานระบบอินเวอร์เตอร์เรื่องคุณภาพของการแสวงและแรงดันให้ได้ตามมาตรฐาน IEEE929

1.2 ขอบเขตของงานวิจัย

- 1.2.1 สร้างและจำลองการทำงานอินเวอร์เตอร์หนึ่งเฟสแบบต่อเข้าระบบด้วยโปรแกรม MATLAB/SIMULINK
- 1.2.2 อกรูปแบบและสร้างอินเวอร์เตอร์หนึ่งเฟสแบบต่อเข้าระบบด้วยวิธีเฟสล็อกกลุป (PLL) พิกัด 1 kW
- 1.2.3 อกรูปแบบความคุณภาพอินเวอร์เตอร์ด้วยตัวประมวลผลสัญญาณดิจิตอลและมีการควบคุมแบบทันเวลา
- 1.2.4 ทดสอบการต่อเข้าระบบของอินเวอร์เตอร์หนึ่งเฟสในระบบไฟฟ้า 220 V 50 Hz
- 1.2.5 สร้างระบบควบคุมกระแสและแรงดันของอินเวอร์เตอร์เพื่อคุณภาพได้ตามมาตรฐาน IEEE929
- 1.2.6 ทดสอบระบบอินเวอร์เตอร์ด้วยตัวกรองกระแสแบบด้วยหนี่ยวน้ำ (L)

1.3 ขั้นตอนการดำเนินงาน

- 1.3.1 ศึกษาค้นคว้าข้อมูลของอินเวอร์เตอร์และเฟสล็อกกลุปแบบหนึ่งเฟส
- 1.3.2 จำลองระบบควบคุมกระแสและแรงดันของอินเวอร์เตอร์แบบหนึ่งเฟส
- 1.3.3 อกรูปแบบและเขียนโปรแกรมควบคุมด้วย Digital Signal Controller
- 1.3.4 สร้างชุดอินเวอร์เตอร์หนึ่งเฟสแบบยูนิโพลาร์ด้วยมอสเฟตกำลัง

- 1.3.5 ทดสอบระบบควบคุมอินเวอร์เตอร์สำหรับต่อเข้าระบบจำหน่าย
- 1.3.6 วิเคราะห์และสรุปผลการทดลอง
- 1.3.7 นำเสนอผลงานในงานประชุมวิชาการ
- 1.3.8 จัดทำรูปเล่มรายงานการวิจัย

1.4 ประโยชน์ที่คาดว่าจะได้รับ

- 1.4.1 ได้เครื่องต้นแบบอินเวอร์เตอร์เพื่อไปใช้ในอุดสาหกรรมผลิตอินเวอร์เตอร์เพื่อต่อเข้าระบบจำหน่ายได้
- 1.4.2 ได้อินเวอร์เตอร์เพื่อใช้งานกับแผงเซลล์แสงอาทิตย์ที่สาขาวิชาวิศวกรรมไฟฟ้าติดตั้งไว้บางส่วน
- 1.4.3 เมยแพร่ความรู้ในลักษณะบทความวิชาการให้กับบุคคลทั่วไป

บทที่ 2

ทฤษฎี

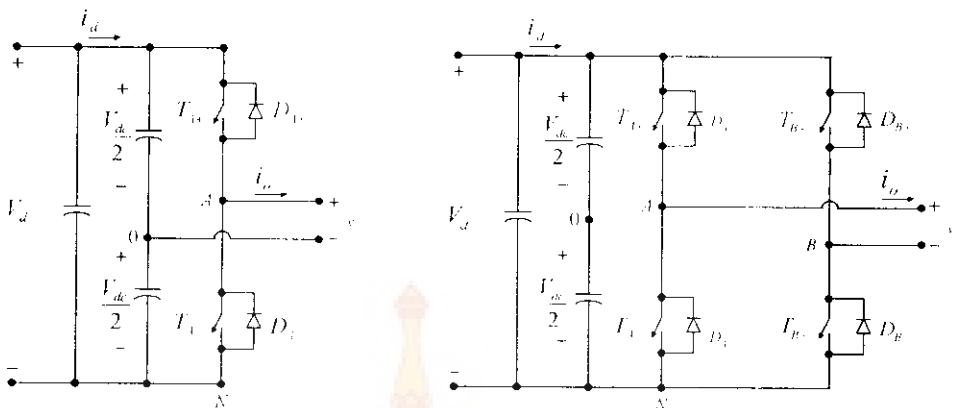
ในการออกแบบและสร้างวงจรอินเวอร์เตอร์หนึ่งเฟสแบบต่อเข้าระบบจำหน่ายด้วยไมโครคอนโทรลเลอร์เบอร์ dsPIC30F4011 และเบอร์ TMS320F2808 ในบทนี้จะกล่าวถึงทฤษฎีและหลักการของอินเวอร์เตอร์หนึ่งเฟสแบบเชื่อมต่อระบบจำหน่ายการไฟฟ้า ซึ่งจะแบ่งออกเป็น 2 ส่วนด้วยกันคือ ภาคกำลังและภาคควบคุม รวมไปถึงวงจรยกระดับสัญญาณ วงจรเลื่อนเฟส และวงจรขับเกต อีกทั้งในงานวิจัยนี้ยังนำเอateknik การแปลงแกนจากแกนหยุดนิ่งอยู่กับที่ (Stationary reference frame) มาเป็นแกนหมุนด้วยความเร็วคงคลับ (-d,-q Synchronous reference frame) โดยใช้ค่ามุขของการไฟฟ้าจากเฟสล็อกลูป (Phase-locked loop) ซึ่งจำเป็นต้องศึกษาหลักการและทฤษฎีที่เกี่ยวข้องดังนี้

2.1 ทฤษฎีของอินเวอร์เตอร์หนึ่งเฟส (Single-phase Inverter)

2.1.1 อินเวอร์เตอร์หนึ่งเฟส

อินเวอร์เตอร์หนึ่งเฟสจะแบ่งออกเป็นสองชนิด คือ แบบฮาล์ฟบริดจ์ (half-bridge) และแบบฟูลบริดจ์ (full-bridge) ในแบบฮาล์ฟบริดจ์จะมีตัวเก็บประจุสองตัวต่อสำหรับกันอยู่ระหว่างแหล่งจ่ายแรงดันไฟฟ้ากระแสตรงและหากกำหนดให้ค่าตัวเก็บประจุสองตัวมีค่าเท่ากัน จะทำให้แรงดันไฟฟ้าตัดครึ่งตัวเก็บประจุแต่ละตัวจะมีค่าเท่ากันคือ $V_d/2$ จุดกึ่งกลางแรงดันไฟฟ้า (จุด 0 ในภาพที่ 2.1 (ก)) จะมีค่าคงที่เมื่อเทียบกับบัสลบ (N) ตั้งแสดงในภาพที่ 2.1 (ก) ส่วนวงจรอินเวอร์เตอร์หนึ่งเฟสแบบฟูลบริดจ์จะประกอบไปด้วยสองกึ่งคือ กึ่ง A และกึ่ง B ในภาพที่ 2.1 (ข) โดยแบบฟูลบริดจ์จะมีกำลังไฟฟ้าสูงกว่าแบบฮาล์ฟบริดจ์สองเท่าจึงเหมาะสมที่จะเลือกใช้เมื่อต้องการจ่ายกำลังไฟฟ้าให้ลดลงขึ้น

เงื่อนไขสำคัญที่อินเวอร์เตอร์หนึ่งเฟสแบบฮาล์ฟบริดจ์และแบบฟูลบริดจ์ คือการทำงานของสวิตช์ T_{A+} และ T_{A-} ต้องไม่ทำงานพร้อมกันในทุกช่วงเวลา มิฉะนั้นแล้วจะเกิดการลัดวงจรระหว่างบัสบวกกับบัสลบ ในอุดมคติเวลาการสวิตช์ซึ่งของ T_{A+} และ T_{A-} จะต้องข้ามกัน แต่ในทางปฏิบัติจะต้องการช่วงเวลาที่สวิตช์หันคู่ไม่นำกระแสซึ่งจะเรียกว่าเดดไทม์ (dead time) โดยเดดไทม์จะอยู่ในช่วงเวลา ก่อนจะเปลี่ยนสถานการณ์สวิตช์จากนำกระแสเป็นไม่นำกระแสหรือจากไม่นำกระแสเป็นนำกระแส



(ก) แบบขาล์ฟบริเตอร์

(ข) แบบฟูลบริเตอร์

ภาพที่ 2.1 อินเวอร์เตอร์หนึ่งเฟส

2.1.2 การสวิตช์ซิ่งแบบพีดับเบิลยูเอ็ม

ในวงจรอินเวอร์เตอร์ต้องการจะสร้างแรงดันไฟฟ้าด้านออกเป็นรูปไซน์ที่สามารถปรับขนาดและความถี่ตามต้องการได้ โดยจะใช้สัญญาณควบคุมรูปคลื่นไซน์ (sinusoidal control signal) ตามความถี่ที่ต้องการนำมาเปรียบเทียบกับรูปคลื่นสามเหลี่ยม (triangular waveform) ดังภาพที่ 2-2 (ก) ความถี่ของการสวิตช์ซิ่งจะเท่ากับความถี่ของรูปคลื่นสามเหลี่ยม (f_s)

คำย่อและความหมายที่สำคัญของการสวิตช์ซิ่งแบบพีดับเบิลยูเอ็ม มีดังต่อไปนี้

$v_{control}$	สัญญาณควบคุมรูปไซน์ที่ต้องการนำมาสร้างแรงดันไฟฟ้าและความถี่ทางด้านออก
v_m	สัญญาณรูปสามเหลี่ยมที่เป็นตัวกำหนดความถี่สวิตช์ซิ่ง
f_s	ความถี่หลักมูลทางด้านออกของอินเวอร์เตอร์
f_c	ความถี่ของการสวิตช์ซิ่งของอินเวอร์เตอร์
m_a	อัตราการมอตอร์เลตด้านแอมเพลจูต
m_f	อัตราการมอตอร์เลตด้านความถี่

ค่า m_a และ m_f จะนิยามจากสมการที่ (2.1) และสมการที่ (2.2) ตามลำดับ

$$m_a = \frac{V_{control}}{V_{in}} \quad (2.1)$$

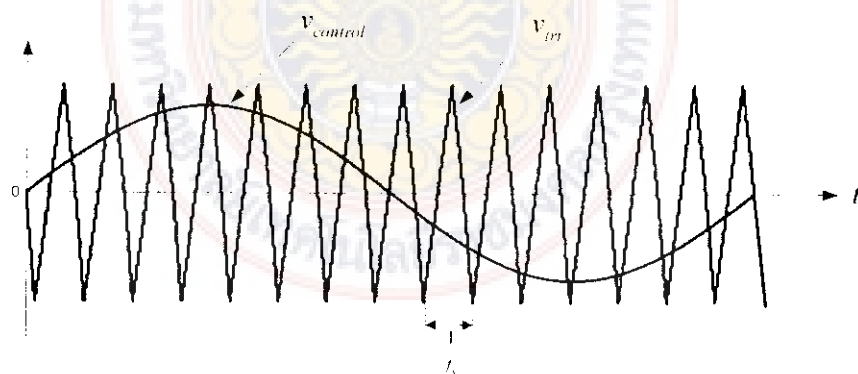
$$m_a = \frac{f_s}{f_l} \quad (2.2)$$

เมื่อ	$V_{control}$	คือค่าของสัญญาณควบคุมรูปไซน์
	V_{in}	คือค่าของสัญญาณรูปสามเหลี่ยม

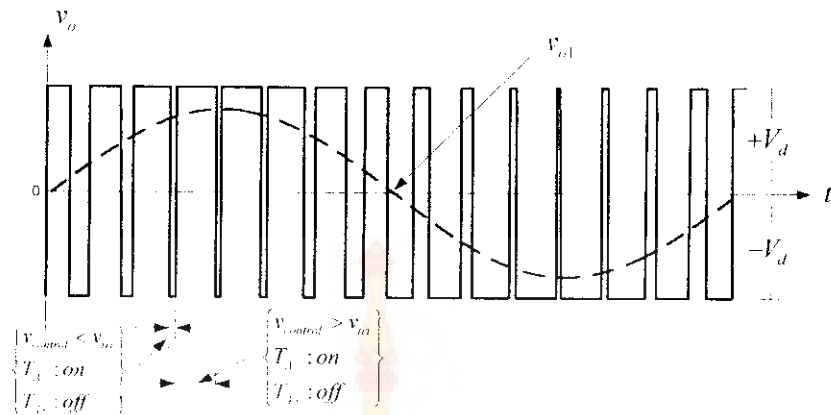
ถ้าค่า $0 \leq m_a \leq 1$ จะเป็นช่วงการมอตุเลดเชิงเส้น ซึ่งหมายถึงองค์ประกอบหลัก คือความถี่ของแรงดันไฟฟ้าด้านออก (fundamental-frequent of the output voltage) โดยจะปรับผัน เชิงเส้นกับค่า m_a ในกรณี $m_a > 1$ จะเป็นช่วงการควบคุมแบบโอลิวอร์โมดูลเช่นที่แสดงของ แรงดันไฟฟ้าด้านออกจะมีองค์ประกอบขยายมอนิกสูงกว่าช่วงการมอตุเลดเชิงเส้น สำหรับ เงื่อนไขของการสร้างสัญญาณสวิตชิ้งแบบพืดับเบลญี่อัม คือ

$$v_{control} > v_{in}, T_{A+} \text{ จะนำกระแส } v_{d0} = \frac{1}{2} V_d \quad (2.3)$$

$$v_{control} < v_{in}, T_{A-} \text{ จะนำกระแส } v_{d0} = -\frac{1}{2} V_d \quad (2.4)$$



(ก) สัญญาณรูปคลื่นไซน์เปรียบเทียบกับรูปคลื่นสามเหลี่ยม



(บ) สัญญาณสวิตชิ่งแบบพีดับเบิลยูเอ็ม



(ค) สัญญาณอาร์มอนิกสเปคตรัของสัญญาณไชน์

ภาพที่ 2.2 การสร้างสัญญาณสวิตชิ่งแบบพีดับเบิลยูเอ็ม

การทำงานของสวิตซ์ T_{d+} และ T_{d-} จะขึ้นอยู่กับผลการเปรียบเทียบของ $v_{control}$ กับ v_m โดยจะมีเงื่อนไขดังสมการที่ (2.3) และ (2.4) และจะไม่ขึ้นอยู่กับทิศทางของกระแส ดังภาพที่ 2.2 แสดงตัวอย่างเมื่อกำหนดเงื่อนไขที่ $m_a = 0.8$ และ $m_f = 15$ สำหรัมอนิกส์

ເປັດຕາ (harmonic spectrum) ຂອງ v_{A0} ໂດຍເຂີຍກາຣາຟເຖິງກັບຄໍາແກນຕັ້ງ $(V_{A0})_h / (V_d / 2)$ ດັ່ງກາພທີ 2.2 (ຄ) ຈະມີສ່າງສໍາຄັງສາມສ່ວນຄື່ອ

2.1.2.1 ຄ່າຍອດຂອງແຮງດັນໄຟຟ້າທີ່ຄວາມຄື່ຫລັກມູລ $(V_{A0})_h = m_a (V_d / 2)$ ໂດຍມີຄວາມສົມພັນຂຶ້າງ

$$V_{A0} = \frac{v_{control}}{V_m} \cdot \frac{V_d}{2} ; \quad v_{control} \leq V_m \quad (2.5)$$

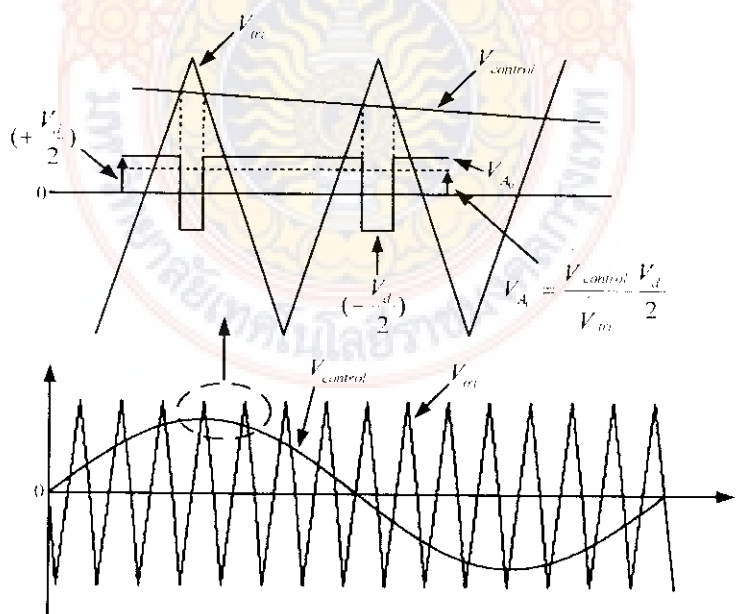
$$v_{control} = V_{control} \sin(\omega_l t) ; \quad V_{control} \leq V_m$$

$$(V_{A0})_1 = \left(\frac{V_{control}}{V_m} \cdot \frac{V_d}{2} \right) \sin(\omega_l t) ; \quad m_a \leq 1.0$$

$$(V_{A0})_1 = m_a (V_d / 2) \sin(\omega_l t) ; \quad m_a \leq 1.0$$

$$\left(V_{A1} \right)_1 = m_a (V_d / 2) ; \quad m_a \leq 1.0 \quad (2.6)$$

ສມກາທີ 2.6 ພິຈາລະນາປະກອບດັ່ງກາພທີ 2.3 ຈະໄດ້ວ່າແຮງດັນໄຟຟ້າທີ່ຄວາມຄື່ຫລັກມູລຈະແປປັນເປັນເຊີງເສັ້ນກັບຄໍາ m_a ເມື່ອ m_a ຈະມີຄ່າຢູ່ຮະຫວ່າງ 0 ປຶ້ງ 1



ກາພທີ 2.3 ພຶດບັນເບີລູເວັມແບນໄຫຼນ (sinusoidal pulse width modulation: SPWM)

2.1.2.2 ค่าไซด์แบนด์ไฮร์มอนิก (sideband harmonic) จะเกิดขึ้นรอบๆ $1m_f$, $2m_f$, $3m_f$, ... ตั้งแต่ในสมการที่ (2.7) หรือ (2.8)

$$f_h = (jm_f \pm k)f_i \quad (2.7)$$

$$h = j(m_f) \pm k \quad (2.8)$$

เมื่อ $h = 1$ คือความถี่หลักมูล (fundamental frequency)

ถ้าค่า j เป็นเลขคี่ ค่าไฮร์มอนิกจะเท่ากับค่า k ที่เป็นเลขคู่

ถ้าค่า j เป็นเลขคู่ ค่าไฮร์มอนิกจะเท่ากับค่า k ที่เป็นเลขคี่

ตัวอย่างไซด์แบนด์ไฮร์มอนิกในดังภาพที่ 2.2 (ค) และแสดงค่าไฮร์มอนิก $(V_{40})_h / (V_d / 2)$ ในตารางที่ 2.1 ซึ่งมีข้อสังเกตว่าค่า $(V_{40})_h / (V_d / 2)$ จะเป็นพังค์ชันกับ m_a

2.1.2.3 ค่า m_f ไฮร์มอนิกควรจะเป็นเลขคี่ เพราะถ้ากำหนดให้ค่า m_f เป็นเลขคี่ก็จะทำให้เกิดการสมมาตรเลขคี่ ซึ่งแสดงได้จากสมการ $f(-t) = f(t)$ ผลที่ได้คือจะมีเพียงไฮร์มอนิกเลขคี่เท่านั้นที่บังปรากฏอยู่ใน V_{40} ส่วนไฮร์มอนิกเลขคู่จะหักล้างกัน โดยที่ช่วง $m_f > 21$ จะถือว่า m_f มีค่ามากโดยที่ขนาดของไฮร์มอนิกย่ออย (sub harmonics) จะมีค่าน้อยเมื่อเทียบกับค่า m_f

สำหรับกรณีโอเวอร์มอดูลเช่น $(m_a > 1)$ จะเกิดขึ้นเมื่อ $V_{control} > V_m$ โดยค่ารูปคลื่นพิดับเบิลยูเอ็มจะมีช่วงที่เป็นวงหรือลوبกว้างกว่าหนึ่งคาบสวิตซ์ซึ่งแสดงดังภาพที่ 2.4 โอเวอร์มอดูลเช่นมีข้อตีคือ ขนาดของแรงดันไฟฟ้าของความถี่หลักมูลจะมีค่าสูงกว่าในกรณี $m_a \leq 1$ แต่การเพิ่มขึ้นของแรงดันไฟฟ้าจะไม่เป็นเชิงเส้นจนถึงค่าคงที่ค่าหนึ่ง และช่วงแรงดันยอดหากด้านออกของความถี่หลักมูลจะมีค่าอยู่ระหว่าง $V_d / 2$ ถึง $4V_d / 2\pi$ เนื่องเป็นสมการได้ดังนี้

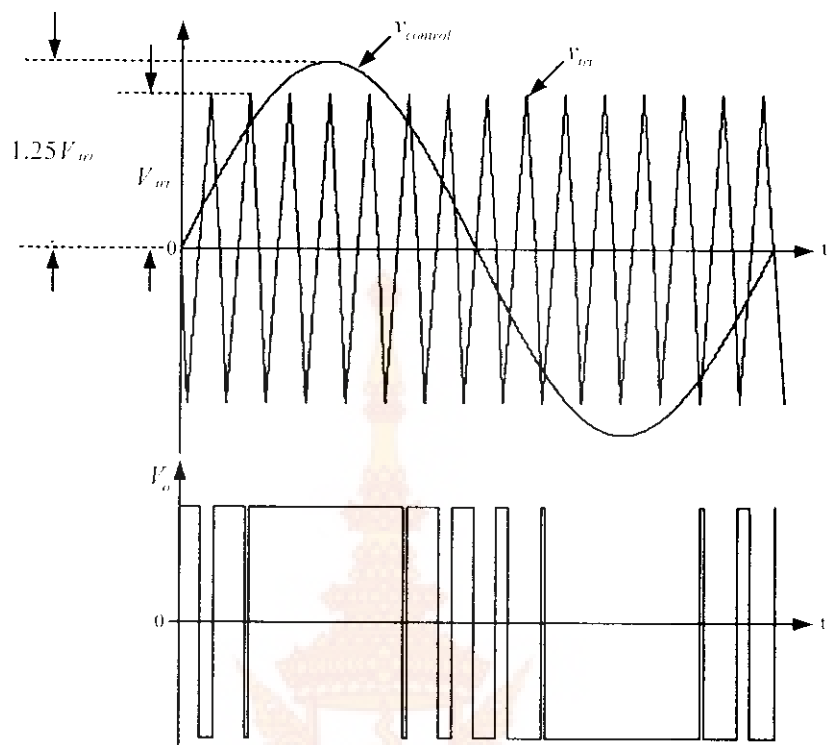
$$\frac{V_d}{2} < \left(V_{40} \right)_h < \frac{4}{\pi} \frac{V_d}{2} \quad (2.9)$$

จากสมการที่ (2.9) ค่า $(V_{40})_h$ จะอยู่ระหว่างค่าที่ทำงานในโหมดเชิงเส้นและโหมดครุปสีเหลี่ยม กรณีโหลดสีเหลี่ยมจะเกิดจากการที่ $m_a \gg 1$ และต้องมีค่ามากพอ การที่จะบอกว่าค่ามากพอเท่าใดนั้นจะขึ้นอยู่กับค่า m_f ด้วย หาก m_f ที่มีค่ามาก m_a ก็จะต้องมีค่ามากไปด้วยที่จะทำให้ $V_{control}$ ไม่ตัดยอดของปลายเส้นสามเหลี่ยมของสัญญาณอ้างอิงเลย ผลการเปรียบเทียบก็จะได้แรงดันเป็นรูปคลื่นสีเหลี่ยม

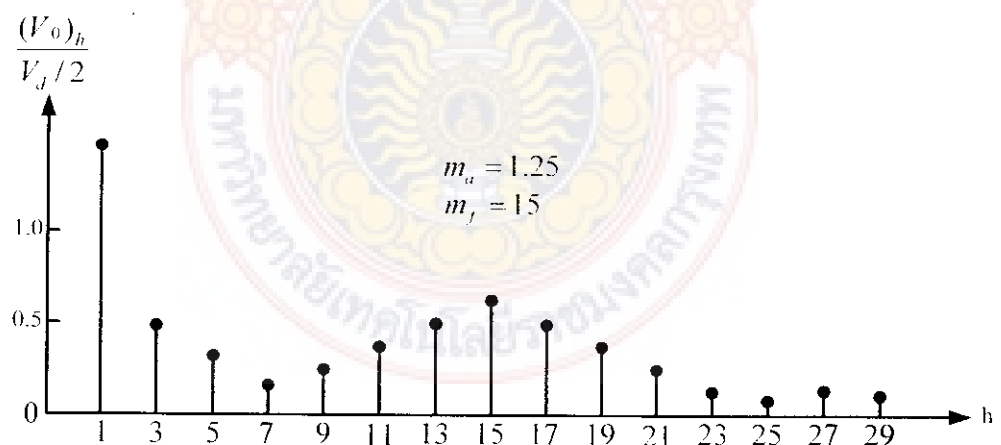
ตารางที่ 2.1 ตารางข้อมูลของ $(V_{A0})_h / (V_d / 2)$

m_a	0.2	0.4	0.6	0.8	1.0
1 องค์ประกอบ ความถี่หลักมูล	0.2	0.4	0.6	0.8	1.0
m_f	1.242	1.15	1.006	0.818	0.601
$m_f \pm 2$	0.016	0.061	0.131	0.220	0.318
$m_f \pm 4$					0.018
$2m_f \pm 1$	0.190	0.326	0.370	0.314	0.181
$2m_f \pm 3$		0.024	0.071	0.139	0.212
$2m_f \pm 5$				0.013	0.033
$3m_f$	0.355	0.123	0.083	0.171	0.113
$3m_f \pm 2$	0.044	0.139	0.203	0.176	0.062
$3m_f \pm 4$		0.012	0.047	0.104	0.157
$3m_f \pm 6$				0.016	0.044
$4m_f \pm 1$	0.163	0.157	0.008	0.105	0.068
$4m_f \pm 3$	0.012	0.070	0.132	0.115	0.009
$4m_f \pm 5$			0.034	0.084	0.119
$4m_f \pm 7$				0.017	0.050
หมายเหตุ: $(V_{A0})_h / (V_d / 2) = \left[(V_{AN})_h / (V_d / 2) \right]$ เป็นพั้งก์ชันของ m_a					

อย่างไรก็ตามข้อเสียของกรณีโอเวอร์มอตเตเลชันก็คือทำให้เกิดอาร์มอนิกอันดับต่างๆ ที่อยู่ใกล้กับอาร์มอนิกอันดับที่หนึ่งหรือความถี่หลักมูล เช่นอาร์มอนิกอันดับที่ 3, 5, 7 เป็นต้น ซึ่งจะเป็นสาเหตุให้เกิดผลเสียมากหากนำไปใช้งาน โดยเฉพาะอย่างยิ่งอาร์มอนิกอันดับที่ 3, 5, 7 จะทำให้เกิดกำลังไฟฟ้าสูญเสียและทำให้กระแสและแรงดันไฟฟ้าที่ได้เกินกว่ามาตรฐานของการไฟฟ้าที่กำหนดได้

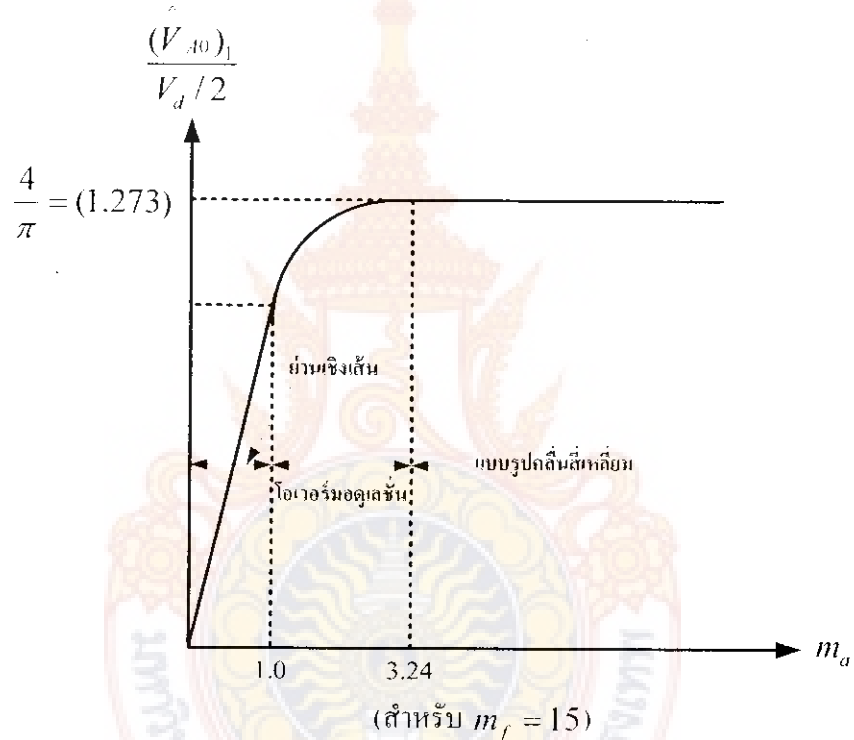


ภาพที่ 2.4 รูปคลื่นพีดับเบิลยูเอ็มแบบโอลเวอร์มอตุเลชัน



ภาพที่ 2.5 สเปกตรานของรูปคลื่นพีดับเบิลยูเอ็มแบบโอลเวอร์มอตุเลชันเมื่อ $m_a = 1.25$, $m_f = 15$

การเปรียบเทียบสัญญาณสองสัญญาณในเงื่อนไขหาก $v_{control} > v_{tr}$ จะได้สัญญาณพัลส์เป็นวง ในท่านองเดียว กันหาก $v_{control} < v_{tr}$ จะได้พัลส์เป็นลบ กรณีโอเวอร์มอตูเลชัน ดังภาพที่ 2.4 ใช้ค่าคงที่ของ $v_{control}$ จะเป็นยอดที่ $v_{control}$ มากกว่า v_{tr} ถึงกีว่าจะได้พัลส์บวกเป็นระยะเวลาหนึ่ง เมื่อมีการสวิตชิ่ง เช่นเดียวกับการเกิดขึ้นที่ครึ่งไซเคิลของ $v_{control}$ ช่วง peak ล่าง จะทำให้ค่าพัลส์เป็นลบหรือศูนย์ เป็นช่วงขณะที่ไม่มีการสวิตชิ่ง ผลเสียที่จะเกิดขึ้นดังในภาพที่ 2.5 คือ เกิดอาร์มอนิกที่ใกล้ๆ กับความถี่หลักมูล หรืออาร์มอนิกอันดับที่หนึ่งและเกิดอาร์มอนิกรอบๆ ความถี่ f_s



ภาพที่ 2.6 การควบคุมค่าแรงดันไฟฟ้าทางด้านออกของอินเวอร์เตอร์พีดับเบิลยูเอ็ม ปรับค่า m_a

2.2 ทฤษฎีการสวิตชิ่ง (Switching)

2.2.1 การสวิตชิ่งแรงดันไฟฟ้าแบบไบโพลาร์

การสวิตชิ่งแรงดันไฟฟ้าแบบไบโพลาร์ (Bipolar voltage switching) คือการควบคุมให้สวิตช์แบบบริดจ์ทำงานพร้อมกันเป็นคู่ เช่น ดังภาพที่ 2.7 (ข) การทำงานของสวิตช์

T_{A+} และ T_B จะถูกควบคุมให้ทำงานพร้อมกันในแต่ละช่วงเวลา อีกครู่หนึ่งคือการทำงานของสวิตซ์ T_{A-} และ T_{B+} ดังนั้นแรงดันไฟฟ้าด้านออกของกิ่ง A จะเท่ากับ $v_{A0} = \frac{1}{2}V_d$

$$\text{เมื่อ } v_{control} > v_{tri}, \quad \text{สวิตซ์ } T_{A+} \text{ และ } T_B \text{ จะนำกระแส} \quad (2.10)$$

$$v_{control} > v_{tri}, \quad \text{สวิตซ์ } T_{A-} \text{ และ } T_{B+} \text{ จะนำกระแส} \quad (2.11)$$

เมื่อคิดจากหนึ่งกิ่งของอินเวอร์เตอร์แบบบริตร์ แรงดันไฟฟ้าด้านออกของกิ่ง B จะเท่ากับค่าลบของแรงดันไฟฟ้าด้านออกของกิ่ง A คือ $V_{B0} = -V_{A0}$ ดังนั้นแรงดันไฟฟ้าด้านออกของอินเวอร์เตอร์หรือแรงดันไฟฟ้าระหว่างกิ่ง A กับกิ่ง B คือ

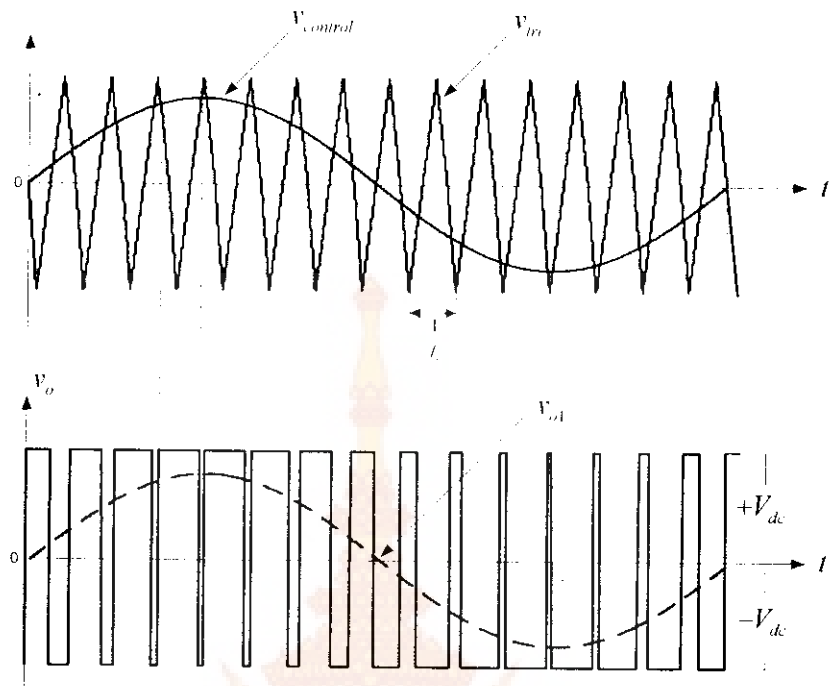
$$v_o = v_{A0} - v_{B0} = 2v_{A0}$$

$$V_{o1} = m_a V_d \quad \text{เมื่อ } m_a \leq 1.0 \quad (2.12)$$

$$V_d < V_{o1} < \frac{4}{\pi} V_d \quad \text{เมื่อ } m_a > 1.0 \quad (2.13)$$

หรืออาจสรุปได้ว่าแรงดันไฟฟ้ายอดด้านออกจะเท่ากับสมการที่ (2.12) เมื่อ m_a อยู่ในย่านเชิงเส้นและแรงดันไฟฟ้ายอดด้านออกจะเท่ากับสมการที่ (2.13) เมื่อ m_a อยู่ในช่วงโอลิเวอร์มอดูลเช็น

โดยที่แรงดันไฟฟ้าด้านออกจะสวิตซ์อยู่ระหว่าง $+V_d$ กับ $-V_d$ ดังแสดงในภาพที่ 2.12 ส่วนไซร์แบบอาร์มอนิกจะเกิดขึ้นรอบๆ เช่นหากความถี่สวิตซ์เท่ากับ 20 kHz ไซร์แบบอาร์มอนิกก็จะเกิดขึ้นที่ 20 kHz, 40 kHz, และ 60 kHz เป็นต้น ดังเช่นที่ได้อธิบายในสมการที่ (2.7)



ภาพที่ 2.7 การสวิตชิ่งแรงดันแบบไบโพลาร์

สิ่งที่ระบุว่าเป็นการสวิตชิ่งแบบไบโพลาร์ คือ

1. มีการสวิตช์ของแรงดันระหว่างสาย (v_m หรือ v_{ab}) ระหว่างขั้วหรือบัสบางกับบัส
2. ความถี่ของพัลส์ที่โหลดจะเท่ากับความถี่ของ v_m
3. จะเกิดความถี่ของสเปคตรามีเริ่มต้นที่รอบๆ f_s และจำนวนเท่าของ f_s

ลบ

2.2.2 การสวิตชิ่งแรงดันไฟฟ้าแบบยูนิโพลาร์

ข้อแตกต่างระหว่างการสวิตชิ่งแรงดันแบบไบโพลาร์กับแบบยูนิโพลาร์ (unipolar voltage switching) ก็คือ ในแบบยูนิโพลาร์การควบคุมสวิตชิ่งในกิง A กับ B จะแยกสัญญาณควบคุมออกจากกัน คือสวิตช์ในกิง A จะถูกควบคุมสัญญาณ $v_{control}$ เทียบกับสัญญาณรูปสามเหลี่ยม v_m ขณะที่สวิตช์ในกิง B จะถูกควบคุมสัญญาณจาก $-v_{control}$ เทียบกับสัญญาณรูปสามเหลี่ยม v_m โดยการสวิตชิ่งจะมีเงื่อนไขดังนี้

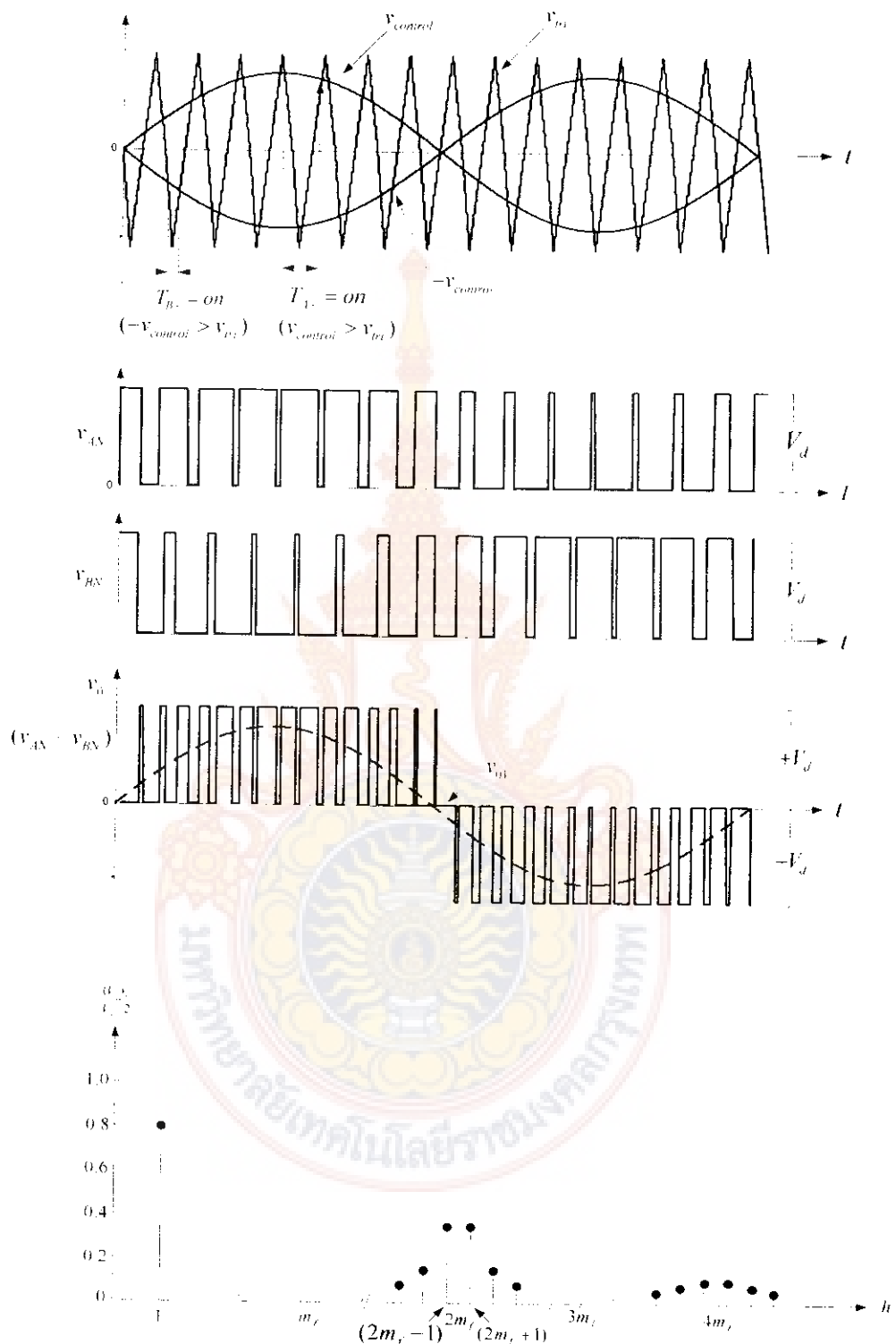
- เมื่อ $v_{control} > v_{tr}$: สวิตช์ T_{A+} จะนำกระแส $v_{AN} = V_d$
 เมื่อ $v_{control} < v_{tr}$: สวิตช์ T_{A-} จะนำกระแส $v_{AN} \approx 0$
 เมื่อ $(-v_{control}) > v_{tr}$: สวิตช์ T_{B+} จะนำกระแส $v_{BN} = V_d$
 เมื่อ $(-v_{control}) < v_{tr}$: สวิตช์ T_{B-} จะนำกระแส $v_{BN} \approx 0$

ตารางที่ 2.2 เงื่อนไขการสวิตช์ซิ่งแรงดันไฟฟ้าด้านนอกของอินเวอร์เตอร์แบบยูนิโพลาร์

เงื่อนไข	สวิตช์นำกระแส	สวิตช์นำกระแส	v_{AN}	v_{BN}	v_o
1	T_{A+}	T_{B-}	V_d	0	V_d
2	T_{A-}	T_{B+}	0	V_d	$-V_d$
3	T_{A+}	T_{B+}	V_d	V_d	0
4	T_{A-}	T_{B-}	0	0	0

จากตารางที่ 2.2 การเปลี่ยนสถานะของแรงดันระหว่างสาย (v_0 หรือ v_{ab}) จะเป็นการเปลี่ยนแปลงระดับแรงดันอยู่ระหว่างศูนย์ไปยังบวกหรือศูนย์ไปยังลบ จึงทำให้ไม่เกิดการเปลี่ยนแปลงระดับแรงดันจากการสวิตช์สูง เช่นกรณีไปโพลาร์

จุดเด่นของยูนิโพลาร์ คือ การเกิดความถี่ด้านนอกจะมีความถี่เป็นสองเท่าของความถี่สวิตช์ของแอลไฟส์ เช่น ความถี่สวิตช์ของอุปกรณ์เป็น 10 kHz หากเป็นการทำงานแบบยูนิโพลาร์ ค่าแรงดันออกจะประกอบด้วยสัญญาณพื้นดับเบิลยูเอ็ม ที่มีความถี่หลักมูลและความถี่าร์มอนิกส์ที่ 2 เท่ากับของแบบโพลาร์ที่ 20 kHz สอดคล้องกับスペคตราของภาพที่ 2.8 โดยเกิดความถี่ขึ้นรอบข้าง ผลของความถี่ที่โหลดเพิ่มขึ้นเป็นสองเท่า ทำให้เกิดการออกแบบวงจรรองความถี่เล็ก ง่ายและประหยัด



ภาพที่ 2.8 การสวิตซ์ชิ่งแรงดันไฟฟ้าแบบบูรณาการ

เงื่อนไขในการสร้างแรงดันไฟฟ้าด้านออกต่อรอมไฮลด์ (v_0) แสดงในตารางที่ 2.2 ผลที่ได้จากเงื่อนไขการทำงานในตารางที่ 2.2 และภาพที่ 2.8 คือ แรงดันไฟฟ้าด้านออกมีการเปลี่ยนแปลงระหว่างแรงดันไฟฟ้าค่าบวกไปยังศูนย์และศูนย์ไปยังบวกในครึ่งควบ ส่วนอีกด้านจะมีแรงดันไฟฟ้าด้านออกเปลี่ยนแปลงระหว่างแรงดันไฟฟ้าค่าลบไปยังศูนย์และจากศูนย์ไปยังลบ ซึ่งจากลักษณะการทำงานดังกล่าวจึงเรียกวิธีการสวิตช์ซึ่งนี้ว่า ยูนิโพลาร์ ส่วนขนาดของแรงดันไฟฟ้าด้านนอกจะเท่ากันกับไปโพลาร์ และเมื่อเปรียบเทียบข้อดีและข้อเสียของการสวิตช์ซึ่งทั้งสองแบบ จะได้ตารางที่ 2.3

ตารางที่ 2.3 การเปรียบเทียบการสวิตช์แรงดันไฟฟ้าแบบไปโพลาร์กับยูนิโพลาร์

ประเด็น	ไปโพลาร์	ยูนิโพลาร์
แรงดันไฟฟ้าด้านออก (V_{oi})	$V_{oi} = m_a V_d$	$V_{oi} = m_a V_d$
$m_a \leq 1.0$		
แรงดันไฟฟ้าด้านออก (V_{oi})	$V_d < V_{oi} < \frac{4}{\pi} V_d$	$V_d < V_{oi} < \frac{4}{\pi} V_d$
$m_a > 1.0$		
แรงดันไฟฟ้าด้านออก (v_o)	$V_d \Leftrightarrow (-V_d)$	$V_d \Leftrightarrow 0$
ไซด์แบบอาร์มอนิก	$m_f, 2m_f, 3m_f, \dots$	$2m_f, 4m_f, 6m_f, \dots$
การกรองความถี่สูง	ดี	ดีมาก
การควบคุม	ง่าย	ซับซ้อน

ข้อเปรียบเทียบของสองเทคนิค คือจะแตกต่างกันที่แรงดันด้านออก ที่มีระดับการเปลี่ยนแปลงของยูนิโพลาร์จะมีแรงดันศูนย์ไปบวกหรือศูนย์ไปลบและมีไซด์แบบที่ $2m_f, 4m_f, 6m_f, \dots$ ตามลำดับ ยูนิโพลาร์ที่มีความถี่สวิตช์สูงกว่าทำให้การกรองความถี่ทำได้ง่ายขึ้น เล็กและประหด

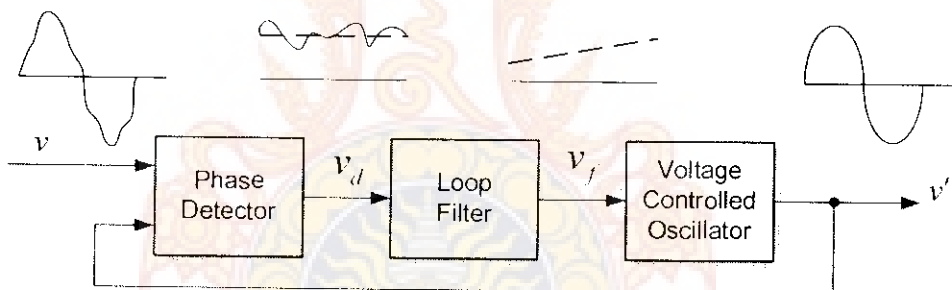
2.3 ทฤษฎีเฟล็อกลูป (Phase Locked Loop: PLL)

ในการเชื่อมต่อระบบจำหน่วยของการไฟฟ้ากับอินเวอร์เตอร์นั้นจำเป็นที่จะต้องควบคุมค่ากระแสและแรงดันอินเวอร์เตอร์ให้มุ่งเพสของอินเวอร์เตอร์ตรงกับของระบบการไฟฟ้า โดยที่การทำงานของระบบจะคำนวณมุ่งของการไฟฟ้า โดยใช้ชีวิทีเฟล็อกลูป เพื่อนำค่ามุ่งไปใช้ในการสร้างกระแสยังอิมพูคลีนไชน์ การทำงานของเฟล็อกลูปมีบล็อกໄ/doze แกรมพื้นฐานดังภาพที่ 2.9 ประกอบด้วย 3 บล็อกดังนี้

2.3.1 ตัวตรวจจับเพส (Phase detector; PD) ทำหน้าที่ตรวจจับความต่างเพสของสัญญาณอินพุต และสัญญาณที่ได้จากการอสซิลเลเตอร์ สัญญาณความต่างเพส ที่ได้นั้นจะมีองค์ประกอบของไฟฟ้ากระแสสลับและไฟฟ้ากระแสตรง

2.3.2 ตัวกรองลูป (Loop filter; LF) ทำหน้าที่ลดตอนสัญญาณความถี่สูง และกรองสัญญาณความถี่ต่ำจากบล็อกตัวตรวจจับเพสผ่าน ซึ่งนิยมใช้ตัวกรองความต่ำอันดับหนึ่งหรือตัวควบคุมพีไอ

2.3.3 ออสซิลเลเตอร์ควบคุมด้วยแรงดัน (Voltage Control Oscillator; VCO) ทำหน้าที่สร้างสัญญาณไฟฟ้ากระแสสลับที่ขึ้นอยู่กับแรงดันด้านอินพุต



ภาพที่ 2.9 บล็อกໄ/doze แกรมของเฟล็อกลูปแบบพื้นฐาน

จากบล็อกໄ/doze แกรมในภาพที่ 2.9 เมื่อนำไปใช้งานจริงสามารถสร้างตัวตรวจจับเพสด้วยตัวคูณสัญญาณ (Multiplier) สร้างตัวกรองลูปด้วยตัวควบคุมแบบพีไอ และสร้างออสซิลเลเตอร์ควบคุมด้วยแรงดันจากอินทริเกรเตอร์ผ่านฟังก์ชันโคไซน์ดังในภาพที่ 2.10

สัญญาณด้านอินพุตของเฟล็อกลูปกำหนดดังสมการที่ (2.14)

$$v = V \sin(\theta) = V \sin(\omega t + \phi) \quad (2.14)$$

สัญญาณที่สร้างโดยօอสซิลเลเตอร์

$$v' = \cos(\theta') = \cos(\omega't + \phi') \quad (2.15)$$

สัญญาณความผิดพลาดของเฟสจากตัวคูณสามารถเขียนได้ดังนี้

$$\epsilon_{pd} = V k_{pd} \sin(\omega t + \phi) \cos(\omega't + \phi') \quad (2.16)$$

$$\epsilon_{pd} = \frac{V k_{pd}}{2} \left[\underbrace{\sin((\omega - \omega')t + (\phi - \phi'))}_{low frequency} + \underbrace{\sin((\omega + \omega')t + (\phi + \phi'))}_{high frequency} \right] \quad (2.17)$$

ซึ่งสามารถลดตอนสัญญาณความถี่สูงของค่าความผิดพลาดด้วยตัวกรองลูป ส่วนสัญญาณจะพิจารณาเฉพาะความถี่ต่ำเท่านั้นดังสมการที่ (2.18)

$$\bar{\epsilon}_{pd} = \frac{V k_{pd}}{2} \sin((\omega - \omega')t + (\phi - \phi')) \quad (2.18)$$

เมื่อออสซิลเลเตอร์ควบคุมด้วยแรงดันสามารถสร้างสัญญาณที่มีความถี่ตรงกับความถี่อินพุตนั้น คือ $\omega \approx \omega'$ สมการความผิดพลาดของเฟสจะเป็นดังสมการที่

$$\bar{\epsilon}_{pd} = \frac{V k_{pd}}{2} \sin(\phi - \phi') \quad (2.19)$$

ซึ่งเมื่อพิจารณาจากสมการที่ (2.19) จะสังเกตว่าเป็นฟังก์ชันไซน์ซึ่งถือว่าความผิดพลาดของเฟสนั้นเป็นสมการไม่เชิงเส้น ตั้งนั้นเมื่อเราทำให้เป็นเชิงเส้น (linearized) โดยพิจารณาสัญญาณค่าน้อยๆ ที่มุ่งเพส $\phi - \phi'$ จะได้ $\sin(\phi - \phi') \approx \sin(\theta - \theta') \approx (\theta - \theta')$ ซึ่งเมื่อเพสล็อกจะได้สมการความผิดพลาดของเฟสดังสมการที่ (2.20)

$$\bar{\epsilon}_{pd} = \frac{V k_{pd}}{2} \sin(\theta - \theta') \quad (2.20)$$

การวิเคราะห์เชิงเส้นด้วยสัญญาณขนาดเล็กในสภาวะที่เพสล็อก ค่าความถี่เฉลี่ยของออสซิลเลเตอร์ควบคุมด้วยแรงดันสามารถหาได้จากการที่ (2.21)

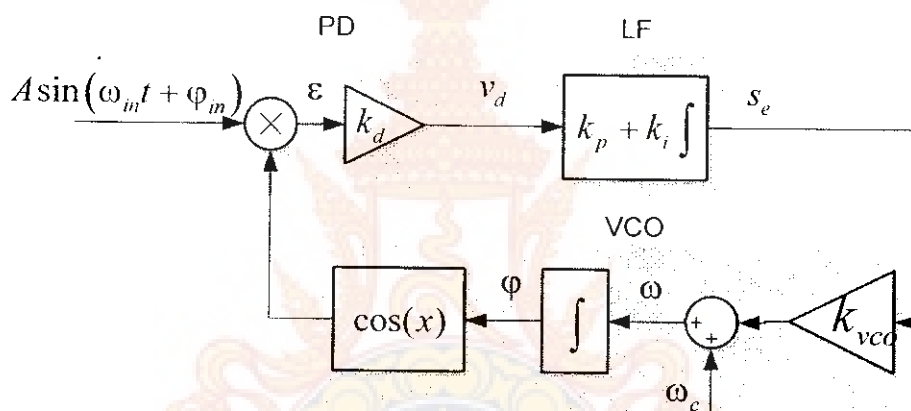
$$\bar{\omega}' = (\omega_c + \Delta \bar{\omega}') = \omega_c + k_{vn} \bar{v}_q \quad (2.21)$$

โดยที่ ω' คือความถี่มูลฐานของออสซิลเลเตอร์ พิจารณาจากบล็อกໄ/doeogram ในภาพที่ 2.10 ส่วนที่ป้อนไปหน้า โดยสัญญาณขนาดเล็ก (small signal) ของความความถี่ออสซิลเลเตอร์ที่ขึ้นอยู่กับแรงดันอินพุต \tilde{v}_H คือ

$$\tilde{\omega}' = k_{vco} \tilde{v}_H \quad (2.22)$$

และการเปลี่ยนแปลงของมุมเฟสที่ได้จากเฟสสัญญาณปุ่มคือ

$$\tilde{\theta}'(t) = \int \tilde{\omega}'(t) dt = \int k_{vco} \tilde{v}_H dt \quad (2.23)$$



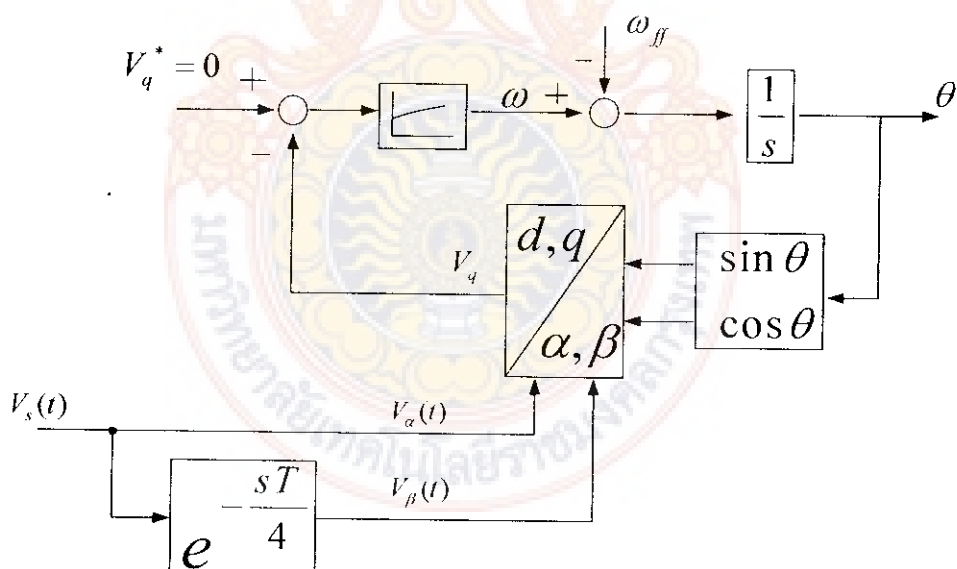
ภาพที่ 2.10 บล็อกໄ/doeogram เพื่อสร้างเฟสสัญญาณปุ่ม

การทำงานของเฟสสัญญาณปุ่มจะทำการควบคุมค่าแรงดันคลาตเคลื่อนให้มีค่าเท่ากับศูนย์ โดยใช้ตัวควบคุมแบบพีไอ โดยระบบจะตรวจสอบความด่างเพสของสัญญาณอินพุตและสัญญาณที่ได้จากออสซิลเลเตอร์ สัญญาณความต่างเพสที่ได้นั้นจะมีองค์ประกอบของไฟฟ้ากระแสสลับและไฟฟ้ากระแสตรง โดยจะถูกกำจัดส่วนประกอบของไฟฟ้ากระแสสลับที่ปะปนมากับแรงดันคลาตเคลื่อนและปล่อยให้ส่วนประกอบของไฟฟ้ากระแสตรงของแรงดันคลาตเคลื่อนผ่านไปยังออสซิลเลเตอร์ ควบคุมด้วยแรงดันตัวกรองลูปแบบพีไอ ความถี่ของออสซิลเลเตอร์จะเปลี่ยนไปตามแรงดันทางด้านอินพุต ตั้งนั้นเมื่อแรงดันอินพุตเปลี่ยนไปก็จะมีผลทำให้ความถี่และมุมเฟสเปลี่ยนแปลงตามไปด้วย

2.4 เฟสล็อกคูลปแบบหนึ่งเฟส (Single-Phase Phase-Locked Loop)

การควบคุมค่าด้วยแปรต่าง ๆ ที่เกี่ยวข้องกับระบบและอยู่ในแกนหมุนด้วยความเร็วชิงโครนัส ดังนั้นเมื่อจะนำด้วยควบคุมไปใช้งานจริง จะต้องมีส่วนที่ใช้ในการแปลงของสัญญาณ Stationary Reference axis ไปเป็นสัญญาณ d, q axis ซึ่งใช้ในการแปลงแกนนั้น จำเป็นที่จะต้องทราบค่ามุมของแรงดันไฟฟ้าทางด้านระบบจำหน่าย โดยทำการหาค่ามุมของแรงดันจาก การทำเฟสล็อกคูลป โดยจะนำค่าของแรงดันเฟส V_s มาคำนวณเพื่อหาค่ามุมของแรงดันไฟฟ้า บล็อกໄດ้อะแกรมเฟสล็อกคูลปในภาพที่ 2.11

การทำงานของเฟสล็อกคูลปจะทำการควบคุมค่าแรงดัน V_q^* ให้มีค่าเท่ากับศูนย์โดยใช้ด้วยควบคุมแบบพื้นที่ โดยระบบจะทำการแปลงแรงดันไฟฟ้า V_s จากแกนอ้างอิงอยู่กับที่ให้มาอยู่ใน α, β axis และจากนั้นแปลงแกนไปอยู่ในแกนหมุนด้วยความเร็วชิงโครนัส ซึ่งใช้ค่ามุมของแรงดันการไฟฟ้า θ ที่ได้มาคำนวณค่าแรงดัน $\sin \theta, \cos \theta$ มาใช้ในการแปลงแกน ถ้าค่าแรงดันไฟฟ้า V_q^* ยังไม่เท่ากับศูนย์แสดงว่าค่ามุมของแรงดันไฟฟ้าที่ได้นั้นยังมีค่าที่ไม่ถูกต้องระบบจะทำการปรับค่า ω ทำให้ค่ามุมของแรงดันไฟฟ้าเกิดการเปลี่ยนแปลง จนกว่าจะได้ค่ามุมที่ถูกต้อง

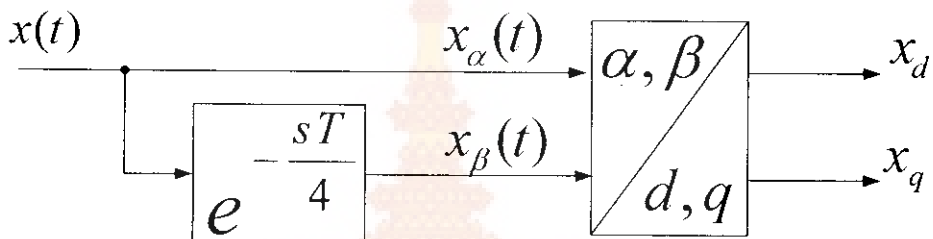


ภาพที่ 2.11 บล็อกໄດ้อะแกรมของเฟสล็อกคูลปแบบหนึ่งเฟส

2.5 การแปลงแกนของสัญญาณควบคุม

เนื่องจากในระบบไฟฟ้าหนึ่งเฟส มีสัญญาณเพียงหนึ่งเฟสเท่านั้น ดังนั้นจึงต้องทำการสร้างสัญญาณอินพุตออกเป็นสองแกนซึ่งมีมุมเฟสต่างกัน 90° องศา โดยแกนหนึ่งใช้สัญญาณอินพุตเดิม

ดังนั้น $x_\alpha(t) = x(t)$ และอีกแกนสร้างโดยการเลื่อนเฟสของสัญญาณ ωt ไป 90° องศาซึ่งจะได้สัญญาณ $x_\beta(t)$ ในภาพที่ 2.12 จักนันแปลงแกนทั้งสองให้อยู่ในแกน d, q axis โดยใช้วิธีแปลงของปาร์ก



ภาพที่ 2.12 การสร้างสัญญาณ $x_\alpha(t), x_\beta(t)$ และแปลงอยู่ในแกน d, q axis

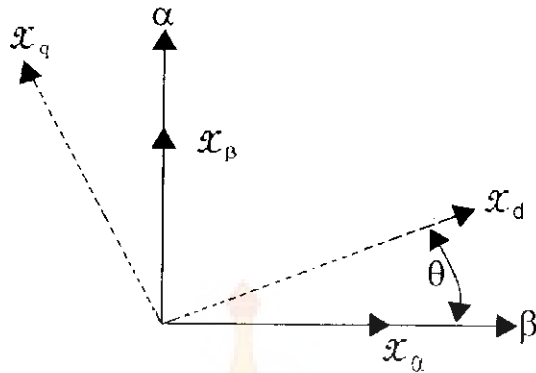
ในการแปลงแกนของสัญญาณรูปคลื่นไซน์ จากแกนอังอิจอยู่กับที่มาอยู่ในแกน α, β จะได้สมการที่ (2.24) และ (2.25)

$$x_\alpha = x_s(t) = \hat{x} \cos(\omega t) \quad (2.24)$$

$$x_\beta = \hat{x} \cos\left(\omega t - \frac{T}{4}\right) = \hat{x} \sin(\omega t) \quad (2.25)$$

2.5.1 การแปลงปาร์ก (Park Transformation)

การแปลงปาร์กเป็นการแปลงแกนอังอิจอยู่กับที่มาอยู่ในแกนหมุนด้วยความเร็วซึ่งโครงสร้างโดยสัญญาณที่อยู่ในแกนหมุนด้วยความเร็วซึ่งโครงสร้างจะเป็นสัญญาณสองแกนด่างเฟส กัน 90° องศา การแปลงปาร์กในภาพที่ 2.13



ภาพที่ 2.13 การแปลงปาร์ก

ในการแปลงแกนปริมาณใดๆจากแกนอ้างอิงอยู่กับที่ มาอยู่ในแกนหมุนด้วยความเร็วซิงโครนัส จะได้สมการที่ (2.26) และ (2.27)

$$x_d = x_\alpha \cos(\theta) + x_\beta \sin(\theta) \quad (2.26)$$

$$x_q = -x_\alpha \sin(\theta) + x_\beta \cos(\theta) \quad (2.27)$$

จากสมการที่ (2.26) และ (2.27) สามารถนำมาเขียนในรูปของเมตริกซ์ได้ดังนี้

$$\begin{bmatrix} d \\ q \end{bmatrix} = \begin{bmatrix} \cos \theta & \sin \theta \\ -\sin \theta & \cos \theta \end{bmatrix} \begin{bmatrix} \alpha \\ \beta \end{bmatrix} \quad (2.28)$$

2.5.2 การแปลงกลับของปาร์ก (Inverse Park Transformation)

ในการแปลงปริมาณใดๆ จากแกนหมุนด้วยความเร็วซิงโครนัสมาอยู่ในแกนอ้างอิงอยู่กับที่ จะใช้ สมการที่ (2.29) และ (2.30)

$$x_\alpha = x_d \cos(\theta) - x_q \sin(\theta) \quad (2.29)$$

$$x_\beta = x_d \sin(\theta) + x_q \cos(\theta) \quad (2.30)$$

จากสมการที่ (2.29) และ (2.30) สามารถนำมาเขียนในรูปของเมตริกซ์ได้ดังนี้

$$\begin{bmatrix} \alpha \\ \beta \end{bmatrix} = \begin{bmatrix} \cos \theta & -\sin \theta \\ \sin \theta & \cos \theta \end{bmatrix} \begin{bmatrix} d \\ q \end{bmatrix} \quad (2.31)$$

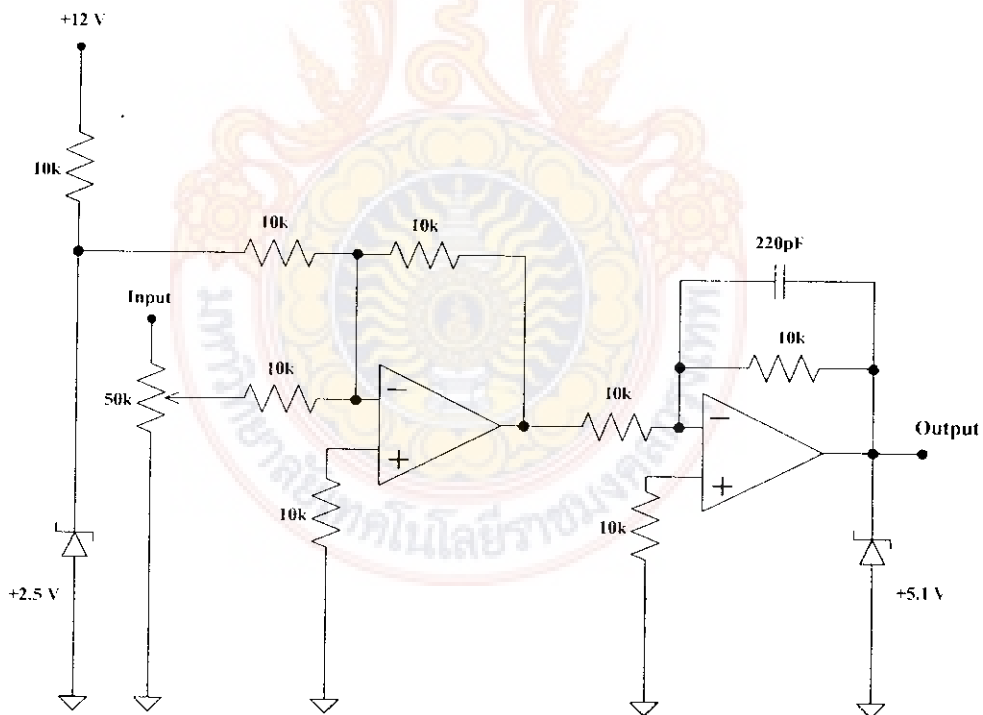
2.6 Digital Signal Controller Board (DSC Board)

Digital Signal Controller Board หรือ DSC Board จะเป็นส่วนที่ใช้ในการเขียนซอฟต์แวร์สำหรับควบคุมภาคกำลังของอิเล็กเตอร์ โดยจะใช้ไมโครคอนโทรเลอร์ dsPIC30F4011 ที่พัฒนาขึ้นมาเพื่อใช้ในงานควบคุมวงจรอิเล็กทรอนิกส์กำลังด่างๆ

โดยภายในไมโครคอนโทรเลอร์ dsPIC30F4011 จะมีคุณสมบัติของโมดูลพิงก์ชันพิเศษ เช่น โมดูลตรวจจับและเปรียบเทียบสัญญาณดิจิตอล โมดูลไทเมอร์/เคาน์เตอร์ขนาด 16 บิต โมดูลแปลงสัญญาณอนาล็อกเป็นดิจิตอล ความละเอียด 10 บิต และโมดูลสร้างสัญญาณ PWM เป็นต้น

2.6.1 วงจรปรับระดับสัญญาณ (Signal Conditioning Circuit)

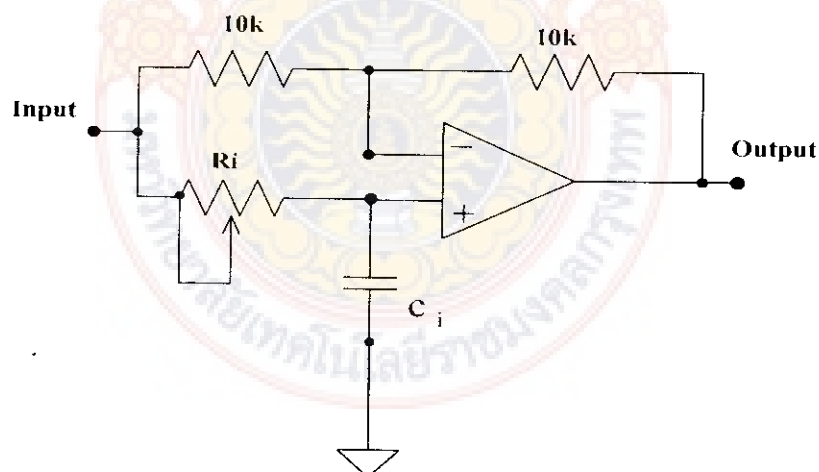
เนื่องจากสัญญาณที่รับจาก ทรานส์ดิวเซอร์ มีระดับแรงดันตั้งแต่ -15 โวลต์ ถึง +15 แต่ DSC Board สามารถรับค่าแรงดันได้ในช่วง 0 ถึง +5 โวลต์ จึงจำเป็นด้องมีบอร์ดปรับระดับสัญญาณ Signal Conditioning เพื่อปรับระดับแรงดันให้ DSC Board สามารถรับค่าได้โดยใช้วงจรปรับระดับสัญญาณในภาพที่ 2.14



ภาพที่ 2.14 วงจรปรับระดับสัญญาณ (Signal Conditioning Circuit)

จากภาพที่ 2.14 ประกอบด้วยสัญญาณที่ต้องนำมาปรับระดับสัญญาณซึ่งแต่ละสัญญาณอินพุตจะถูกส่งมาจากเซนเซอร์ ซึ่งการทำงานของวงจรเป็นดังนี้ อินพุตที่ถูกรับมาจากเซนเซอร์จะถูกปรับขนาดให้เหมาะสมและนำไปรวมกับสัญญาณ $+2.5$ โวลต์ ซึ่งสร้างมาจากการเรกเกอร์เตอร์ LM336 เพื่อทำการยกระดับสัญญาณให้ DSC Board อ่านค่าได้ และเป็นการแปลงสัญญาณให้มีแต่ด้านบวก จากนั้นแรงดัน $+2.5$ โวลต์ จะถูกนำไปรวมกับสัญญาณอินพุตที่ถูกส่งมาจากเซนเซอร์และปรับระดับแรงดันให้เหมาะสมด้วยความด้านท่านปรับค่าได้ $50 \text{ k}\Omega$ เมื่อ 2 สัญญาณถูกรวมกันแล้วจะกลายเป็นสัญญาณที่ถูกยกระดับ แต่ยังกลับเฟสอยู่ ตั้งนั้นจึงต้องมีการกลับเฟสของสัญญาโนอีกรั้ง โดยใช้ออปแอมป์ NE 5532 โดยให้อัตราขยายเป็น -1 และมีค่าเนอร์ดิโออตขนาด 5.1 โวลต์ต่อไปทางด้านเอาต์พุตเพื่อป้องกันแรงดันเกิน แล้วจึงนำเอาต์พุตไปใช้งานต่อไป สัญญาณที่จะต้องนำมาผ่านชุดวงจรปรับระดับสัญญาณ มี 3 สัญญาณด้วยกันคือ V_s, V_{dc}, i_s

นอกจากนี้ ชุดวงจรปรับระดับสัญญาณยังใช้เป็นวงจรเลื่อนเฟสของสัญญาณ โดยการเลื่อนมุมของสัญญาณไป 90 องศา และจึงส่งไปยังไมโครคอนโทรเลอร์ เพื่อใช้ในการแปลงแกนหมุนซึ่งหมุนด้วยความเร็วซึ่งโครงสร้างให้เป็นแกนอ้างอิงอยู่กับที่ ซึ่งวงจรเลื่อนเฟสเป็นไปตามภาพที่ 2.15

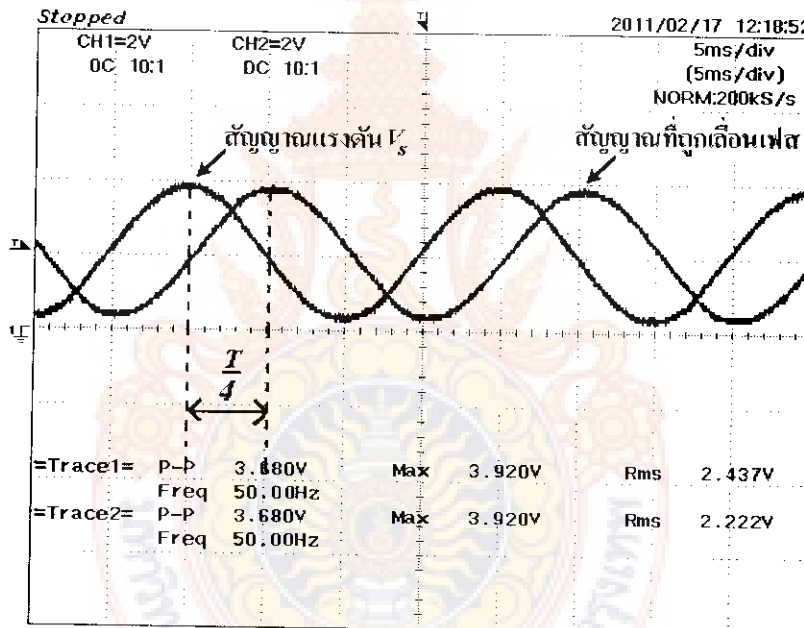


ภาพที่ 2.15 วงจรเลื่อนเฟส 90 องศา

จากภาพที่ 2.15 สัญญาณอินพุตจะถูกนำมาปรับมุมที่ค้องการเลื่อนสัญญาณออกไป ซึ่งเป็นไปตามสมการที่ (2.32)

$$R_i = \frac{\tan(\frac{\theta}{2})}{2\pi f_i c_i} \quad (2.32)$$

R_i คือ ความคันทรานปรับค่าได้ซึ่งค่าที่ใช้คือ 50 กิโลโอม์ จะเห็นได้ว่าสามารถปรับมุมเลื่อนเฟสเอาต์พุตให้มีค่าตามความค้องการได้ ซึ่งในที่นี้ค้องการมุมเอาต์พุตให้มีค่า 90 องศา จากมุมเดิมโดยสัญญาณที่ต้องนำไปเลื่อนเฟสคือ i_s และ V_s ซึ่งผลการทดลองจะเป็นดังภาพที่

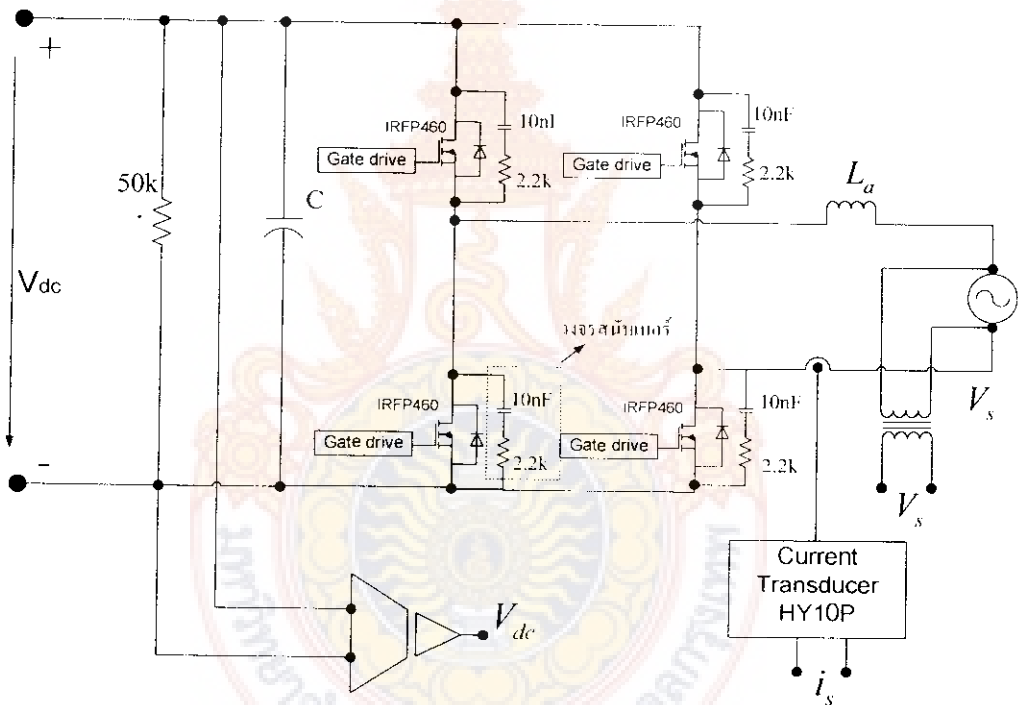


ภาพที่ 2.16 การเลื่อนเฟสสัญญาณไป 90 องศา

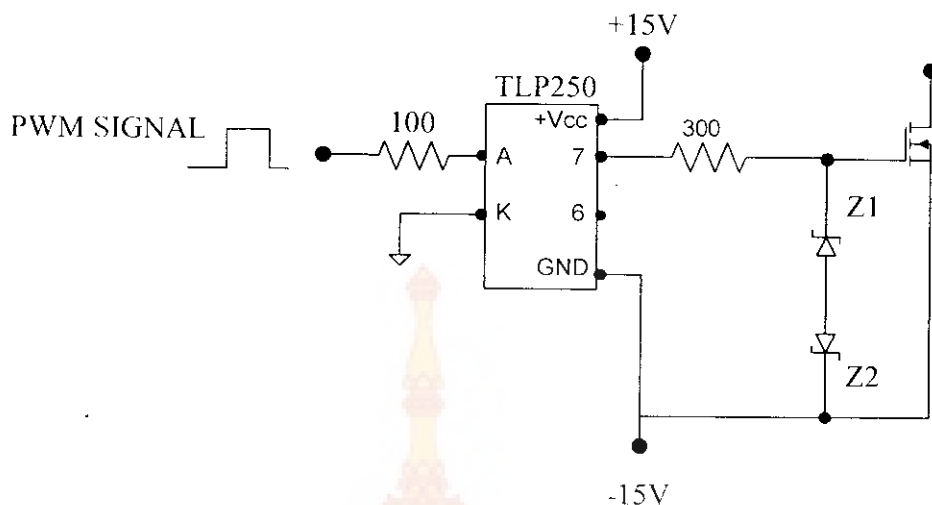
ภาพที่ 2.17 จะแสดงถึงภาคกำลังของอินเวอร์เตอร์ โดยวงจรจะมี วงจรสนับเบอร์ วงจรขับเกตที่ใช้สำหรับควบคุมการปิดเปิดสวิตช์ของมอสเฟต ที่ได้จากสัญญาณ PWM ของ DSC Board และ Voltage Transducer ซึ่งเป็นอุปกรณ์ในการวัดค่าสัญญาณด้านลงมาเพื่อให้สามารถส่งค่าสัญญาณเข้าสู่วงจร

ปรับระดับสัญญาณ (Signal Conditioner) ได้และค่า i_s จะวัดโดย Current Transducer HY 10P จากนั้นก็นำเอาสัญญาณด่างๆไปคำนวณในรูปแบบของสัญญาณดิจิตอลด่อไป

วงจรสนับเบอร์จะทำหน้าที่ในการลดกำลังไฟฟ้าสูญเสียจากการสวิตชิ่งที่ตัวมอสเฟด และป้องกันจากแรงดันและกระแสเด็น โดยวงจรสนับเบอร์จะกำจัดระดับแรงดันและกระแสเด็นที่ตกคร่อมมอสเฟดกำลังให้อยู่ในระดับที่ต้องการสำหรับรูปแบบของวงจรสนับเบอร์จะได้แก่วงจร R-C-D สนับเบอร์ โดยที่ในงานวิจัยนี้ได้ใช้วงจรแบบ RC สนับเบอร์ในการลดกำลังไฟฟ้าสูญเสียจากการสวิตชิ่ง ซึ่งนั้นหมายถึงลดความต้องการในการระบายน้ำร้อนสำหรับตัวมอสเฟดลง ดังนั้นการออกแบบวงจรสนับเบอร์ร่วมกับวงจรอินเวอร์เตอร์จะทำให้ระบบโดยรวมดีขึ้น



ภาพที่ 2.17 วงจรภาคกำลังของอินเวอร์เตอร์ ทรานส์ฟิวเซอร์ และการต่อวงจรขับเกต



ภาพที่ 2.18 วงจรขับเกต (Gate drive)

หลักการทำงานของวงจรขับสัญญาณ คือเมื่อวงจรได้รับสัญญาณ PWM ที่ถูกส่งมาจากไมโครคอนโทรเลอร์เข้ามาระบุจำนวนนำสัญญาณไปขับขาเกต ในที่นี้ใช้ TLP250 เพื่อส่งสัญญาณไปยังขา G และขา S ของมอสเฟตโดยจะใช้ชีเนอร์ไดโอดทำหน้าที่ให้สัญญาณขณะ Turn Off ชีเนอร์ไดโอดที่ต่ออยู่ระหว่างขา G และขา S (Z1 และ Z2) ใช้เพื่อป้องกันแรงดันดកคร่อมระหว่างขา G และขา S ไม่ให้แรงดันเกิน 18 โวลต์ ซึ่งในวงจรนี้ใช้ชีเนอร์ไดโอดเบอร์ 1N4746

2.7 การออกแบบซอฟต์แวร์ dsPIC30F4011

การออกแบบซอฟต์แวร์เป็นการออกแบบระบบควบคุมในรูปแบบการประมวลผลทางดิจิตอลทั้งหมด ซึ่งใช้ไมโครคอนโทรเลอร์ dsPIC30F4011 เป็นศูนย์ประมวลผล โดยที่ระบบส่วนนี้จะเป็นส่วนที่สำคัญที่สุด และในงานวิจัยนี้ได้ใช้โปรแกรม MPLAB IDE V8.56 เป็นดัวคอมไฟล์เรอร์ ตั้งนั้นจึงต้องมีความเข้าใจในเรื่องของโมดูลที่มีภายในดัวไมโครคอนโทรเลอร์ dsPIC30F4011 และเข้าถึงรีจิสเตอร์ของในแต่ละโมดูลดังนี้

1. โมดูลเปลงสัญญาณและลอกเป็นสัญญาณดิจิตอล
2. โมดูล MCPWM

2.7.1 โมดูลแปลงสัญญาณอนาลอกเป็นสัญญาณดิจิตอล (Analog to Digital Module)

โมดูลแปลงแปลงสัญญาณอนาล็อกเป็นดิจิตอลขนาด 10 บิต (10 bit high speed analog to digital) หรือโมดูล ADC เป็นโมดูลรับค่าแรงตันและออกแปลงสัญญาณเป็นตัวเลข ความละเอียดขนาด 10 บิต โมดูล ADC ของ dsPIC30F4011 มีจำนวน 9 ช่องสัญญาณ ประกอบด้วยขา AN0/RB0 – AN8/RB8 บล็อกไดอะแกรมและวงจรการทำงานของโมดูล ADC ดังภาพที่ 2.19 โดยสรุปคุณสมบัติของโมดูลได้ดังนี้

2.5.1.1 เป็นโมดูลแปลงสัญญาณอนาล็อกเป็นดิจิตอลที่มีความละเอียด 10 บิต

2.5.1.2 ใช้วิธีการแปลงสัญญาณแบบประมาณค่าหรือชักเช斯ซีฟ และพร้อมซิเมชั่น

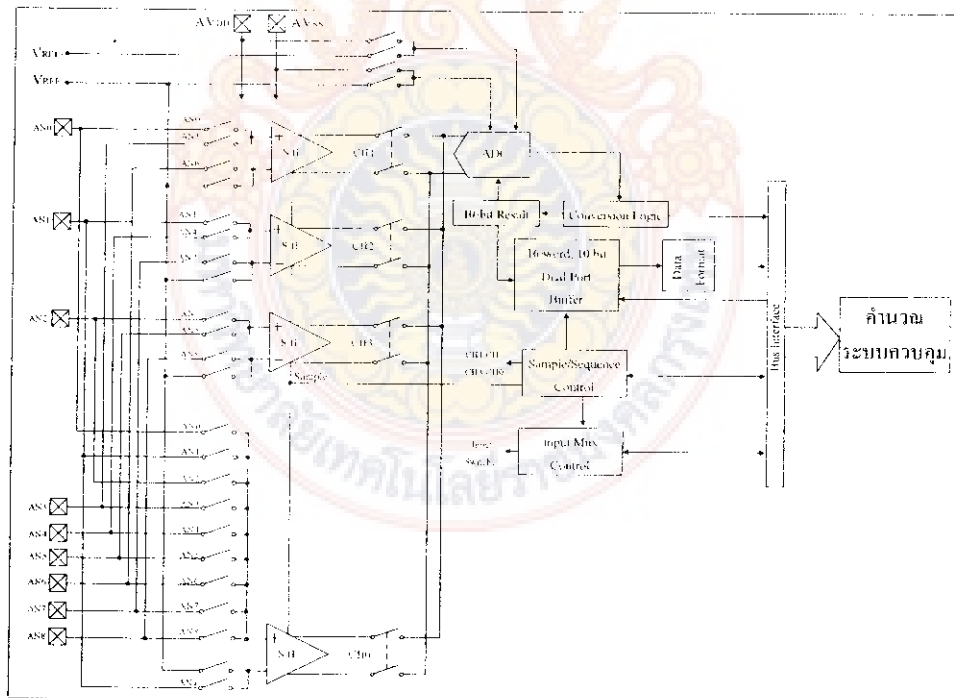
2.5.1.3 มีอัตราเร็วในการสัมผัสสัญญาณสูงสุด 500 กิโลแซมเปิลต่อวินาที หรือ 500000 จุดตัวอย่าง

2.5.1.4 สามารถกำหนดระดับแรงตันอ้างอิงจากภายในและภายนอกได้

2.5.1.5 เลือกใหม่ของการเก็บข้อมูลแบบเติมบัฟเฟอร์ได้

2.5.1.6 มีบัฟเฟอร์เก็บข้อมูลสัญญาณ 16 ตัวขนาด 16 บิต

2.5.1.7 กำหนดช่องการอ่านค่าสัญญาณได้อัตโนมัติ



ภาพที่ 2.19 บล็อกไดอะแกรมการทำงานโมดูล ADC ของ dsPIC30F4011

ในภาพที่ 2.19 เป็นไดอะแกรมการทำงานของโมดูล ADC ใน dsPIC30F4011 ซึ่งมีขาพอร์ตแอนalog กองห้งสิ้น 9 ขา โดยทำงานร่วมกับส่วนควบคุมการมัลติเพลิเกอร์สัญญาณอินพุต ทำให้สามารถจัดสรรร่วงจร S/H ให้สามารถรองรับกับสัญญาณอินพุตแอนalog กองห้ง 9 ช่องได้ด้วยความเร็วสูงสุด

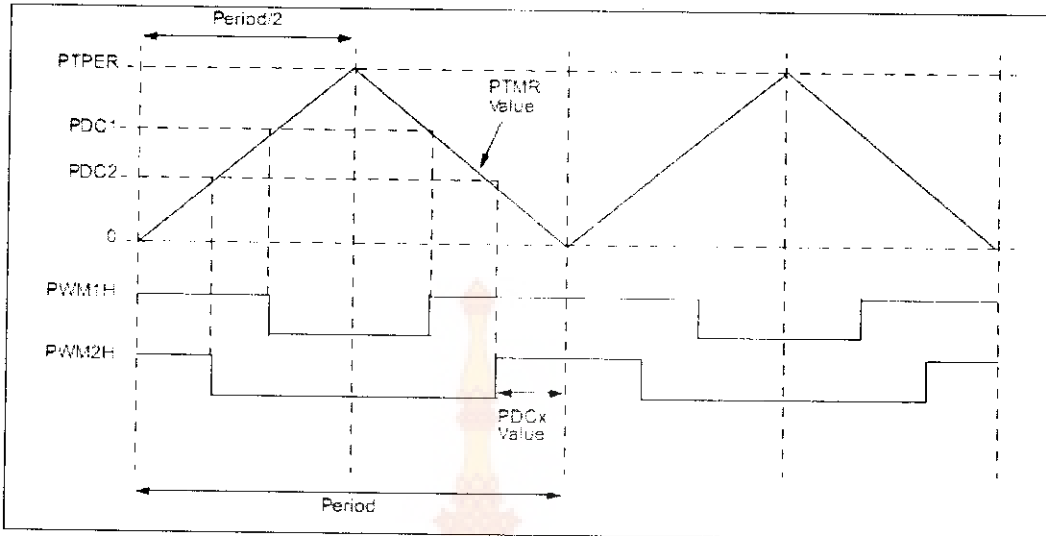
สัญญาณที่ผ่านจากการร่วงจร S/H จะถูกป้อนเข้าสู่วงจรแปลงสัญญาณแอนalog เป็นดิจิตอลแบบซัคเซสซีฟแอปพริอกซิเมชัน ขนาด 10 บิต ข้อมูลที่ได้จากการแปลงจะพักรไว้ในหน่วยความจำรวมจากนั้นจะได้รับการจัดรูปแบบตามที่ผู้ผลิตนาโนปรограмม์กำหนด

โดยที่ในงานวิจัยนี้ทำการสุ่มสัญญาณแอนalog กองห้งหมด 5 ช่องโดยใช้ช่องสัญญาณ AN0 – AN4 และสุ่มสัญญาณแบบเรียงลำดับ ตั้งนั้นจากภาพที่ 2.12 จึงต้องใช้วงจรสุ่ม CH0 ในการสุ่มค่าสัญญาณในการแปลงสัญญาณแอนalog เป็นสัญญาณดิจิตอลโดยเข้าถึงรีจิสเตอร์ ADCHS เพื่อเลือกช่องต่อขาพอร์ตอินพุตแอนalog ที่ต้องการแปลงสัญญาณ

2.7.2 โมดูล MCPWM

อีกหนึ่งโมดูลพิเศษที่ dsPIC30F4011 มีคือโมดูลสร้างสัญญาณ PWM เพื่อควบคุมมอเตอร์หรือเรียกว่า โมดูล MCPWM ใน dsPIC30F4011 บรรจุโมดูลนี้ไว้ 6 ช่อง ตั้งนั้นจึงเหมาะสมอย่างยิ่งที่จะนำไปใช้ในงานควบคุมอินเวอร์เตอร์และคุณสมบัติของโมดูล MCPWM มีดังต่อไปนี้

1. ความสามารถในการสร้างสัญญาณ PWM ที่สร้างขึ้นเท่ากับ $\frac{T_o}{2}$
2. สามารถใช้งานเอาต์พุตของโมดูล MCPWM แยกกันอย่างอิสระและร่วมกันได้
3. สามารถทำงานร่วมกันหรือคอมพลีเมนตารีสามารถกำหนดค่าเวลาวิกฤต (Dead time) ได้
4. สามารถเลือกโหมดเอาต์พุตได้ซึ่งในงานวิจัยนี้เลือกใช้โหมดปรับสัญญาณกึ่งกลางตั้งแต่ในภาพที่ 2.20



ภาพที่ 2.20 ไดอะแกรมเวลาของการกำหนดสัญญาณ PWM แบบตัดสัญญาณกึ่งกลาง

ความกว้างของสัญญาณสามารถกำหนดได้โดยการเขียนข้อมูลไปยังรีจิสเตอร์ PDCx ส่วนการกำหนดค่าเวลาของสัญญาณ PWM จะทำได้โดยเขียนข้อมูลไปยังรีจิสเตอร์ PTPER สำหรับข้อมูลค่าเวลาของสัญญาณสามารถคำนวณได้จากสมการที่ (2.33)

$$PTPER = \frac{1}{2} \left(\frac{1}{PTMR_{prescaler} \times F_{pwm}} - 1 \right) \quad (2.33)$$

ในการสร้างสัญญาณ PWM เพื่อควบคุมอินเวอร์เตอร์หนึ่งเฟสต้องมีการประวิงเวลา (Dead time) เพื่อป้องกันสวิตช์ตัวบนและตัวล่างปิดวงจรพร้อมกันซึ่งสามารถกำหนดค่าประวิงเวลาได้จากบิต DTSxA ค่าประวิงเวลาสามารถคำนวณได้จากสมการที่ 2.34

$$DT = \frac{\text{Dead_Time}}{\text{Prescaler} \times T_o} \quad (2.34)$$

ซึ่งในการออกแบบซอฟต์แวร์ผู้ออกแบบจะต้องเข้าใจในส่วนต่างๆ ของโมดูลที่จะนำไปใช้เพื่อให้เข้าถึงรีจิสเตอร์ที่มีในแต่ละโมดูลและในงานวิจัยนี้ได้ใช้โมดูลแปลงสัญญาณและลอกเป็นสัญญาณดิจิตอลและโมดูล MCPWM ในการสร้างสัญญาณควบคุมระบบอินเวอร์เตอร์ซึ่งในส่วนนี้การออกแบบระบบควบคุมจะเป็นส่วนที่สำคัญที่สุด ดังนั้นการดังค่าการทำงาน

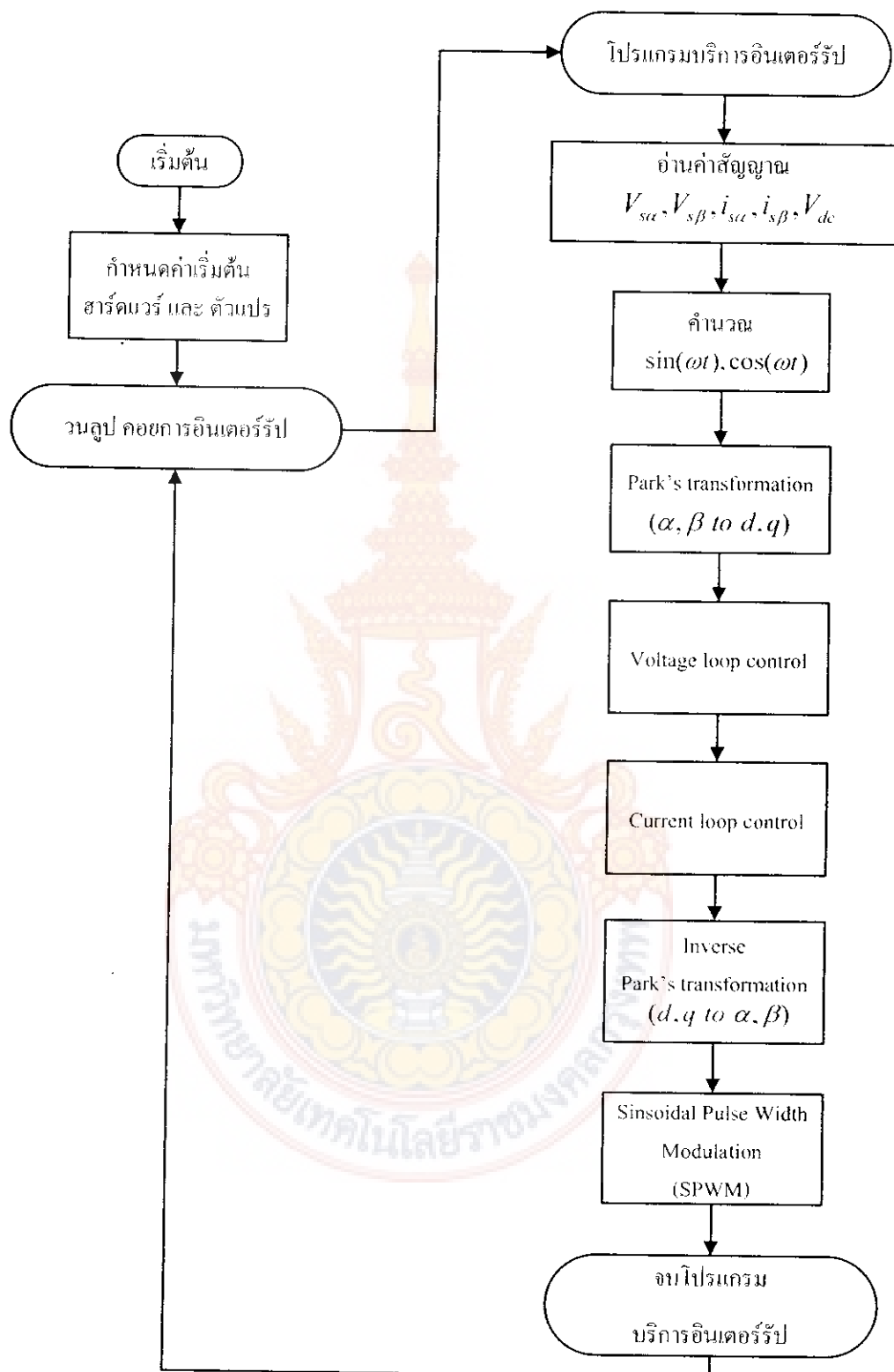
เริ่มต้นให้กับโมดูลทั้ง 2 จำเป็นที่จะต้องเข้าถึงรีจิสเตอร์ภายในของแต่ละโมดูลในการตั้งค่าต่างๆ ให้โมดูลทำงานตามที่ผู้พัฒนาโปรแกรมต้องการได้

2.7.3 องค์ประกอบซอฟต์แวร์

ในระบบควบคุมนี้ถูกคำนวณและประมวลผลของสัญญาณอยู่ในรูปแบบสัญญาณดิจิตอล ทั้งหมดซึ่งมีบล็อกไดอะแกรมของระบบควบคุม ซึ่งซอฟต์แวร์ของระบบควบคุมนี้จะประกอบไปด้วย 2 ส่วน คือ

2.7.3.1 ส่วนเลือกใหม่ของการทำงานและตั้งค่าเริ่มต้นซึ่งในส่วนนี้จะทำหน้าที่ตั้งค่า รีจิสเตอร์ต่างๆ ที่ใช้ในการควบคุมระบบอินเวอร์เตอร์

2.5.3.2 ส่วนของการวนลูปเพื่อรอการร้องขอการอินเตอร์รัปและโปรแกรมบริการ อินเตอร์รัป และส่วนนี้จะทำหน้าที่อ่านค่าสัญญาณรวมไปถึงค่าวนะระบบควบคุมต่างๆ ในการทำงานของระบบอินเวอร์เตอร์หนึ่งเฟสแบบเชื่อมต่อระบบจำนวนการไฟฟ้านั้นสิ่งที่สำคัญที่สุดคือ ระบบควบคุม ที่จะถูกประมวลผลการทำงานในรูปแบบของติดต่อลงทั้งหมด ตั้งนั้นการทำความเข้าใจในส่วนโมดูลแปลงสัญญาณและล็อกเป็นสัญญาณดิจิตอลและโมดูล MCPWM ของทั้ง 2 โมดูล จะช่วยให้เข้าใจถึงหลักการนำค่าดิจิตอลที่ได้จากการแปลงสัญญาณ อนาคตอุปกรณ์เป็นสัญญาณดิจิตอลเพื่อนำค่าดิจิตอลไปคำนวณทางคณิตศาสตร์ตาม บล็อกไดอะแกรมการทำงานของระบบอินเวอร์เตอร์ ในภาพที่ 2.21 และนำค่าที่ได้จากการ คำนวณทางคณิตศาสตร์ไปเป็นค่าให้กับรีจิสเตอร์ในโมดูล MCPWM เพื่อกำหนดให้โมดูล MCPWM สร้างสัญญาณ PWM ด้วย dsPIC30F4011 และนำสัญญาณ PWM ไปควบคุมการ ทำงานอินเวอร์เตอร์ในการเชื่อมต่อระบบจำนวนการไฟฟ้าได้อย่างมีประสิทธิภาพ



ภาพที่ 2.21 บล็อกไดอะแกรมของระบบควบคุม

2.8 สถาปัตยกรรมของ TMS320F2808

ในงานวิจัยนี้เลือกใช้ DSP TMS320F2808 ของบริษัท Texas Instrument เป็นหน่วยประมวลผลและสร้างสัญญาณพีดับเบิลยูเอ็มแบบทันเวลา ซึ่ง DSP เบอร์ TMS320F2808 เป็นหน่วยประมวลผลแบบสัญญาณดิจิตอล มีความเร็วในการประมวลและความแม่นยำสูง มีลักษณะที่สำคัญดังต่อไปนี้

2.8.1 สร้างโดยใช้เทคโนโลยี High-Performance Static CMOS มีความเร็วสัญญาณนาฬิกา 100 MHz หรือ 10 ns ต่อหนึ่งรอบสัญญาณนาฬิกา

2.8.2 รองรับกับพอร์ต JTAG Boundary Scan

2.8.3 หน่วยประมวลผลกลางประสิทธิภาพสูงขนาด 32 บิต ใช้สถาปัตยกรรมแบบฮาเวาร์ด (Harvard- Bus Architecture) ปฏิบัติการแบบ 16×16 และ 32×32 มีกระบวนการตอบสนองอินเตอร์รัปท์รัวต์เร็ว

2.8.4 คอมแพดติเบิลกับชุดคำสั่งของ DSP ตระกูล TMS320F24X/LF240X หน่วยความจำชนิด SARAM และ Flash ขนาด $64 K \times 16$ บิต

2.8.5 มี Boot ROM ขนาด $4K \times 16$ ภายในบรรจุ Software Boot Modes และตารางคณิตศาสตร์

2.8.6 ตัวแปลงสัญญาณแอนalog เป็นดิจิตอลความละเอียด 12 บิต จำนวน 16 ช่องสัญญาโนินพุทมีลักษณะเป็นแบบมัลติเพล็กซ์ 2 ชุดๆ ละ 8 ช่องสัญญาณ มีดัวสูมและคงค่า (Sample-and-Hold) จำนวนสองชุด สามารถทำการแปลงสัญญาณเพียงช่องเดียวหรือทุกช่องพร้อมกันได้ ซึ่งใช้เวลาในการแปลงสัญญาณเพียง 160 ns ต่อ 1 ครั้ง

2.8.7 ตัวสร้างสัญญาณ PWM (ePWM) 6 โมดูล 12 ช่องสัญญาณ

2.8.8 ตัวนับขนาด 32 บิต 3 ชุด

2.8.9 ตัวรับสัญญาณจากเอ็นโคดเตอร์ (Quadrature Encoder Pulse)

2.8.10 Enhance Controller Area Network (eCAN) Module

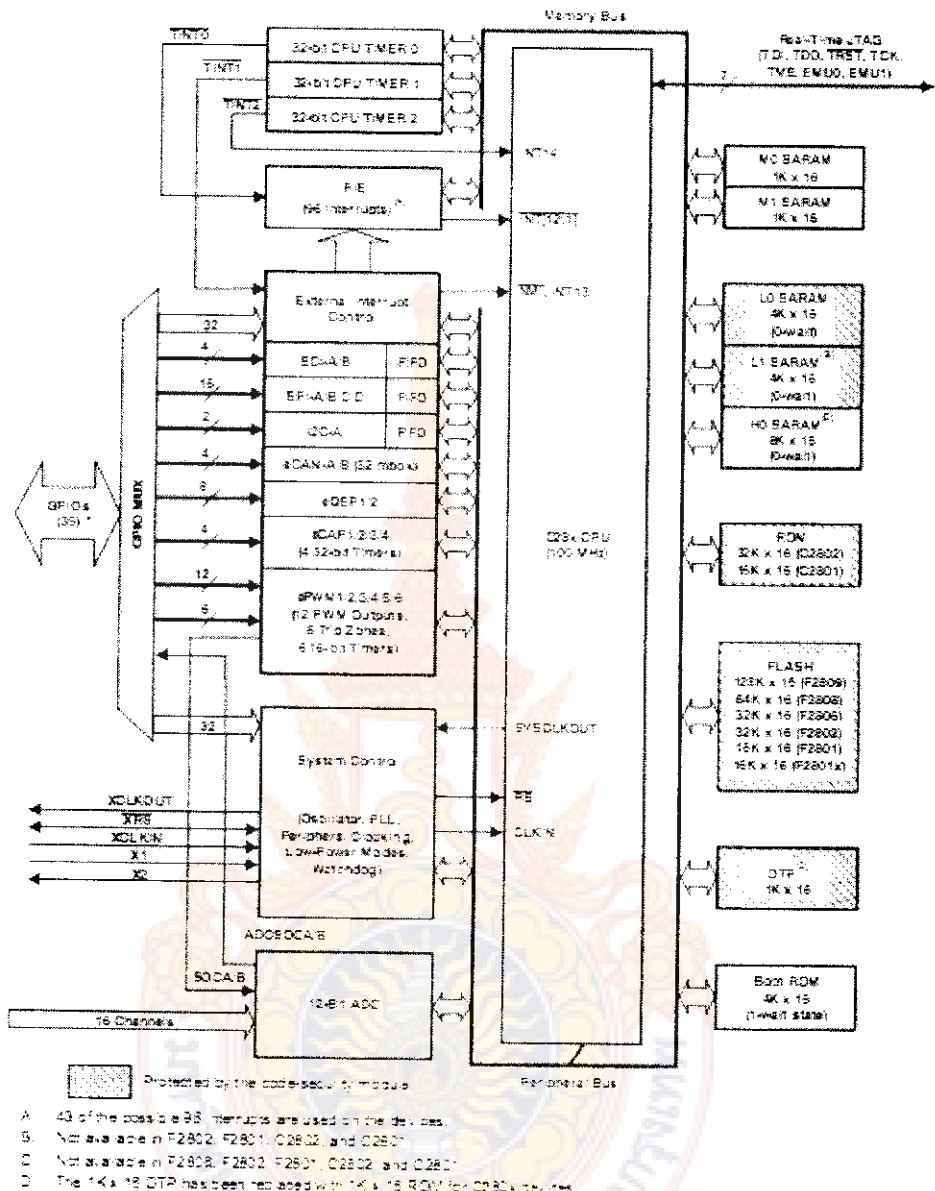
2.8.11 Multichannel Buffered Serial Port (McBSP) With SPI Mode

2.8.12 อินพุต/เอาต์พุต พอร์ต 35 ช่อง

2.8.13 ชุดติดต่อสื่อสารแบบอนุกรม

2.8.14 รองรับสัญญาโนินเตอร์พัฟจากอุปกรณ์รอบข้างจำนวน 45 แหล่ง

2.8.15 สามารถติดต่อกับอุปกรณ์ภายนอก



ภาพที่ 2.22 บล็อกไซด์ของ TMS320F2808

TMS320F2808 แบ่งออกเป็นสามส่วนใหญ่ ๆ ได้ดังนี้คือ

1. หน่วยประมวลผลกลาง (Central Processing Unit: CPU)
2. หน่วยความจำ (Memory)
3. เพอริเฟอร์ยอลส์ (Peripherals)

2.9 หน่วยประมวลผลกลาง

หน่วยประมวลผลกลาง เป็นหน่วยประมวลชนิดจุดทศนิยมคงที่ (Fixed Point) โดยมีขนาด 32 บิต อุปกรณ์นี้สำคัญข้อดีของกระบวนการประมวลผลสัญญาณดิจิตอล ด้วยการใช้สถาปัตยกรรมแบบ RISC ร่วมกับ สถาปัตยกรรมแบบไมโครคอนโทรลเลอร์ ข้อดีของ DSP รวมถึงสถาปัตยกรรมแบบฮาร์ด (Harward) และการอ้างตัวแห่งแบบวงกลม ข้อดีในส่วนของ RISC คือ ซึ่งพิชิตสามารถอ่านและเขียนข้อมูลได้ในเวลาเดียวกัน ทำให้สามารถกระทำการคำสั่งได้ภายในหนึ่งรอบสัญญาณนาฬิกาโดยผ่านทางไปเพลิน(Pipeline) และการกระทำการคำสั่งแบบรีจิสเตอร์ไปยังรีจิสเตอร์ ข้อดีของไมโครคอนโทรลเลอร์คือ ความง่ายของการใช้งานผ่านทางชุดคำสั่ง และสามารถใช้งานในระดับบิตได้ ส่วนประกอบของหน่วยประมวลผลกลางมีดังนี้ คือ

2.9.1 หน่วยประมวลผลกลาง สำหรับถอดรหัสกระทำการคำสั่งคำนวนทางคณิตศาสตร์ ลอกิจิกการเลื่อนบิต และควบคุมการส่งผ่านข้อมูลระหว่างรีจิสเตอร์ หน่วยความจำข้อมูลและหน่วยความจำโปรแกรม

2.9.2 อีเมลเลชั่นโลจิก (Emulation Logic) สำหรับแสดงผลและควบคุมในหลาย ๆ ส่วน และสำหรับตรวจสอบการทำงานของอุปกรณ์

2.9.3 สัญญาณสำหรับการเชื่อมต่อกับหน่วยความจำและอุปกรณ์ภายนอกสัญญาณนาฬิกาและควบคุมหน่วยประมวลผลกลาง สัญญาณอีเมลเลชั่นโลจิก แสดงผลสถานภาพของหน่วยประมวลผลกลางอีเมลเลชั่นโลจิก และการอินเตอร์รัฟท์

2.10 สถาปัตยกรรมของหน่วยประมวลผลกลาง

2.10.1 ลอกิจิกควบคุมการทำงานโปรแกรม และข้อมูลโลจิกนี้ทำหน้าที่เก็บถาวรของคำสั่งที่มืออยู่โดยไปเอามาจากหน่วยความจำโปรแกรม

2.10.2 หน่วยคำแห่งของรีจิสเตอร์ที่มีการกระทำการทางคณิตศาสตร์ (Address Register Arithmetic Unit :ARAU) ARAU ให้กำเนิดคำแห่งสำหรับค่าที่ต้องไปเอามาจากหน่วยความจำข้อมูลสำหรับการอ่านข้อมูล สถานที่ข้อมูลอยู่ที่คำแห่งบนบัสคำแห่งอ่านข้อมูล (Data-read Address Bus :DRAB) สำหรับการเขียนข้อมูลที่ถูกบรรจุอยู่ที่บัสตัวแห่งเขียนข้อมูล (Data-write Address Bus :DWAB) ARAU สามารถเพิ่มขึ้นหรือลดลงด้วยสแตกพอยเตอร์ (Stack Pointer) และรีจิสเตอร์ช่วย (Auxiliary Register) (XAR0, XAR1, XAR2, XAR3, XAR4, XAR5, XAR6, XAR7)

2.10.3 หน่วย (atomic arithmetic logic unit (ALU)) มีขนาด 32 บิต มีการกระทำการทางคณิตศาสตร์แบบ 2' Complement และ การกระทำการЛОจิกบูลีน (Boolean Logic) ซึ่งก่อนที่ ALU จะกระทำการคำนวนนั้น ALU จะตอบรับข้อมูลจากรีจิสเตอร์ หน่วยความจำข้อมูล หรือจากโปรแกรมควบคุมโลจิก จากนั้น ALU จะเก็บผลลัพธ์ไปยังรีจิสเตอร์หรือหน่วยความจำข้อมูล

2.10.4 จุดทศนิยมคงที่ (Fixed-point : MPY/ALU) ตัวคูณกระทำการคูณแบบ 32 บิต \times 32 บิต ชนิด 2' Complement พร้อมกับผลลัพธ์ขนาด 64 บิต โดยกระทำร่วมกับรีจิสเตอร์ XT รีจิสเตอร์ผลลัพธ์ P และแอคคิวมูลเดอร์ขนาด 32 บิต ผลลัพธ์ของการคูณสามารถส่งไปยังรีจิสเตอร์ P ได้

2.11 รีจิสเตอร์ของหน่วยประมวลผลกลาง

2.11.1 แอคคิวมูลเดอร์ (ACC, AH, AL) คือรีจิสเตอร์หลักที่ทำงานสำหรับกระบวนการทำงานทั้งหมดของ ALU นอกเหนือจากการกระทำการโดยตรงบนหน่วยความจำ แอคคิวมูลเดอร์รองรับการเคลื่อนย้ายแบบรอบเดียว รวมถึง การบวก การลบ และกระบวนการเบรียบเทียบจากหน่วยความจำข้อมูลขนาด 32 บิต ซึ่งเป็นความสามารถที่นอกเหนือจากผลลัพธ์ 32 บิต ของกระบวนการทำการคูณแอคคิวมูลเดอร์สามารถแบ่งออกเป็นรีจิสเตอร์อิสระขนาด 16 บิต ได้ 2 ตัว คือ AH (16 บิตทางด้านสูง) และ AL (16 บิตทางด้านต่ำ) ซึ่งแต่ละไปร์ภายใน AH และ AL สามารถเข้าถึงได้อย่างอิสระ

2.11.2 รีจิสเตอร์ที่ใช้เป็นตัวดึงสำหรับคูณ (Multiplication Register: XT) รีจิสเตอร์ที่ใช้เป็นตัวดึงสำหรับคูณ ถูกใช้สำหรับเก็บค่าจำนวนเต็มที่มีเครื่องหมายขนาด 32 บิต เพื่อที่จะส่งไปกระบวนการคูณต่อไป ส่วน 16 บิตทางด้านต่ำของรีจิสเตอร์ XT เรียกว่ารีจิสเตอร์ TL และ 16 บิตทางด้านสูงของรีจิสเตอร์ XT เรียกว่ารีจิสเตอร์ T รีจิสเตอร์นี้ส่วนใหญ่ใช้เก็บค่าจำนวนเต็มขนาด 16 บิต ที่เกิดจากการบวนการคูณ และใช้ระบุค่าการเลื่อนบิตสำหรับบันบังการทำงานของกระบวนการเลื่อนบิต

2.11.3 รีจิสเตอร์ผลลัพธ์ (Product Register : P, PH, PL) รีจิสเตอร์ผลลัพธ์โดยปกติถูกใช้สำหรับเก็บผลลัพธ์ขนาด 32 บิต ที่เกิดจากการคูณและสามารถเคลื่อนย้ายข้อมูลขนาด 16 บิต หรือ 32 บิตได้โดยตรงจากหน่วยความจำข้อมูล ค่าคงที่ขนาด 16 บิตค่า 32 บิต จากแอคคิวมูลเดอร์ และ 16 บิตหรือ 32 บิต จากการอ้างตัวแทนของรีจิสเตอร์ของหน่วยประมวลผลกลาง รีจิสเตอร์นี้แบ่งออกได้เป็นรีจิสเตอร์ขนาด 16 บิต ส่วนล่างคือ รีจิสเตอร์ PH (16 บิตทางด้านสูง) และรีจิสเตอร์ PL (16 บิตทางด้านล่าง)

2.11.4 ตัวชี้บันหน่วยความจำ (Data Page Pointer: DP) ในโหมดการอ้างตัวแทนโดยตรงหน่วยความจำข้อมูลจะถูกระบุตำแหน่งโดยแบ่งออกเป็นตอนละ 64 เวิร์ด ซึ่งถูกเรียกว่าหน้าหน่วยความจำ

2.11.5 ตัวชี้สแตก (Stack Pointer: SP) ตัวชี้สแตกทำให้สามารถใช้ชอฟต์แวร์สแตกในหน่วยความจำข้อมูลได้ ตัวชี้สแตกมีขนาด 16 บิต และสามารถอ้างตัวแทนได้เฉพาะ 64K ของพื้นที่ข้อมูล

2.11.6 รีจิสเตอร์ช่วย (Auxiliary Register: XAR0-XAR7, AR0-AR7) หน่วยประมวลผลกลางจะเปิดช่องให้รีจิสเตอร์ขนาด 32 บิต จำนวน 8 ตัวให้สามารถใช้ตัวชี้ไปยังหน่วยความจำ

หรือรีจิสเตอร์สำหรับใช้งานทั่วไปได้ รีจิสเตอร์ช่วยนี้ใช้สำหรับเมื่อต้องการอ้างถึงตำแหน่งในหน่วยความจำแบบต่างๆ และเช่นเดียวกันรีจิสเตอร์ขนาด 32 บิต ทั้ง 8 ตัวนี้ แต่ละตัวสามารถแบ่งเป็นสองส่วนๆ ละ 16 บิต

2.11.7 โปรแกรมเคาน์เตอร์ (Program Counter: PC) หน้าที่หลักของโปรแกรมเคาน์เตอร์คือเป็นตัวชี้ตำแหน่งของคำสั่งต่อไปที่จะทำการ fetch

2.11.8 รีเทิร์นโปรแกรมเคาน์เตอร์ (Return Program Counter: RPC) เมื่อทำการเรียกใช้คำสั่ง LCR ตำแหน่งที่ใช้ในการย้อนกลับถูกเก็บในรีจิสเตอร์ RPC ค่าเดิมในรีจิสเตอร์ RPC ถูกเก็บบนสเตดค กระบวนการย้อนกลับสามารถทำได้โดยการใช้คำสั่ง LRETR โดยตำแหน่งที่ทำการย้อนกลับจะอ่านจากรีจิสเตอร์ RPC และค่าบนสเตดคจะถูกเขียนไปยังรีจิสเตอร์ RPC

2.11.9 รีจิสเตอร์สถานะ (Status Register: ST0, ST1) บน TMS320F2812 มีรีจิสเตอร์สถานะอยู่สองตัวคือ ST0 และ ST1 ซึ่งบรรจุบิตแฟลกและบิตควบคุมอยู่ภายใน รีจิสเตอร์นี้สามารถที่จะถูกเก็บและถูกโหลดได้จากหน่วยความจำข้อมูล

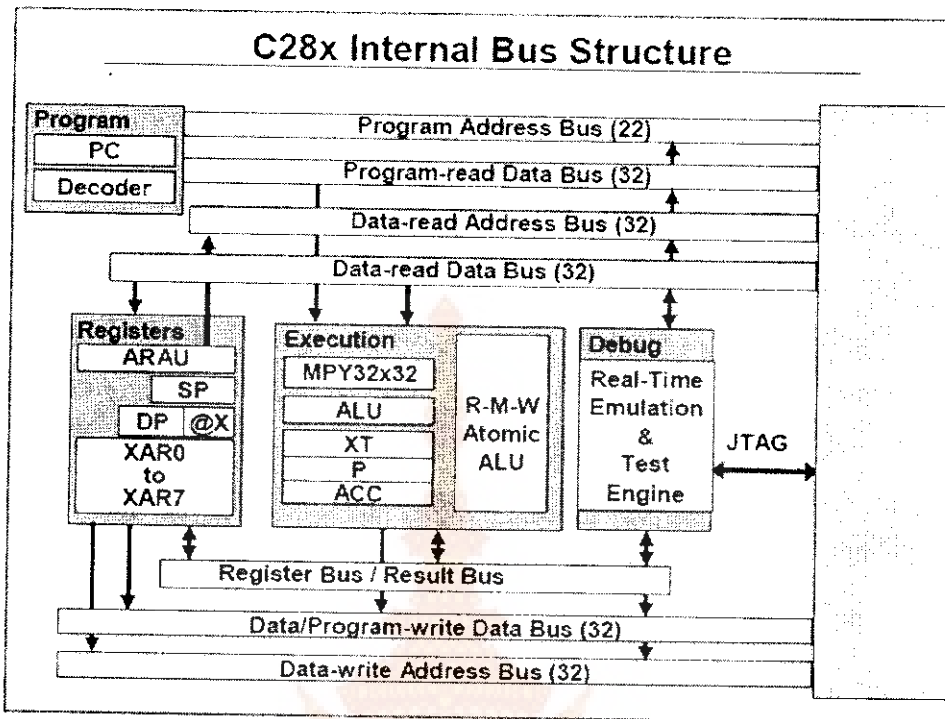
2.11.10 รีจิสเตอร์ที่ใช้ควบคุมกระบวนการอินเตอร์รัพท์ TMS320F2812 มีรีจิสเตอร์อยู่สามตัวที่ใช้ควบคุมกระบวนการอินเตอร์รัพท์คือ

2.11.10.1 อินเตอร์รัพท์แฟลกรีจิสเตอร์ (Interrupt Flag Register :IFR)

2.11.10.2 อินเตอร์รัพท์เอเนเบิลรีจิสเตอร์ (Interrupt Enable Register :IER)

2.11.10.3 ดีบักอินเตอร์รัพท์เอเนเบิลรีจิสเตอร์ (Debug Interrupt Enable Register :DBGIER)

ภายใน IFR บรรจุบิตแฟลกสำหรับกระบวนการมาสเคิลอินเตอร์รัพท์ (Master Interrupt) เมื่อบิตใดบิตหนึ่งของแฟลกถูกเซ็ต ไม่ว่าจะโดยอาร์ดแวร์หรือซอฟต์แวร์กระบวนการอินเตอร์รัพท์จะได้รับการตอบสนองถ้าได้มีการเปิดการทำงานเอาไว้ ซึ่งสามารถเปิดหรือปิดกระบวนการทำงานมาสเคิลอินเตอร์รัพท์ได้ที่บิตใน IER



ภาพที่ 2.23 รีจิสเตอร์ของหน่วยประมวลผลกลาง

2.12 การจัดผังหน่วยความจำ

TMS320F2808 ใช้การอ้างที่อยู่แยกกันระหว่างหน่วยความจำข้อมูลกับหน่วยความจำโปรแกรม อีกทั้งยังสามารถติดต่อกันหน่วยความจำที่อยู่ภายนอกได้ ตำแหน่งของข้อมูลใช้ขนาด 32 บิต และตำแหน่งของโปรแกรมใช้ขนาด 22 บิต โดยผังของหน่วยความจำมีการแบ่งออกเป็นส่วนๆ ดังนี้

2.12.1 หน่วยความจำข้อมูลและหน่วยความจำโปรแกรมภายใน

2.12.2 พื้นที่สำรอง

2.12.3 เวกเตอร์สำหรับการอินเตอร์รัฟท์ของ CPU

ในช่วงตำแหน่ง “Low 64K” ของผังหน่วยความจำจะเปรียบเสมือนกับพื้นที่ของข้อมูลบน DSP ตระกูล 240x ส่วน “High 64K” ในช่วงตำแหน่งของผังหน่วยความจำจะเปรียบเสมือนกับพื้นที่ของโปรแกรมบน DSP ตระกูล TMS320F24x/240x ซึ่งเป็นการที่จะให้มีความจำคอมแพคต์เบลกับโค๊ดของตระกูล TMS320F24x/240x

Start Slave Address	Data Space	Prog. Space
3403 3003	MS Vector = RAM 32 x 32; Enabled RAM = 0;	
3402 3043	MS RAM 32 x 32;	
3403 3042	MS RAM 32 x 32;	
3403 3053	Periphery Frame 0;	
3400 1202	MS Vector = RAM 32 x 32; Enabled RAM = 0;	Reserved
3401 0230	MS RAM 32 x 32;	
3400 0230	MS RAM 32 x 32;	
3402 7732	Periphery Frame 1 Program	Reserved
3402 7733	Periphery Frame 2 Program	Reserved
3400 0300	MS RAM 32 x 32; 4x 16 Selection 32x-Memory	
3403 0303	MS RAM 32 x 32; 4x 16 Selection 32x-Memory	
3402 A022	MS RAM 32 x 32; 32x 16 Selection 32x-Memory	
3403 2000		
3403 7800		
3403 7002		
3402 6022		
3402 7042		
3402 8002		
3402 8003	MS RAM 32 x 32; 4x 16 Selection 32x-Memory	
3402 A003	MS RAM 32 x 32; 32x 16 Selection 32x-Memory	
3402 C000		
3402 F000		
3402 F000	Vector 32 x 32; 4x 16 Selection 32x - 2	

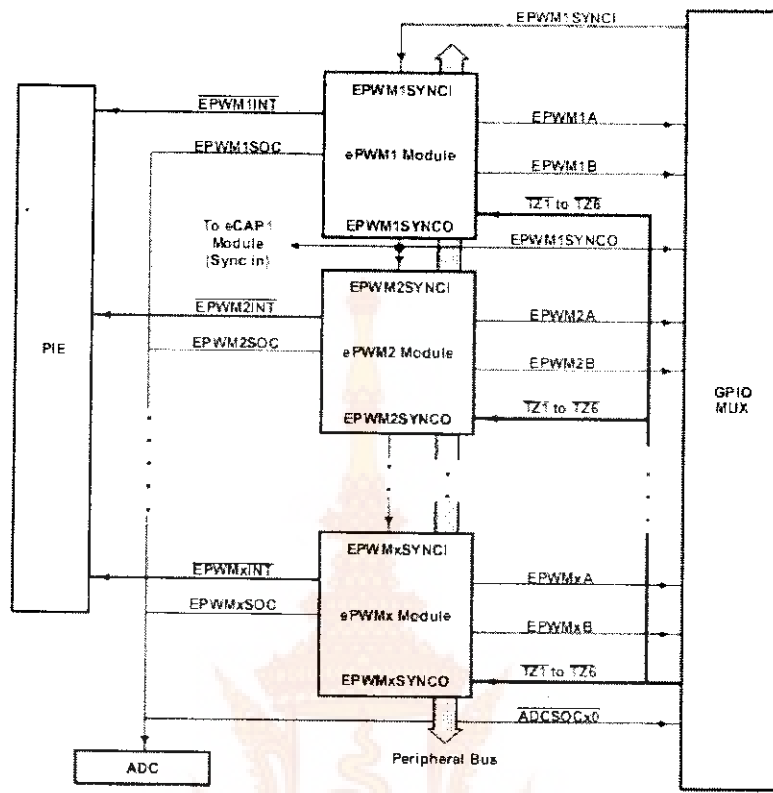
ภาพที่ 2.24 ผังหน่วยความจำ

2.13 อุปกรณ์ต่อพ่วง

อุปกรณ์ต่อพ่วงของ TMS320F2808 ประกอบด้วย

2.13.1 TIMER ขนาด 32 บิต (0, 1, 2) บน TMS320F2808 มี Timer ของหน่วยประมวลผลกลางขนาด 32 บิตจำนวน 3 ตัวคือ Timer 0/1/2 Timer 1 และ 2 ถูกสงวนไว้สำหรับระบบการทำงานของหน่วยประมวลผลกลาง ส่วน Timer 0 นั้นเป็นส่วนที่ผู้ใช้สามารถนำไปใช้งานได้ ซึ่ง Timer นี้ได้ถูกใช้งานในโมดูล Enhanced PWM ดังนั้นจึงมีชื่อเรียกที่แตกต่างออกไปคือ “Timer สำหรับใช้งานทั่วไป (general-purpose (GP) timer)”

2.13.2 โมดูล Enhanced PWM (ePWM) จะมีโมดูลในการสร้างสัญญาณ PWM ที่เป็นอิสระต่อกันจำนวน 6 โมดูล โดยแต่ละโมดูลจะมี 2 เอาท์พุต คือ ePWMA และ ePWMB ดังภาพที่ 2.25



ภาพที่ 2.25 บล็อกไซอะแกรมของ ePWM

คุณสมบัติของ PWM แต่ละโมดูลมีดังนี้

1. ควบคุมการนับฐานเวลา ขนาด 16 บิต ด้วยความเร็วหรือความถี่
2. มี PWM 2 เอาท์พุต (EPWMxA and EPWMxB)
3. การควบคุม Asynchronous override ของสัญญาณ PWM โดยผ่านทางซอฟต์แวร์
4. มีการซิงโครไนซ์สำหรับสัญญาณเริ่มต้นของการแปลงของ ADC (SOC)
5. สามารถกำหนดค่าเดดแบน (dead-band) โดยการควบคุมการหน่วงสัญญาณขอบขาขึ้นและขอบขาลงที่เป็นอิสระต่อกัน สำหรับเอาท์พุต PWM คู่
6. สามารถเปลี่ยนความถี่ของสัญญาณ PWM ได้
7. คลื่นสัญญาณที่อยู่คู่เดียวกันจะเป็นคลื่นสัญญาณที่ตรงข้ามกัน
8. สามารถเปลี่ยนความกว้างของพลัส PWM ได้ในขณะหรือหลังจากช่วงเวลา PWM

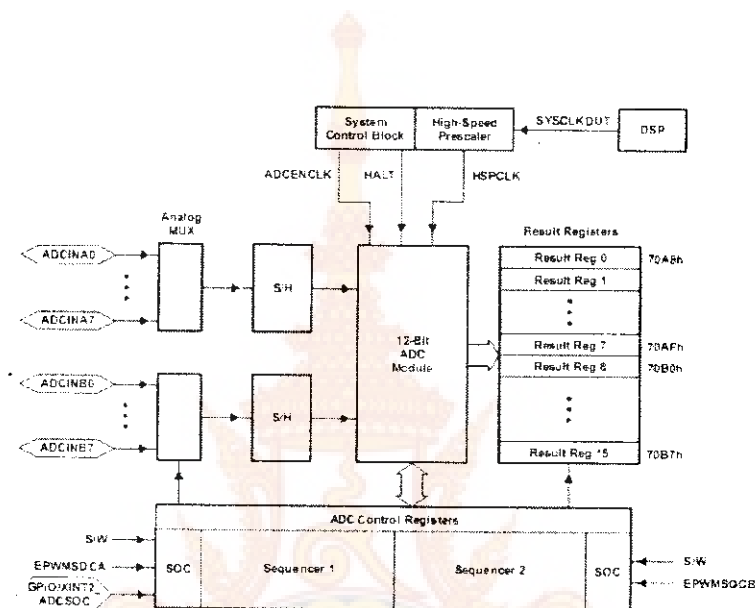
9. มีอินเตอร์รัพต์สำหรับการป้องกันดาวน์

10. มีรูปแบบของสัญญาณ PWM คือ แบบ asymmetric, symmetric

11. ใช้การ์โลลดอัตโนมัติเพื่อลดเวลาการทำงานของชิปซึ่ง

2.13.3 โมดูลแปลงสัญญาณอนาลอกเป็นสัญญาณดิจิตอล (ADC) ของ F2808 จะมีขนาด

12 บิต มีวงจรสุ่มและคงค่าอยู่ภายใต้ แสดงดังบล็อกไซด์อะแกรมภาพที่ 2.24



ภาพที่ 2.26 บล็อกไซด์อะแกรมของ ADC

คุณสมบัติของ ADC มีดังนี้

- มีความละเอียด 12 บิต และมีวงจร Sample and Hold (S/H) บรรจุอยู่ภายใน
- สัญญาณอนาลอกของอินพุตอยู่ในช่วง 0 ถึง 3 โวลต์ (ถ้าแรงดันสูงกว่า 3 V จะได้ผลลัพธ์การแปลงเต็มสเกล)
- ความเร็วในการแปลงสูงสุด 160 ns ที่สัญญาณนาฬิกาของ ADC 12.5 MHz, 6.25MSPS
- มีอินพุตแบบมัลติเพล็กซ์จำนวน 16 ตัว
- มีรีจิสเตอร์ที่ใช้ในการเก็บผลลัพธ์ในการแปลงจำนวน 16 ตัวซึ่งแยกกันโดยเฉพาะ ผลการแปลงเป็นข้อมูลดิจิตอลคือ

$$\text{Digital Value} = 4095 \times \frac{\text{Input Analog Voltage} - \text{ADCLO}}{3} \quad (2.35)$$

6. มีความยืดหยุ่นในการควบคุมกระบวนการอินเตอร์รัพท์โดยยอมรับให้เกิดการร้องขออินเตอร์รัพท์ทั้งหมด End-of-sequence (EOS)
7. สามารถทำการแปลงในโหมดเรียงตามลำดับทั้งหมดโดยอัตโนมัติ (Auto sequenced ADC in Cascade Mode) ซึ่งสามารถใช้งานอินพุตได้ทั้ง 16 ช่อง หรือขึ้นอยู่กับว่าต้องการเลือกให้อินพุตช่องใดทำงาน
8. สามารถทำการแปลงในโหมดเรียงตามลำดับทั้งหมดโดยอัตโนมัติแบบเรียงตามลำดับคู่ (Autosequenced ADC With Dual Sequencers) โดยแบ่งอินพุตออกเป็นสองส่วนๆ ละ 8 ช่อง ซึ่งทั้งสองส่วนนี้สามารถสั่งให้เริ่มทำงานได้โดยเป็นอิสระต่อกัน
9. ePWM ทริกเกอร์สามารถทำงานอย่างอิสระใน dual-sequencer mode
10. ตัว Sequencer สามารถทำงานในโหมด Start/Stop ได้ สามารถเลือกเวลาในการทริกเกอร์ เพื่อให้ชิงโครในช่วงการแปลง
11. มีอินพุตสำหรับการเริ่มต้นการแปลงคือ เริ่มต้นตัวยซอฟต์แวร์ (Software Start: S/W) , เริ่มต้นตัวย ePWM 1- 6 และเริ่มต้นตัวย GPIO XINT2

2.13.4 Watchdog F2808 สนับสนุนการทำงานของ Watchdog Timer โดยผู้ใช้ต้องเขียนโปรแกรมเพื่อทำการรีเซ็ต Watchdog counter นอกจากนี้ยังเกิดการรีเซ็ต Watchdog ได้จากการทำงาน ซึ่งสามารถหยุดการทำงานของ Watchdog ได้โดยการ disable

2.13.5 General-purpose Input/Output (GPIO) Multiplexer เป็นอินพุต/เอาต์พุตของสัญญาณที่ถูกใช้โดยการมัลติเพล็กซ์ ในขณะที่รีเซ็ต ขา GPIO ทั้งหมดจะถูกจัดให้เป็นอินพุต นอกจากนี้ยังสามารถกำหนดให้ขาอินพุต/เอาต์พุต เป็นได้ทั้งโหมด GPIO และโหมดอินพุต/เอาต์พุต ทั่วไป

2.13.6 Peripheral Interrupt Expansion (PIE) Block PIE block สามารถรองรับการอินเตอร์รัพท์ได้จาก 96 แหล่ง โดยสามารถแบ่งได้ 8 กลุ่ม แต่ละกลุ่มถูกป้อนยังอินพุต การอินเตอร์รัพท์ 12 เส้น (INT1 ถึง INT12) ซึ่งอินเตอร์รัพท์ทั้ง 96 จะมีตำแหน่งเวกเตอร์ของตัวเองในบล็อกหน่วยความจำแบบ RAM ซึ่งสามารถเขียนเข้าได้

2.13.7 Enhanced Controller Area Network (eCAN) ในเวอร์ชันนี้ประกอบด้วย CAN ซึ่งสนับสนุนเมล์บีอกซ์ และบันทึกเวลาของแต่ละแมสเซจที่เข้ามา ซึ่งเป็น CAN 12.0 B

2.13.8 Multichannel Buffered Serial Port (McBSP) McBSP สามารถใช้ต่อ กับการเข้ารหัสของโมเด็มได้ หรือใช้กับอุปกรณ์แปลงสัญญาณดิจิตอลเป็นอนาลอกแบบสเตอริโอ คุณภาพสูงได้ ซึ่ง McBSP จะรับส่งข้อมูลในรีจิสเตอร์แบบ FIFO (First In First Out)

2.13.9 Serial Port Interface (SPI) SPI เป็นพอร์ตอินพุต เอาด์พุตอนุกรมแบบซิงโครนัส (Synchronous) ความเร็วสูง ซึ่งสามารถส่งข้อมูลโดยมีจำนวนบิตได้ตั้งแต่ 1 ถึง 16 บิต ซึ่งสามารถเข้าและออกอุปกรณ์โดยอัตราการส่งสามารถโปรแกรมได้โดยปกติ SPI ใช้สำหรับการติดต่อ กันระหว่าง DSP คอนโทรลเลอร์และอุปกรณ์ภายนอกหรือโปรเซสเซอร์อื่นๆ ซึ่งโดยปกติจะรวมไปถึงการใช้งาน I/O ภายนอกหรือการส่งข้อมูลผ่านอุปกรณ์ เช่น ชิพรีจิสเตอร์ (Shift Register) ไดร์เวอร์ การแสดงผล และ ADC ใน การติดต่อ กันระหว่าง อุปกรณ์หลายๆ ตัว จะใช้ระบบมาสเตอร์/สลาฟ (Master/Slave) ของ SPI และ F2808 จะสามารถส่งข้อมูลแบบ FIFO 16 ระดับ ซึ่งช่วยทำให้การทำงานต่างๆ รวดเร็วยิ่งขึ้น

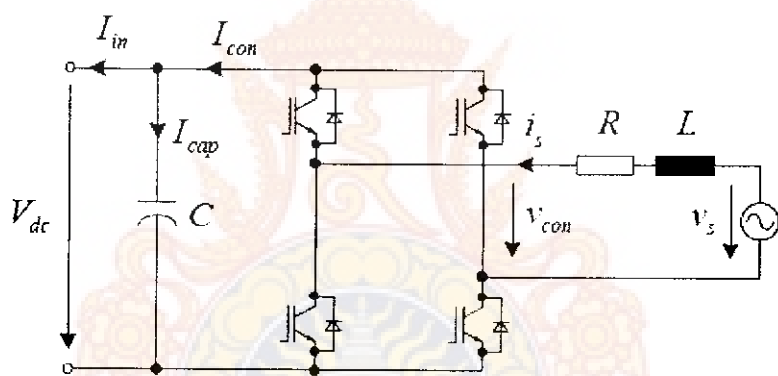
2.13.10 Serial Communication Interface (SCI) SCI เป็นพอร์ตอนุกรมแบบ 2 เส้น (Two-wire) ซึ่งรู้จักกันโดยทั่วไปในชื่อของ UART ซึ่งใน F2808 สนับสนุนการรับ-ส่งข้อมูลแบบ FIFO

บทที่ 3

การออกแบบงานวิจัย

ในบทนี้จะกล่าวถึงการออกแบบงานวิจัย โดยการจำลองการทำงานด้วยโปรแกรม Matlab/Simulink เพื่อศึกษาการทำงานเบื้องต้นและเป็นแนวทางอ้างอิงในการทดสอบระบบการทำงานของอินเวอร์เตอร์

การควบคุมอินเวอร์เตอร์สามารถจ่ายพลังงานเข้าสู่ระบบจำหน่ายได้อย่างเหมาะสม จำเป็นต้องใช้ควบคุม ซึ่งในการที่ออกแบบด้วยควบคุมได้ต้องทราบบล็อกใดอะแกรมของวงจรภาคกำลังของอินเวอร์เตอร์ก่อน โดยวงจรภาคกำลังของอินเวอร์เตอร์แสดงในภาพที่ 3.1 ซึ่งสามารถหาได้จากสมการคณิตศาสตร์ของวงจรภาคกำลัง



ภาพที่ 3.1 วงจรกำลังของอินเวอร์เตอร์แบบหนึ่งเฟสต่อเข้าระบบจำหน่าย

จะได้สมการของแรงดัน V_{con} คือ

$$V_s = Ri_s + L \frac{di_s}{dt} + V_{con} \quad (3.1)$$

ให้ $\Delta v = V_s - V_{con}$ แทนในสมการ (3.1)

$$L \frac{di_s}{dt} = \Delta v - Ri_s \quad (3.2)$$

จากสมการที่ 3.2 แปลงเป็นแกน α, β จะได้ดังนี้

$$L \frac{di_\alpha}{dt} = \Delta v_\alpha - Ri_\alpha \quad (3.3)$$

$$L \frac{di_\beta}{dt} = \Delta v_\beta - Ri_\beta \quad (3.4)$$

สมการที่ 3.3 และ 3.4 แปลงให้อยู่ในแกน d และ q ได้ดังนี้

$$\Delta v_d = \Delta v_\alpha \cos \omega t + \Delta v_\beta \sin \omega t \quad (3.5)$$

$$\Delta v_q = -\Delta v_\alpha \sin \omega t + \Delta v_\beta \cos \omega t \quad (3.6)$$

และกระแส i ในภาพที่ 3.1 แปลงให้อยู่ในแกน d และ q ได้ดังนี้

$$i_{sd} = i_\alpha \cos \omega t + i_\beta \sin \omega t \quad (3.7)$$

$$i_{sq} = -i_\alpha \sin \omega t + i_\beta \cos \omega t \quad (3.8)$$

หาสมการอนุพันธ์ของสมการที่ 3.7 และ 3.8 แล้ว เอา L คูณตลอดจะได้

$$L \frac{di_{sd}}{dt} = -L\omega i_\alpha \sin \omega t + L \frac{di_\alpha}{dt} \cos \omega t + L\omega i_\beta \cos \omega t + L \frac{di_\beta}{dt} \sin \omega t \quad (3.9)$$

$$L \frac{di_{sq}}{dt} = -L\omega i_\alpha \cos \omega t - L \frac{di_\alpha}{dt} \sin \omega t - L\omega i_\beta \sin \omega t + L \frac{di_\beta}{dt} \cos \omega t \quad (3.10)$$

นำสมการที่ 3.3 และ 3.4 แทนลงในสมการที่ 3.5 และ 3.6 จะได้

$$\Delta v_d = L \frac{di_{sd}}{dt} \cos \omega t + Ri_{sd} \cos \omega t + L \frac{di_{sq}}{dt} \sin \omega t + Ri_{sq} \sin \omega t \quad (3.11)$$

$$\Delta v_q = -L \frac{di_{sd}}{dt} \sin \omega t - Ri_{sd} \sin \omega t + L \frac{di_{sq}}{dt} \cos \omega t + Ri_{sq} \cos \omega t \quad (3.12)$$

จัดรูปสมการที่ 3.11 และ 3.12 ใหม่จะได้

$$\Delta v_d = L \frac{di_{sd}}{dt} \cos \omega t + L \frac{di_{sq}}{dt} \sin \omega t + Ri_{sd} \quad (3.13)$$

$$\Delta v_q = -L \frac{di_{sd}}{dt} \sin \omega t + L \frac{di_{sq}}{dt} \cos \omega t + Ri_{sq} \quad (3.14)$$

นำสมการที่ 3.13 และ 3.14 แทนในสมการที่ 3.11 และ 3.12 จะได้

$$L \frac{di_{sd}}{dt} = L\omega i_{sq} + \Delta v_d - Ri_{sd} \quad (3.15)$$

$$L \frac{di_{sq}}{dt} = -L\omega i_{sd} + \Delta v_q - Ri_{sq} \quad (3.16)$$

แทนค่า $\Delta V_d = V_{sd} - V_{cond}$ และ $\Delta V_q = V_{sq} - V_{conq}$ ในสมการที่ 3.15 และ 3.16 จะได้

$$L \frac{di_{sd}}{dt} = V_{sd} - V_{cond} - Ri_{sd} + L\omega i_{sq} \quad (3.17)$$

$$L \frac{di_{sq}}{dt} = V_{sq} - V_{conq} - Ri_{sq} - L\omega i_{sd} \quad (3.18)$$

จัดรูปสมการที่ 3.17 และ 3.18 ใหม่จะได้

$$V_{cond} = -L \frac{di_{sd}}{dt} - Ri_{sd} + L\omega i_{sq} + V_{sd} \quad (3.19)$$

$$V_{conq} = -L \frac{di_{sq}}{dt} - Ri_{sq} - L\omega i_{sd} + V_{sq} \quad (3.20)$$

ให้ $V_{so} = V_m \cos \omega t$ จะได้ $V_{sb} = V_m \sin \omega t$ 並將ให้อยู่ในแกน d และ q

$$V_{sd} = V_m \quad \text{และ} \quad V_{sq} = 0 \quad (3.21)$$

แทนสมการที่ 3.21 ลงในสมการที่ 3.19 และ 3.20 จะได้

$$V_{cond} = -L \frac{di_{sd}}{dt} - Ri_{sd} + L\omega i_{sq} + V_m \quad (3.22)$$

$$V_{conq} = -L \frac{di_{sq}}{dt} - Ri_{sq} - L\omega i_{sd} \quad (3.23)$$

กำลังไฟฟ้า P_{con} ที่เกิดขึ้นที่วงจรแปรผัน ที่อยู่ในแกน d และ q คือ

$$P_{con} = \frac{i_{sd}V_{sd}}{2} \quad (3.24)$$

กระแส I_{con} , I_{cap} และ V_{dc} หาได้จาก

$$I_{con} = \frac{P_{con}}{V_{dc}} = \frac{i_{sd}V_{sd}}{2V_{dc}} \quad (3.25)$$

$$I_{cap} = I_{con} - I_m \quad (3.26)$$

$$V_{dc} = \frac{1}{C} \int I_{cap} dt \quad (3.27)$$

แปลงมาป้าชสมการที่ 3.22, 3.23, 3.25, 3.26 และ 3.27 ให้อยู่ในรูป s – domain จะได้

$$V_{cond} = -i_{sd}(Ls + R) + \omega L i_{sq} + V_m \quad (3.28)$$

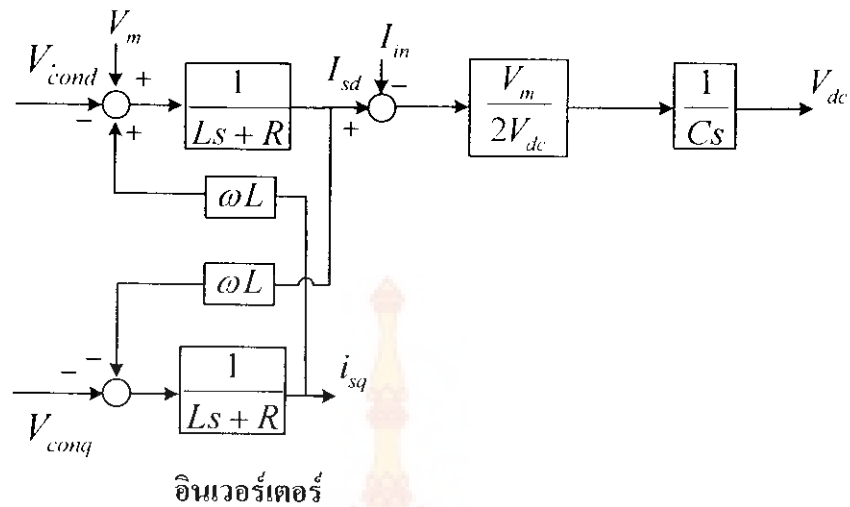
$$V_{conq} = -i_{sd}(Ls + R) - \omega L i_{sd} \quad (3.29)$$

$$I_{con} = \frac{i_{sd}V_{sd}}{2V_{dc}} = \frac{i_{sd}V_m}{2V_{dc}} \quad (3.30)$$

$$I_{cap} = I_m - I_{con} \quad (3.31)$$

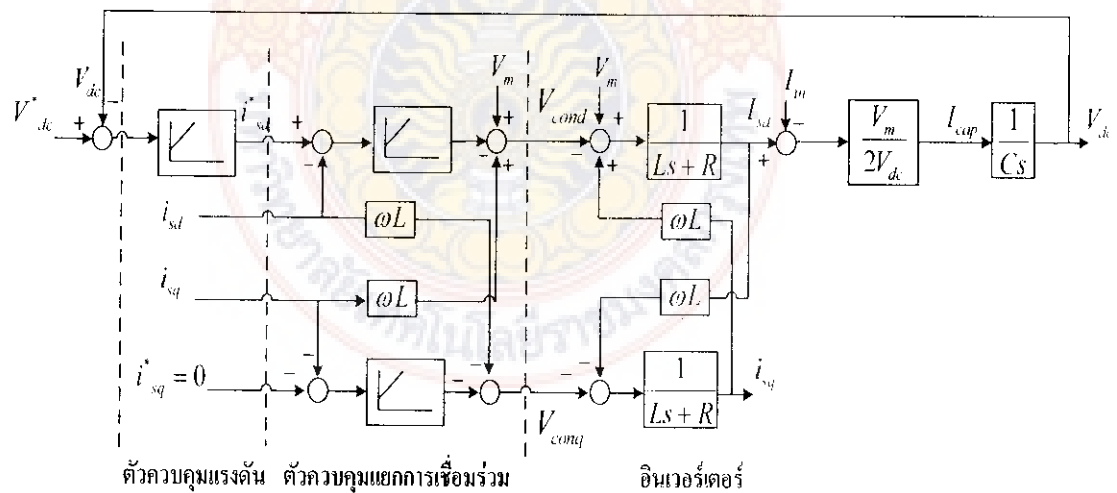
$$V_{dc} = \frac{1}{sC} \int I_{cap} dt \quad (3.32)$$

จากนั้นนำสมการที่ 3.28 – 3.32 มาสร้างบล็อกไดอะแกรมของอินเวอร์เตอร์ที่อยู่ในระบบแกนหมุนด้วยความเร็วซิงโครนัส ตั้งแสดงในภาพที่ 3.2 ซึ่งจากการจะเห็นได้ว่ามีแรงดันเชื่อมร่วมระหว่าง V_{cond} และ V_{conq} ทำให้ไม่สามารถควบคุมระบบอินเวอร์เตอร์ได้อย่างอิสระ



ภาพที่ 3.2 แบบจำลองทางคณิตศาสตร์ของอินเวอร์เตอร์

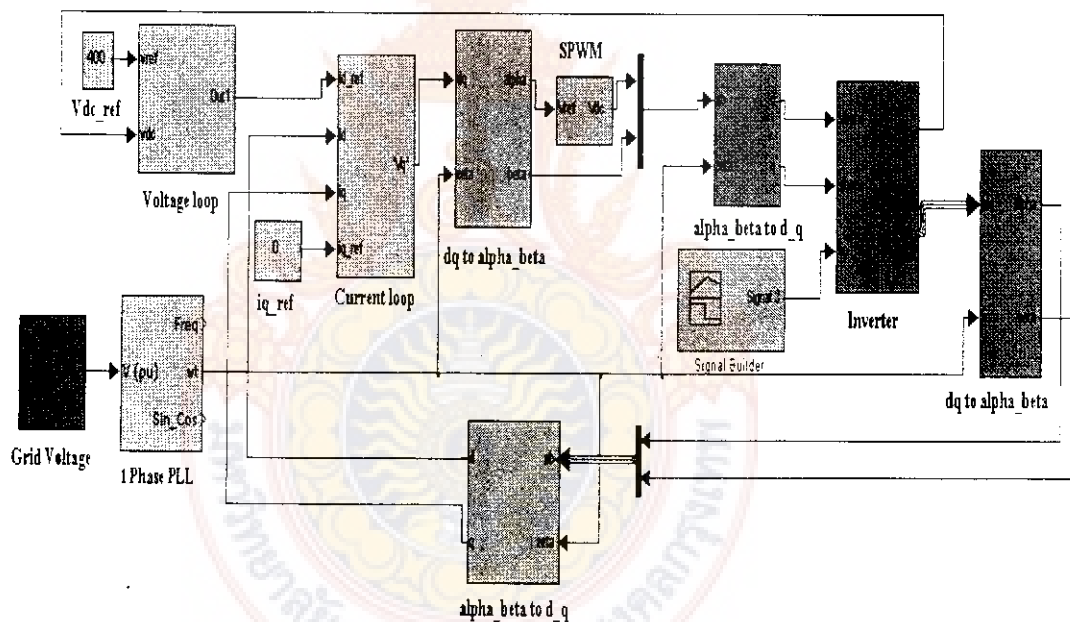
จากบล็อกໄดอะแกรมภาพที่ 3.2 จะเห็นได้ว่ามีแรงดัน $\omega L i_{sd}$ และ $\omega L i_{sq}$ เชื่อมร่วมระหว่างแรงดัน V_{cond} และ V_{conq} ทำให้ไม่สามารถออกแบบด้วยควบคุมแรงดันตีซีบส์ได้อย่างอิสระ เพื่อให้การควบคุมแรงดันตีซีบส์ได้อย่างอิสระ จะต้องออกแบบด้วยควบคุมใหม่ โดยการกำจัด แรงดันเชื่อมร่วมระหว่างแรงดัน V_{cond} และ V_{conq} โดยการจ่าย $\omega L i_{sd}$ และ $\omega L i_{sq}$ ทำให้สามารถออกแบบด้วยควบคุมแรงดันตีซีบส์ได้อย่างอิสระดังแสดงภาพที่ 3.3



ภาพที่ 3.3 การควบคุมอินเวอร์เตอร์โดยใช้การควบคุมแบบพิถีพิถัน

จากภาพที่ 3.3 เป็นการควบคุมแรงดันดีซีบัสให้คงที่ โดยจากบล็อกไดอะแกรมสามารถควบคุมแรงดันดีซีบัสได้อย่างอิสระ ซึ่งในส่วนของแรงดัน V_{cond} และ V_{conq} สามารถควบคุมได้จากการแสส่องส่วนด้วยกันคือกระแส i_{sd} และ i_{sq} โดยกระแสจะทำการควบคุมแบบพีไอ ในการควบคุมแรงดันดีซีบัสกระแส i_{sq} จะไม่มีผลต่อการสร้างแรงดันดีซีบัส จึงกำหนดให้เป็นศูนย์ และกระแสในส่วนที่สองคือ i_{sd} ซึ่งจะมีผลต่อการสร้างแรงดันดีซีบัส คั่นน้ำการควบคุมแรงดันดีซีบัสจึงต้องควบคุมที่กระแส i_{sd} โดยใช้การควบคุมแบบพีไอ

จากสมการทางคณิตศาสตร์ของวงจรภาคกำลังของอินเวอร์เตอร์สามารถเขียนเป็นบล็อกไดอะแกรมได้ดังภาพที่ 3.4 ซึ่งจะเป็นบล็อกไดอะแกรมของอินเวอร์เตอร์ที่อยู่ในระบบแกนหมุนโดยเราจะนำบล็อกไดอะแกรมดังกล่าวในภาพที่ 3.2 และ 3.3 ไปสร้างแบบจำลองในโปรแกรม Matlab/Simulink



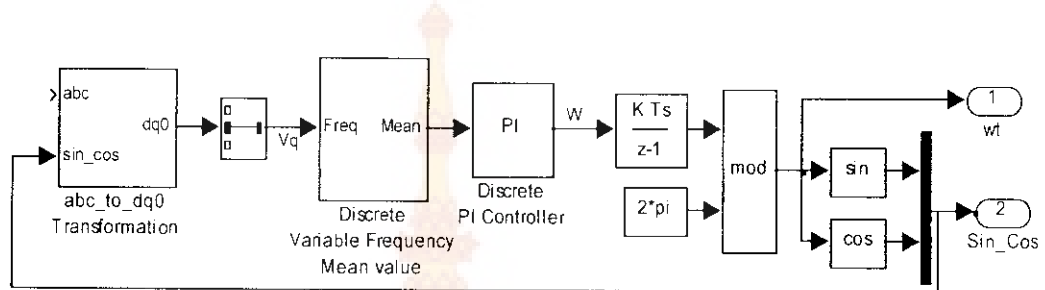
ภาพที่ 3.4 แบบจำลองที่สร้างขึ้นในโปรแกรม Matlab/Simulink

3.1 องค์ประกอบของแบบจำลอง Matlab/Simulink

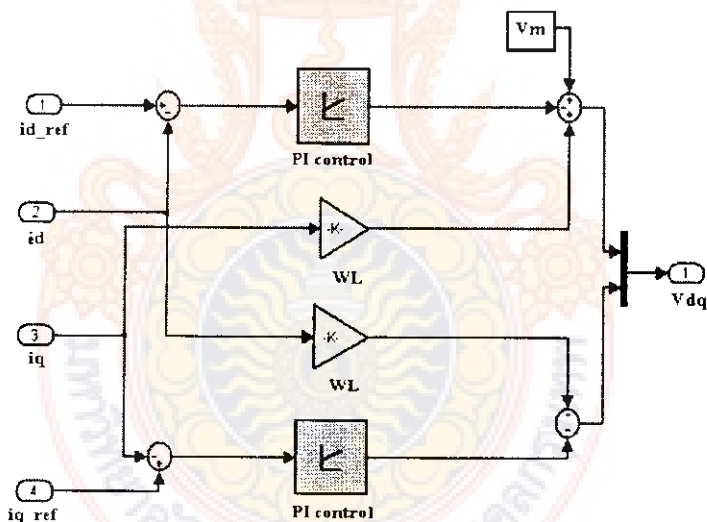
3.1.1 ระบบควบคุม จากบล็อกไดอะแกรมในภาพที่ 2.13 ส่วนที่อยู่ในการอ่าน Digital signal controller ซึ่งจะประกอบไปด้วยบล็อก “Voltage loop” และ “Current loop” ซึ่งจะทำหน้าที่

ควบคุมกระแสและแรงดันของอินเวอร์เตอร์ โดยจะสร้างสัญญาณ PWM แบบ SPWM เพื่อควบคุมการทำงานของอินเวอร์เตอร์ และจะมีตัวแปลงแกนที่ทำหน้าที่ในการแปลงแกน

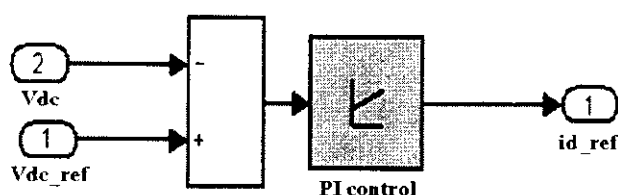
โดยบล็อก “alpha,beta / d,q ” ซึ่งจะทำหน้าที่แปลงแกนหมุนค่วยความเร็วซึ่งโครงสร้างเป็นอ้างอิงอยู่กับที่และบล็อกเฟสล็อกลูป (PLL) ทำหน้าที่หาข้อมูลของการไฟฟ้าของระบบ艰难่ายเพื่อนำไปใช้ในการแปลงแกน โดยมีโครงสร้างของแต่ละบล็อกดังต่อไปนี้



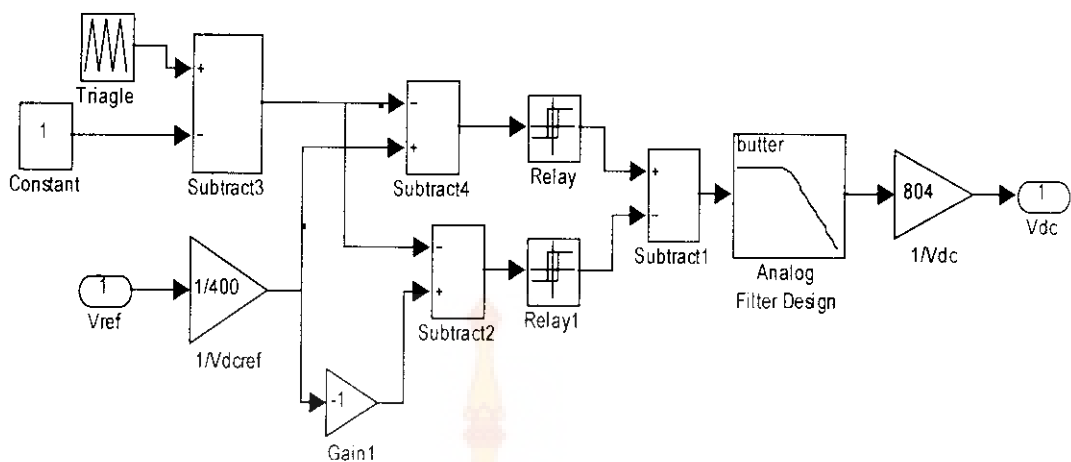
ภาพที่ 3.5 แบบจำลองของบล็อก PLL



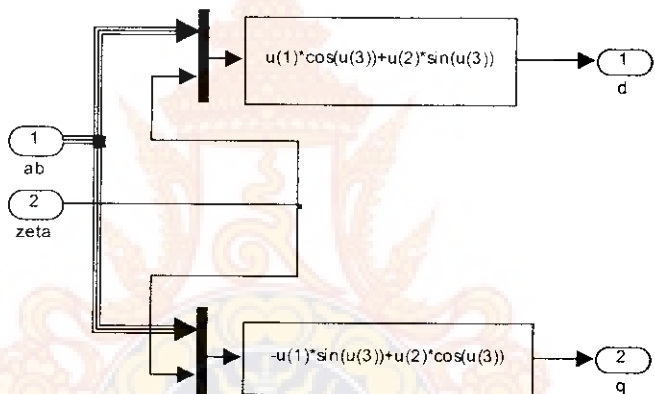
ภาพที่ 3.6 บล็อกไอดีอะแกรมของ Current Loop



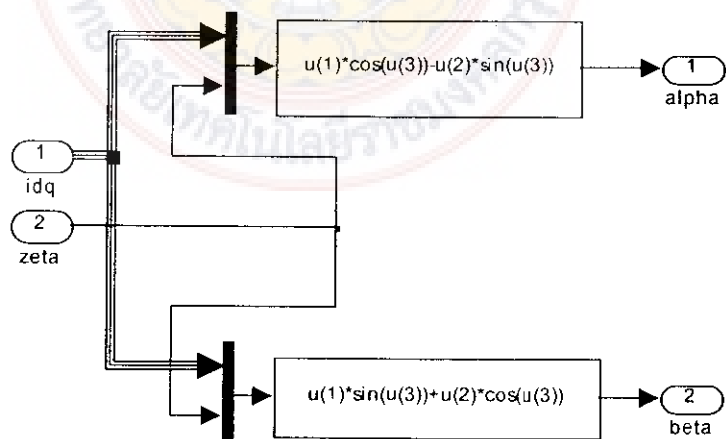
ภาพที่ 3.7 บล็อกไอดีอะแกรมของ Voltage Loop



ภาพที่ 3.8 บล็อกไอดิจัลограмของ SPWM

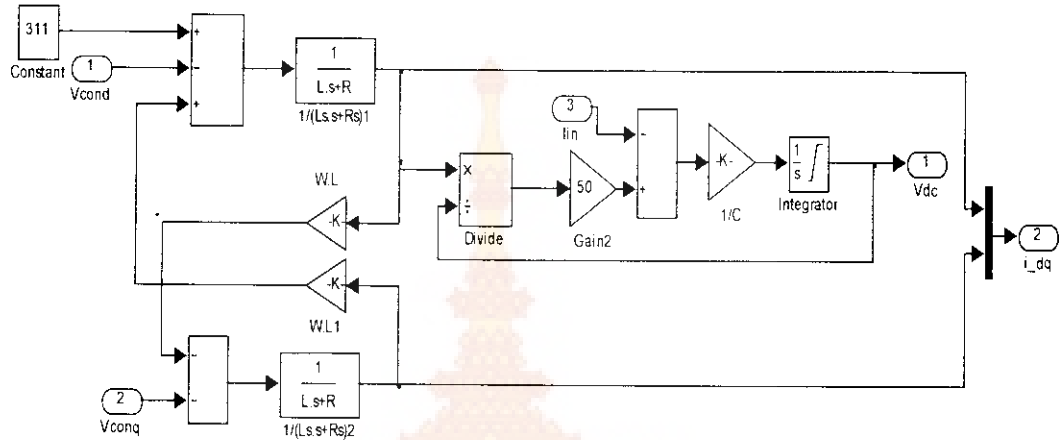


ภาพที่ 3.9 บล็อกไอดิจัลограмของ alpha-beta to dq

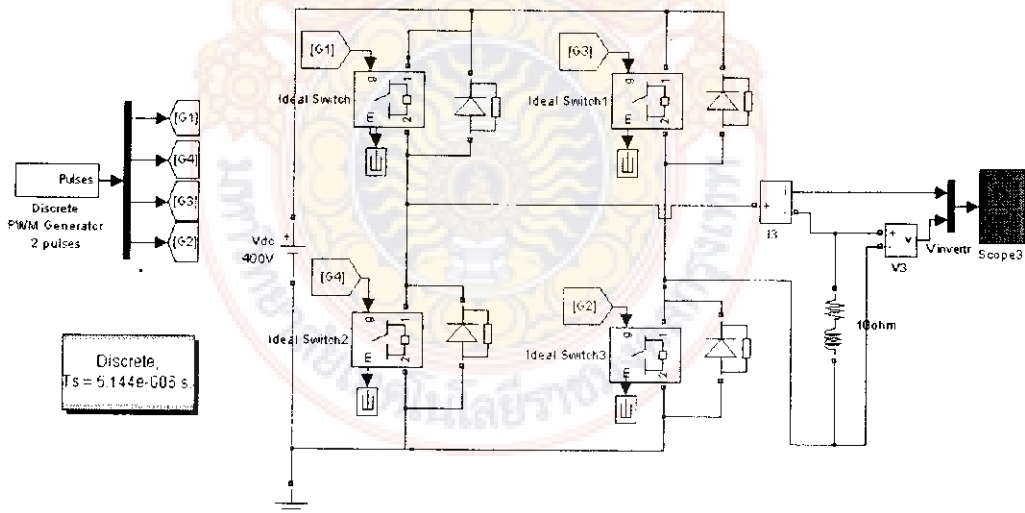


ภาพที่ 3.10 บล็อกไอดิจัลограмของ dq to alpha-beta

3.1.2 แบบจำลองอินเวอร์เตอร์ ในส่วนนี้จะเป็นบล็อกไดอะแกรมที่จำลองคุณลักษณะของอินเวอร์เตอร์ ซึ่งควบคุมโดยสัญญาณ PWM ที่มาจากระบบควบคุม โดยจะต้องมีส่วนแปลงแกนเข้ามาเนื่องจากสัญญาณ PWM อยู่ในแกนอ้างอิงอยู่กับที่จึงต้องแปลงให้อยู่ในแกนหมุน โดยมีโครงสร้างของแบบจำลองดังภาพที่ 3.11



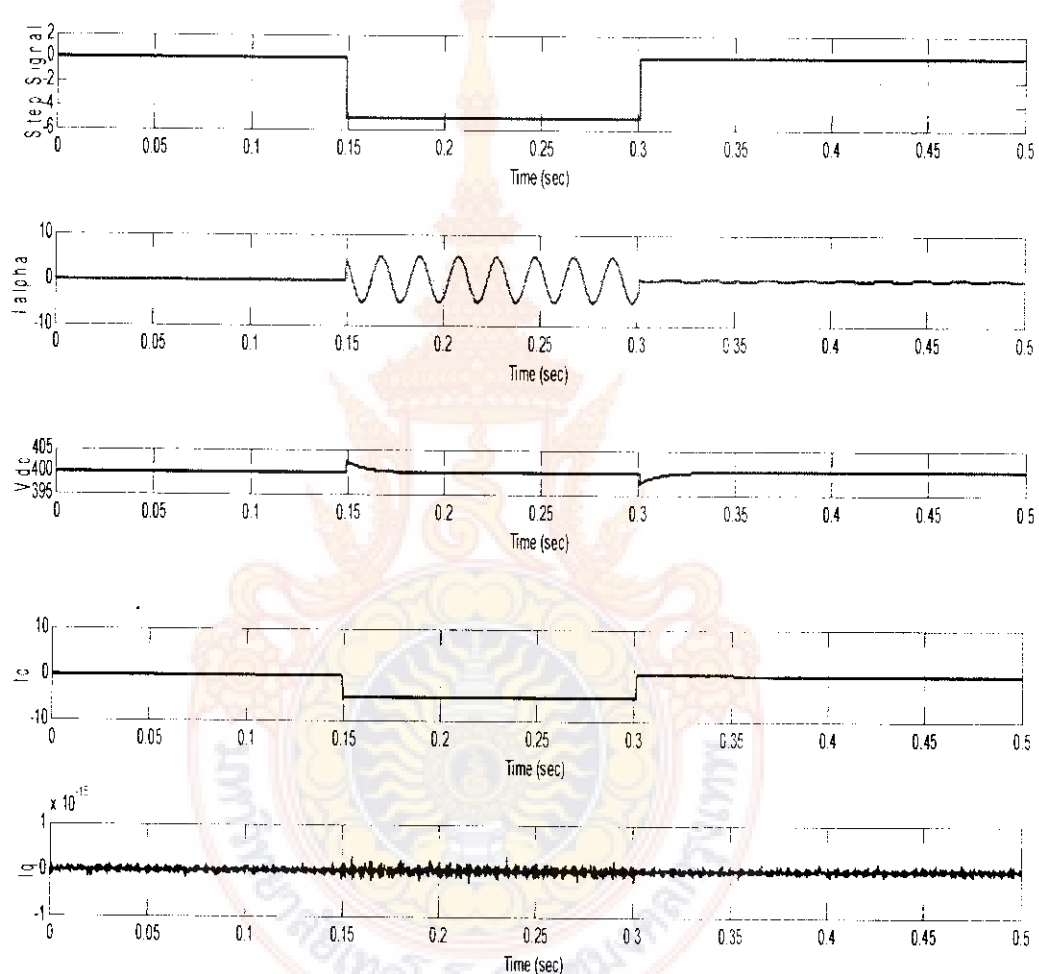
ภาพที่ 3.11 แบบจำลองของบล็อก Inverter



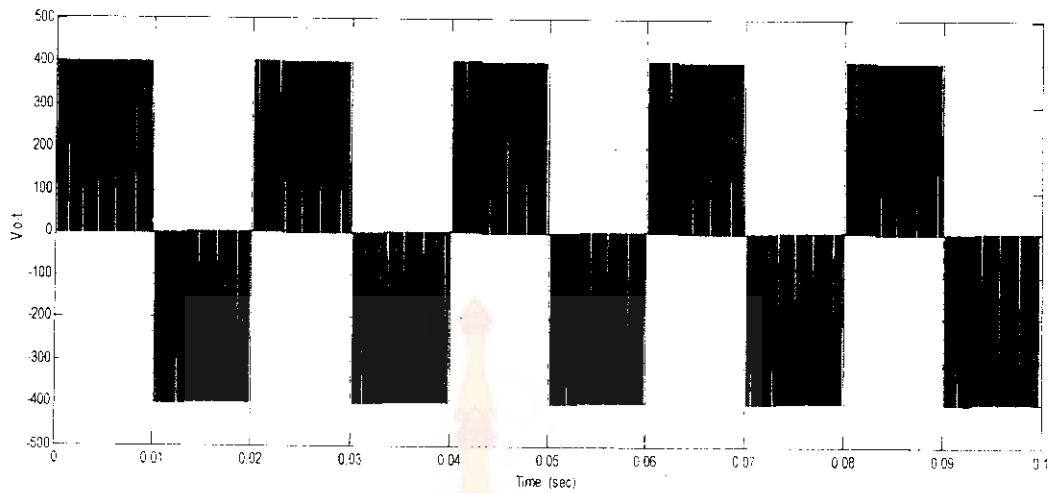
ภาพที่ 3.12 ระบบจำลองภาคกำลังอินเวอร์เตอร์ เมื่อสวิตช์แบบบยนิโพลาร์

3.2 ผลจำลองการทำงานของอินเวอร์เตอร์หนึ่งเฟส

จากผลการจำลองหาผลตอบสนองด้วยสัญญาณขั้นบันได จะพบว่าแรงดันดีซีเกิดโดย เอเวอร์ชูทเพียงเล็กน้อย ทั้งในสภาวะการเพิ่มขึ้นและลดแรงดัน และถ้าสัญญาโนินพุดมีการเปลี่ยนแปลงกำลังด้านอินพุต ระบบควบคุมสามารถควบคุมได้ดีจนแบบจะไม่เกิดโอลิเวอร์ชูทที่ดีซึ่งสละเลย จากผลการจำลองแสดงให้เห็นว่าระบบควบคุมแรงดันดีซีบัสได้ มีผลตอบสนองด้วย สัญญาณรบกวนได้อย่างรวดเร็ว



ภาพที่ 3.13 ผลตอบสนองเมื่อกำลังด้านอินพุตมีการเปลี่ยนแปลงแบบขั้น

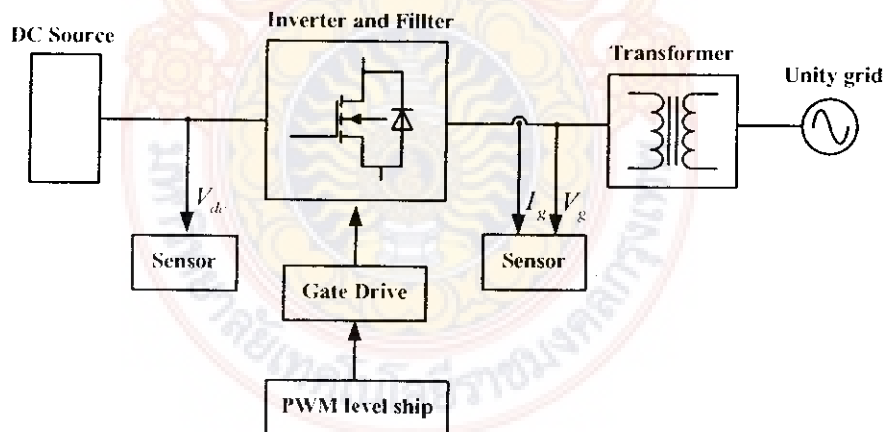


ภาพที่ 3.14 ผลจำลองวงจรกำลังของอินเวอร์เตอร์ เมื่อสิ่ดชั้งแบบบูนิโเพลาร์

3.3 การออกแบบและการสร้างต้านอาร์ดแวร์

3.3.1 การออกแบบภาคกำลัง

ในส่วนของอาร์ดแวร์ จะประกอบไปด้วยวงจรต่างๆ ดังภาพที่ 3.15 ได้ລວງຈະມີສັກໜະນະກາຮກທຳກຳດັ່ງນີ້



ภาพที่ 3.15 โครงสร้างของชุดอินเวอร์เตอร์แบบต่อเข้าระบบจำหน่าย

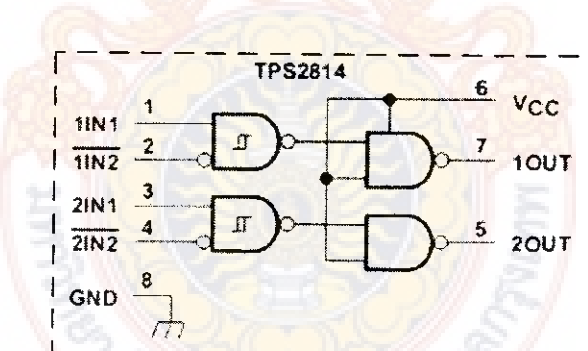
1. วงจรแปลงระดับแรงดันไฟฟ้าจาก 3.3 V ไปเป็น 5 V
2. วงจรขับเกต เป็นวงจรที่ใช้แยกการวัดระหว่างชุดควบคุมและชุดกำลัง เพื่อป้องกันหากมีการลัตัวของชุดกำลังก็จะไม่ทำให้ชุดควบคุมเสียหาย โดยใช้อิอยซ์เบอร์ HCPL-3180 ซึ่งมีคุณสมบัติเป็นดังข้อๆ

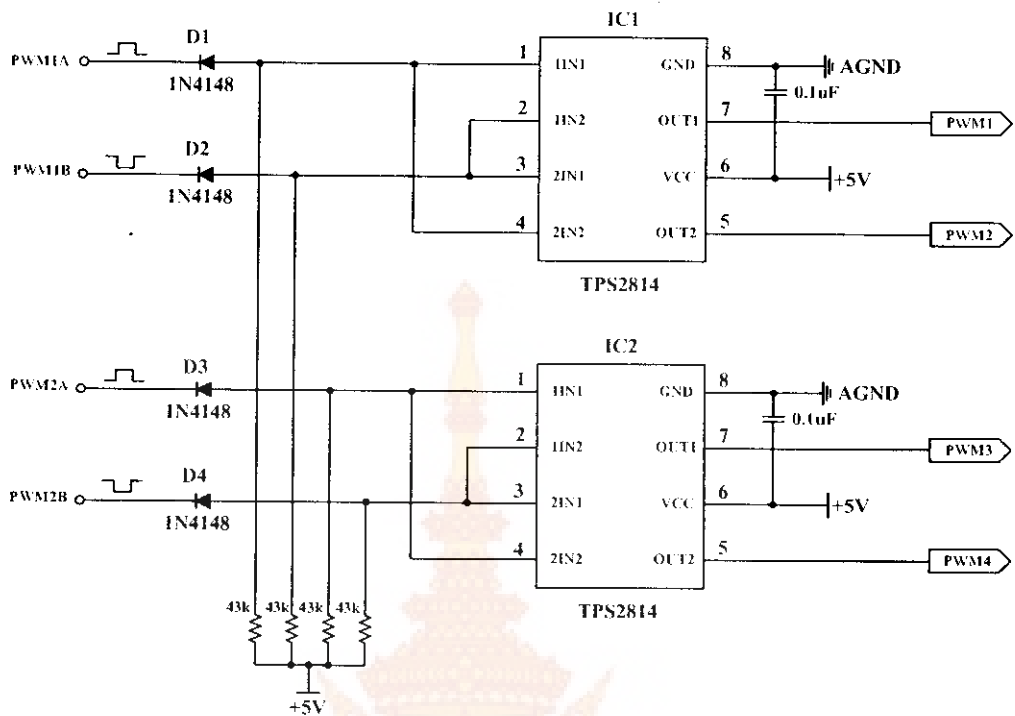
 3. วงจรอารวัตกระແและแรงดัน
 4. วงจรปรับระดับสัญญาณ

3.3.2 วงจรยกระดับแรงดันไฟฟ้าจาก 3 V ไปเป็น 5 V

สัญญาณ PWM ที่สร้างขึ้นจาก DSP นั้นจะมีแรงดันไฟฟ้าในช่วง 0 – 3 V ซึ่งสัญญาณที่ได้นั้นไม่สามารถขับมอเตอร์ไฟจากวงจรขับเกตได้โดยตรง ดังนั้นในวงจรนี้จะใช้อิอยซ์เบอร์ TPS2814 ทำหน้าที่รับสัญญาณ PWM จาก DSP เพื่อยกระดับแรงดันไฟฟ้าในช่วง 0 - 3V ไปเป็น 5V ก่อนส่งไปยังวงจรขับเกต และเพื่อเพิ่มความปลอดให้แน่ใจว่าสัญญาณ PWM ในกิ่งเดียวกันต้องไม่ทำงานพร้อมกัน ใน TPS2814 ยังมีฟังก์ชันล็อกสัญญาณ PWM ในกิ่งเดียวกันไม่ให้ทำงานพร้อมกันเพื่อไม่ให้เกิดความเสียหายของวงจรกำลัง ดังภาพที่ 3.16

ถ้าสัญญาณ PWM ของอินเวอร์เตอร์ในกิ่งเดียวทั้งสองสัญญาณ on ในเวลาเดียวกันสัญญาณเอาท์พุตจะมีค่าเป็นศูนย์ และถ้าสัญญาณ PWM ของอินเวอร์เตอร์ในกิ่งเดียวทั้งสองสัญญาณมีสถานะแตกต่างกัน (high & low or low & high) หรือมีสถานะเป็นศูนย์ทั้งสองสัญญาณ สัญญาณเอาท์พุตจะเท่ากับสัญญาณอินพุต ดังภาพที่ 3.16

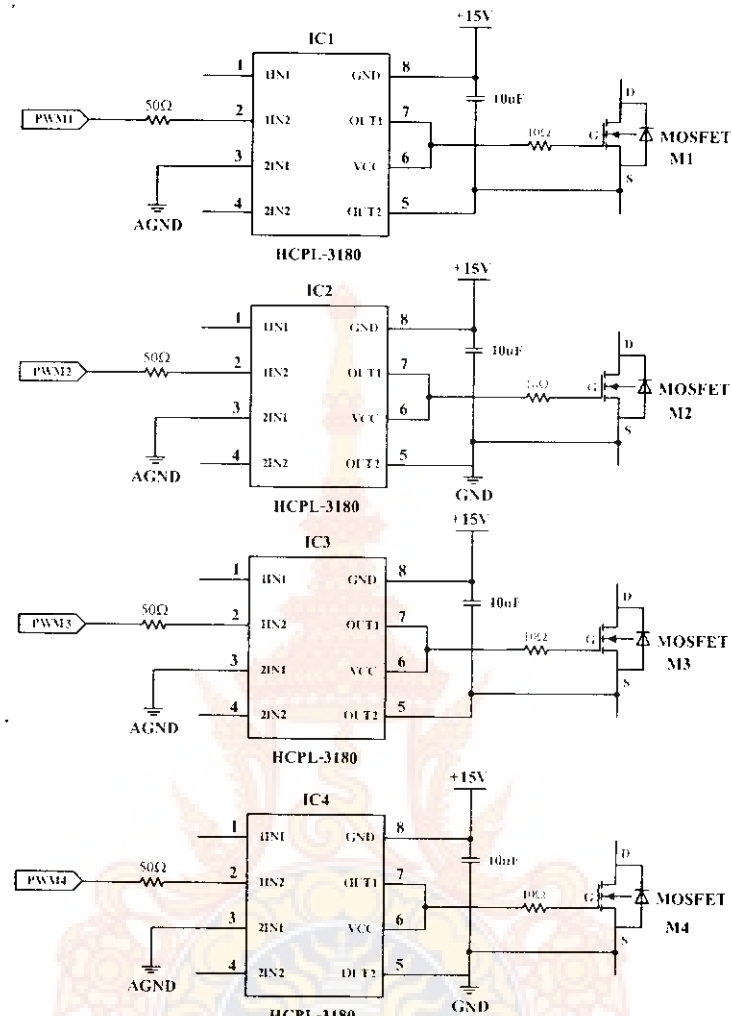




ภาพที่ 3.16 วงจรยกระดับแรงดันไฟฟ้าจาก 3V ไปเป็น 5V

3.3.3 วงจรขั้บเกด

เป็นวงจรที่ป้องกันความเสียหายของสัญญาณ PWM ของชุดควบคุมและชุดขับเกต ซึ่งเป็นการป้องกันไม่ให้เกิดความเสียหายแก่วงจร หากเกิดการผิดพลาดจากการร้อนนีองมาจากการลัดวงจรหรือจากการทำงานผิดพลาดอื่นๆ เช่น หากวงจรทางด้านควบคุมเกิดการลัดวงจรจะเสียหายเฉพาะทางด้านควบคุมแต่จะไม่ส่งผลกระทบให้วงจรขั้บเกดเสียหายด้วยซึ่งในวงจรแยกกราวด์ของสัญญาณขั้บเกด ต้องสามารถทำงานที่ความถี่สูงๆ ได้ เพราะสัญญาณ PWM ที่ส่งมาจากวงจรควบคุมมีความถี่สูงประมาณ 10kHz ดังนั้นจึงเลือกใช้ไอซ์แยกกราวด์เบอร์ HCPL3180 เป็นตัวแยกกราวด์ในการส่งสัญญาณ และสามารถใช้กับแรงดันไฟเลี้ยง +15V ดังภาพที่ 3.17



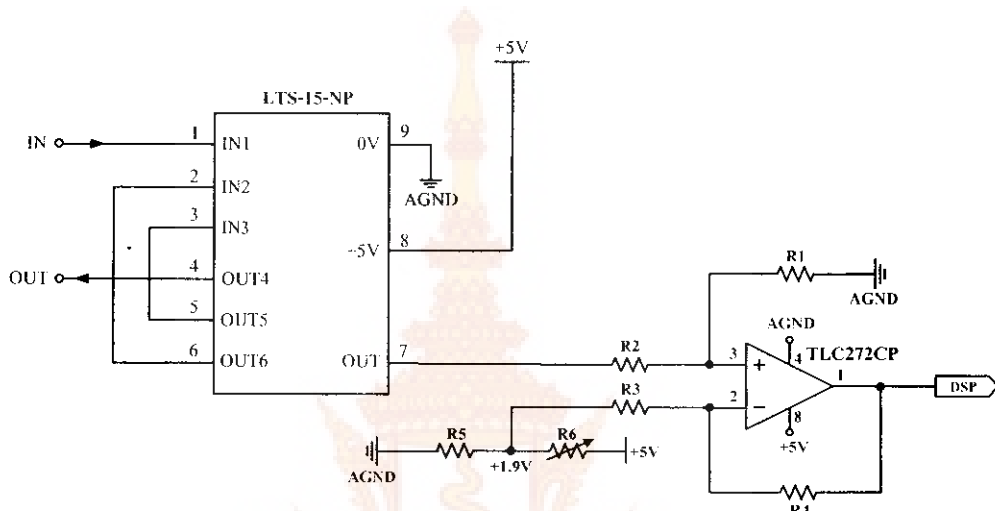
ภาพที่ 3.17 วงจรขับゲต

3.3.4 วงจรตรวจวัดกระแส

ในภาพที่ 3.18 จะแสดงวงจรตรวจวัดกระแสเพื่อนำกระแสเอาท์พุตกลับมาเปรียบเทียบกับกระแสอ้างอิงที่สร้างขึ้น จะใช้ Current Transducers (LEM) รุ่น LTS-15-NP ตรวจจับกระแสก่อนส่งค่าไปที่ DSP หลักการของอุปกรณ์ตรวจจับกระแสก่อนจะแปลงค่ากระแสให้เป็นแรงดัน โดยแรงดันที่ออกมายจาก LTS-15-NP ที่ขา 7 นั้นจะมีค่าเป็นไปตามสมการที่ 3.33

$$V_{out} = \frac{I_p \times 0.6}{I_{pn}} + V_{ref} \quad (3.33)$$

ซึ่งในงานวิจัยนี้จะทำการต่อให้วัดกระแสได้สูงสุดเท่ากับ [-5; 5 A] ที่ค่ากระแส 0 A จะมีค่าแรงดันดีซีอฟเซ็ปเท่ากับ 2.5V ซึ่งจะได้แรงดันเอาท์พุตอยู่ระหว่าง [1.9;3.1V] ในดัวประมวลผลสัญญาณดิจิตอลจะมีช่วงที่จะอ่านค่าได้ถูกต้อง ดังนั้นจึงใช้วงจรอปแอมป์เบอร์ TLC272CP ทำหน้าที่ปรับระดับสัญญาณให้อยู่ในช่วงที่อ่านค่าได้ถูกต้อง โดยมีค่าอยู่ที่ระหว่าง 0-3V ดังภาพที่ 3.18

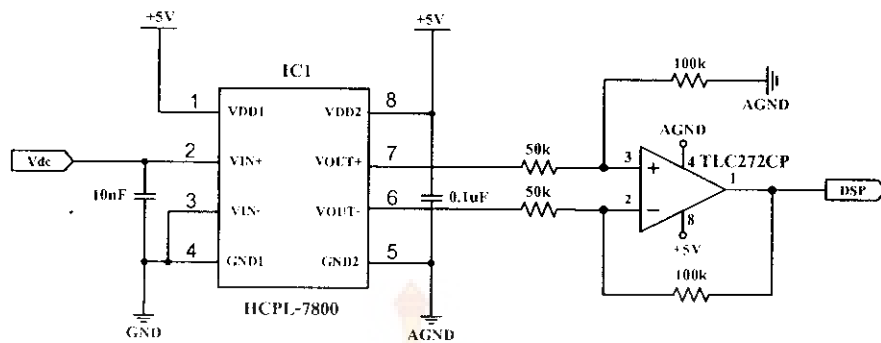


ภาพที่ 3.18 อุปกรณ์และวงจรวัดกระแส

3.3.4 วงจรตรวจวัดแรงดัน

3.3.4.1 วงจรตรวจวัดแรงดันไฟฟ้ากระแสตรง

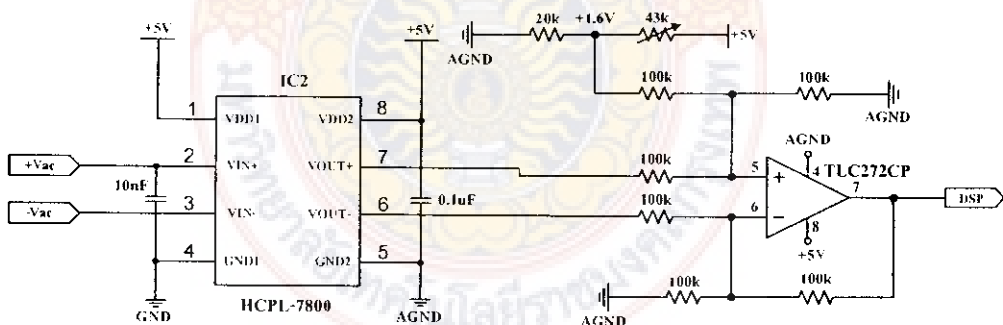
จากภาพที่ 3.19 เป็นวงจรที่ออกแบบขึ้นมาเพื่อตรวจจับแรงดันด้านเข้าของอินเวอร์เตอร์เพื่อกำกับมาคำนวณหาค่ากระแสโดยอ้างอิง จากรหัสที่ใช้อิซีเบอร์ HCPL7800 ซึ่งเป็นอปแอมป์ที่มีคุณสมบัติแยกกันทางไฟฟาระหว่างด้านเข้ากับด้านออก เพื่อตรวจจับแรงดันทางด้านเข้าซึ่งต่อวงจรแบ่งแรงดันเพื่อลดขนาดของแรงดันลงเข้ามา ซึ่งไอซี HCPL7800 จะอ่านค่าแรงดันอยู่ในช่วง $\pm 200mV$ และทำการปรับแต่งสัญญาณด้วยวงจรขยายเพื่อให้ได้ค่าตามที่กำหนด



ภาพที่ 3.19 วงจรวัดแรงดันไฟฟ้ากระแสตรง

3.3.4.2 วงจรตรวจวัดแรงดันไฟฟ้ากระแสสลับ

จากภาพที่ 3.20 เป็นวงจรที่ออกแบบขึ้นมาเพื่อตรวจจับแรงดันกริดเพื่อใช้ในการคำนวณหาค่ามุมเฟส จะทำการแบ่งแรงดันให้ต่ำลงในช่วง $\pm 200\text{mV}$ ซึ่งจะได้สัญญาณแรงดันເກົ່າທຸດອູ້ຢູ່ໃນช่วง $\pm 1.6\text{V}$ ເນັ້ນຈະມີສຳຄັນກຳລັງສັງເກດຕິໂລລຂອງ DSP ຈະມີຊັ່ງຂອງแรงดันທີ່ໃຊ້ສໍາຮັບອ່ານຄ່າສັງເກດຕິໂລລຂອງ ດັ່ງນັ້ນຈຶ່ງຕ້ອງມີວຽກຈະຍກະຕັບแรงดัน ເພື່ອປັບຄ່າแรงดันຂອງຕົວວັດສັງເກດຕິໂລລຂອງໃຫ້ຢູ້ໃນຊັ່ງທີ່ຕ້ວແລງສັງເກດຕິໂລລຂອງເປັນ ສັງເກດຕິໂລລສາມາດອ່ານຄ່າໄດ້ ໂດຍວຽກຈະຕັບแรงดันຈະສ່ວັງຈາກຕົວຢ່າຍສັງເກດຕິໂລລເບື້ອງ TLC272CP ຕັ້ງການ (Figure 3.20)

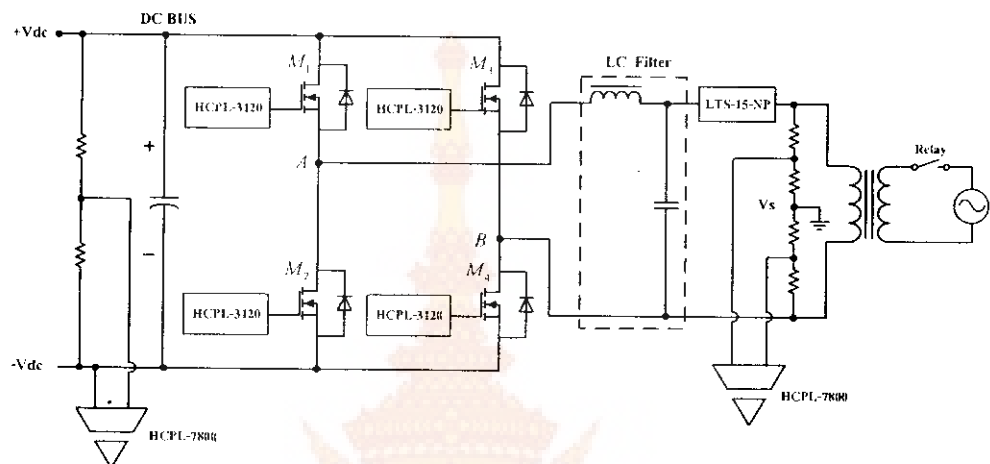


ภาพที่ 3.20 วงจรวัดแรงดันไฟฟ้ากระแสสลับ

3.3.5 วงจรกำลัง

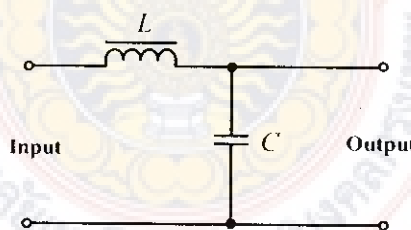
ໃນສ່ວນຂອງການກຳລັງນັ້ນໃໝ່ MOSFET ເບື້ອງ IRFP640 ຈຳນວນ 4 ຕັ້ງ ເປັນ ອຸປກຣນີສົວົງເຮົາ ທີ່ສາມາດກຳທັນแรงดันໄດ້ຖື່ງ 200V ແລະ ການກະແສໄດ້ 18A ທີ່ MOSFET ກົ່າ 4 ຕັ້ງ

จะถูกควบคุมจากสัญญาณขั้นเกตและในกίng เดียวกันจะไม่ให้ทำงานพร้อมกัน สำหรับวงจรกรองความถี่ที่ต่อระหว่างด้านออกของอินเวอร์เตอร์กับหม้อแปลงแรงดันเป็นวงจรแบบ LC ซึ่งหม้อแปลงแรงดันจะทำหน้าที่แยกได้ทางไฟฟ้าและยังคงตัวเร่งตันขึ้นเป็น 220V เพื่อเชื่อมต่อเข้ากับระบบจานวนของการไฟฟ้า ดังภาพที่ 3.21



ภาพที่ 3.21 อุปกรณ์ของวงจรภาคกำลัง

ไฟฟ้ากระแสสลับที่ได้หลังจากผ่านวงจรอินเวอร์เตอร์นั้น จะมีความถี่ที่สูงกว่า 50Hz ป่อนอยู่จึงต้องทำการกรองออกด้วย ซึ่งจะใช้วงจรกรองแบบ LC ดังภาพที่ 3.22



ภาพที่ 3.22 วงจรกรองความถี่ต่ำ

ในการออกแบบวงจรกรองความถี่ ขั้นตอนแรก คือการหาชนิดของการกรอง ความถี่ที่ต้องกรอง ความถี่ที่ต้องกรอง ขั้นตอนที่สอง คือการคำนวณและออกแบบค่าอิมพีเดนซ์จากแรงดันต่ำ (V_{min}) หารด้วยค่ากระแสสูงสุด (I_{max}) ในที่นี้คือค่าของ R_d ขั้นตอนที่สาม คือการคำนวณหา

ค่าความถี่คัทอฟ (f_c) ขั้นตอนที่สี่ คือสมการหาค่าของค่าของตัวเก็บประจุ (C) และตัวเหนี่ยวหนา (L) โดยจะมีวิธีการคำนวณหาค่า C และ L ได้จากสมการที่ (3.34) และ (3.35) ในการคำนวณหาค่าตัวเหนี่ยวหนาและตัวเก็บประจุ มีการคำนวณดังด่อไปนี้

$$\text{เมื่อ } C = \frac{1}{2\pi f_c R_d}$$

การคำนวณหาค่าตัวกรองแบบตัวเก็บประจุ (C -filter) ที่เหมาะสมให้กับวงจร

$$\text{เมื่อ } C = \frac{1}{2\pi f_c R_d} \quad (3.34)$$

แทนค่าลงในสมการที่ (3.2)

$$C = \frac{1}{2 \times \pi \times 250 \times 8.65}$$

$$\text{จะได้ } C = 74\mu F$$

$$\text{ดังนั้นเลือกค่า } C = 74\mu F$$

เนื่องจากตัวเก็บประจุที่มีขายตามห้องตลาดไม่มีค่า $74\mu F$ จึงเลือกใช้ค่า C ที่มีค่าใกล้เคียง มาใช้ในวงจร LC filter แทน

การคำนวณหาค่าตัวกรองตัวเหนี่ยวหนา (L -filter) ที่เหมาะสมให้กับวงจร

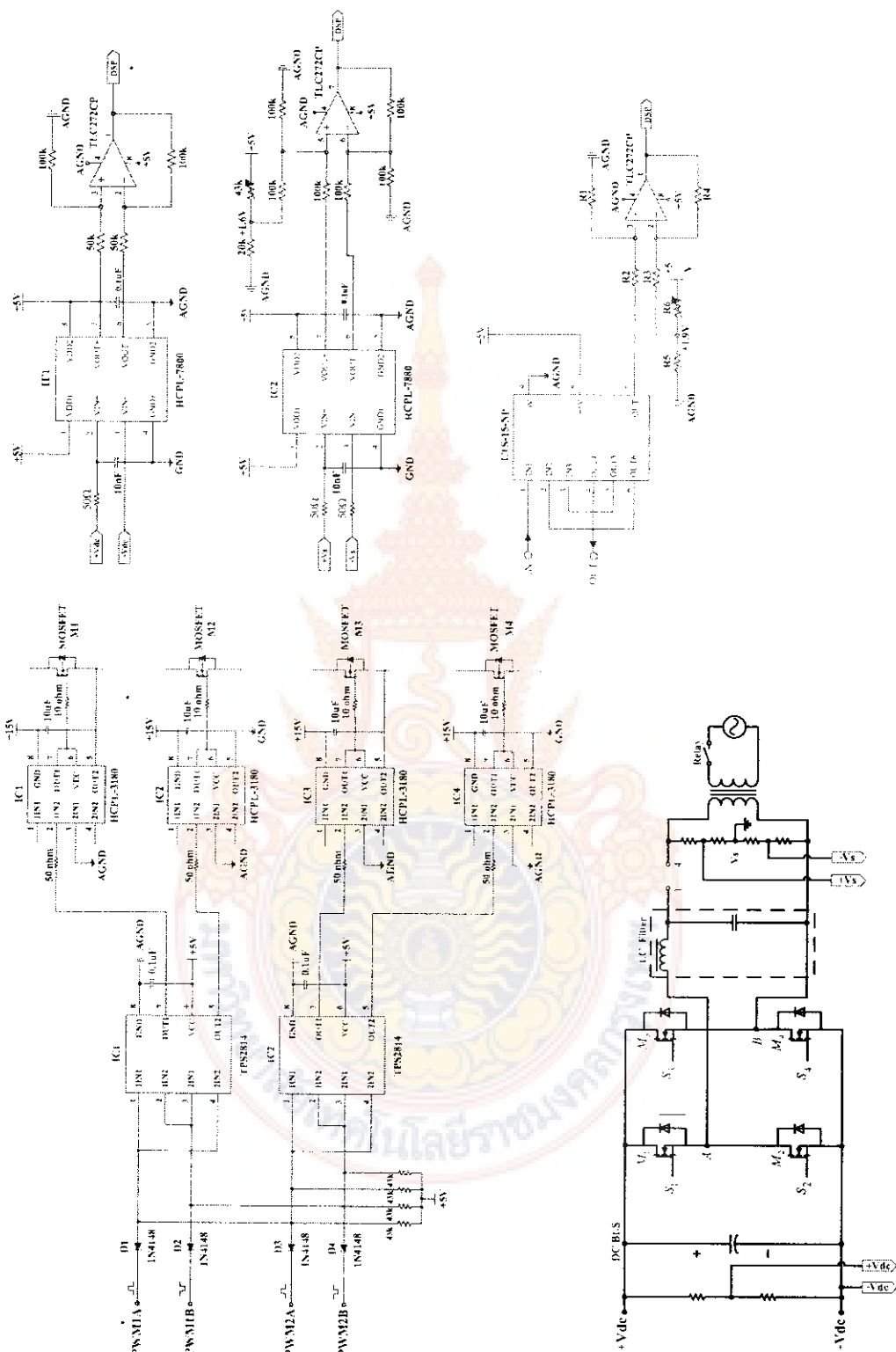
$$\text{เมื่อ } L = \frac{R_d}{2\pi f_c} \quad (3.35)$$

แทนค่าลงในสมการที่ (3.35)

$$L = \frac{8.65}{2 \times \pi \times 250}$$

$$\text{จะได้ } L = 5.5mH$$

$$\text{ดังนั้นเลือกค่า } L = 5.5mH$$

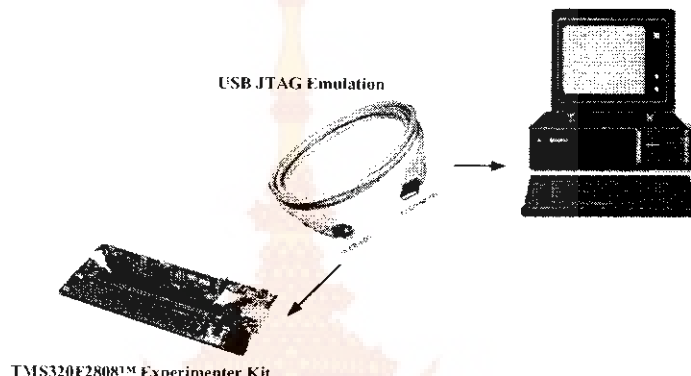


ภาพที่ 3.23 อุปกรณ์และวงจรทั้งหมดของการออกแบบด้านฮาร์ดแวร์

3.4 การใช้งาน Code Composer Studio 3.3 ร่วมกับ Matlab/Simulink

ปัจจุบันบริษัทเท็กซัสอินสติวเตอร์ได้พัฒนาเครื่องมือต่างๆ ที่สามารถใช้งานได้และมีความรวดเร็วในการติดต่อผ่านด้วยประมวลผลสัญญาณดิจิตอลซึ่งเป็นพื้นฐานในกระบวนการสร้างการแก้ปัญหาการวิเคราะห์การทดสอบต่างๆ ซึ่งโปรแกรม Code Composer studio 3.3 เป็นตัวกลางการเชื่อมต่อระหว่างด้วยประมวลผลและโปรแกรมควบคุม โดยมีวิธีในการใช้งานดังนี้

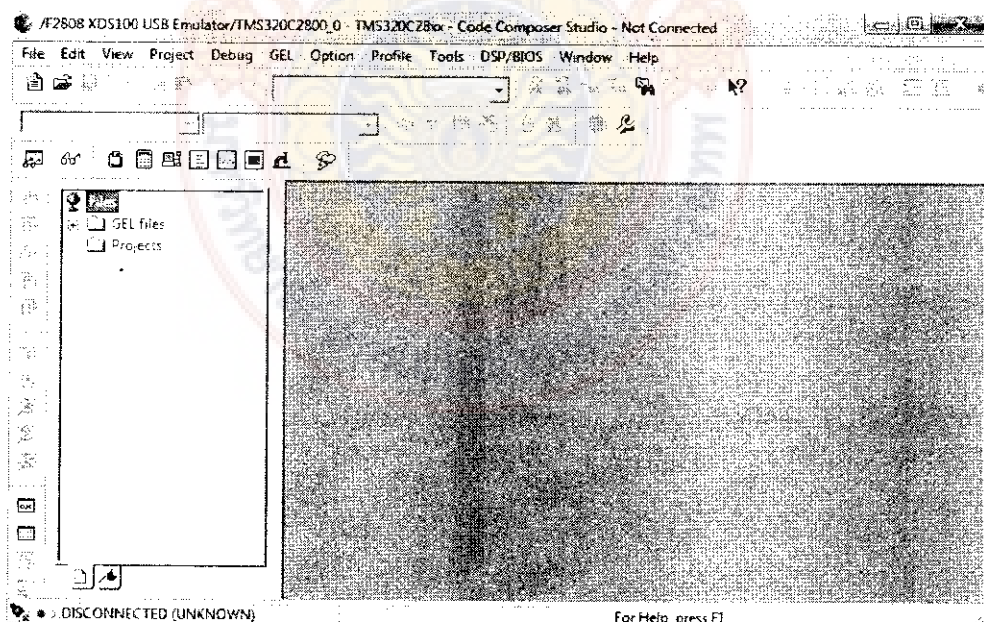
3.4.1 ทำการเชื่อมต่อระหว่างคอมพิวเตอร์ส่วนบุคคลกับด้วยประมวลผลสัญญาณดิจิตอล



ภาพที่ 3.24 การเชื่อมต่อระหว่างคอมพิวเตอร์ส่วนบุคคลกับด้วยประมวลผลสัญญาณดิจิตอล

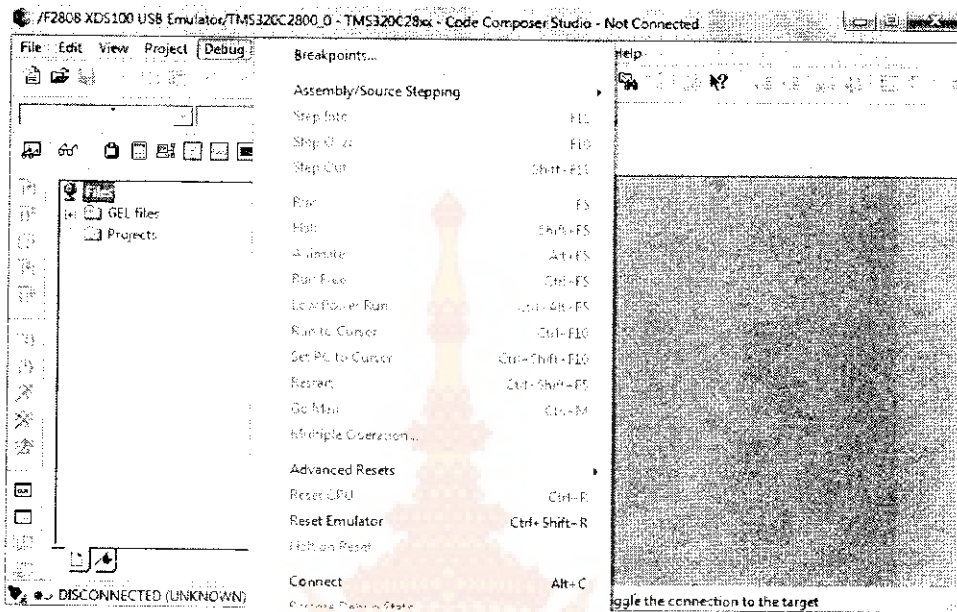
3.4.2 เมื่อเปิดโปรแกรม Code Composer Studio 3.3 ขึ้นมาโปรแกรมจะเป็นดังภาพที่

3.25



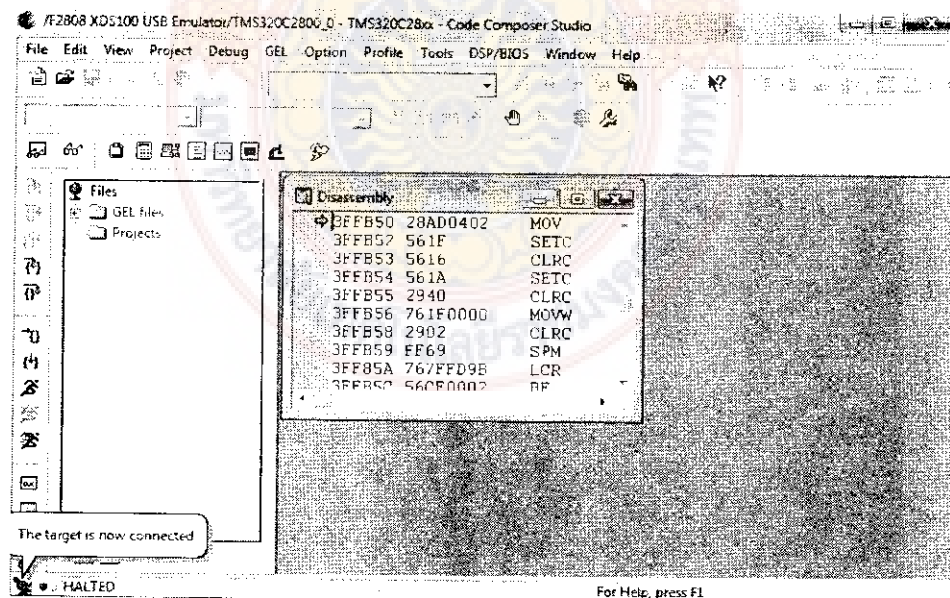
ภาพที่ 3.25 หน้าต่างของโปรแกรม Code Composer Studio 3.3

3.4.3 เข้าไปที่ Debug / connect ดังภาพที่ 3.26



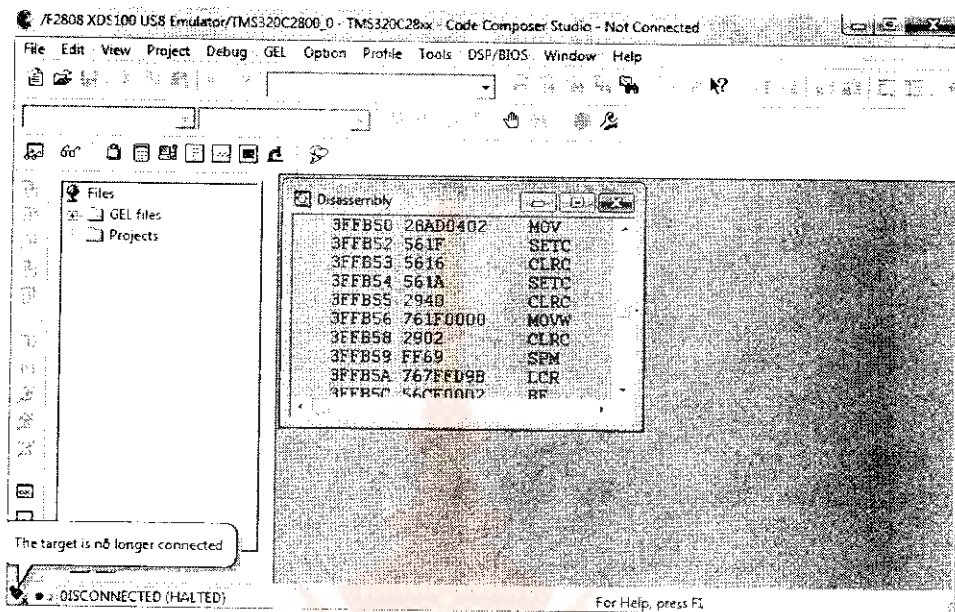
ภาพที่ 3.26 การเชื่อมต่อระหว่างโปรแกรม Code Composer Studio 3.3 กับบอร์ด DSP

3.4.4 ส่วนของโปรแกรมเมื่อทำการเชื่อมต่อกับ DSP



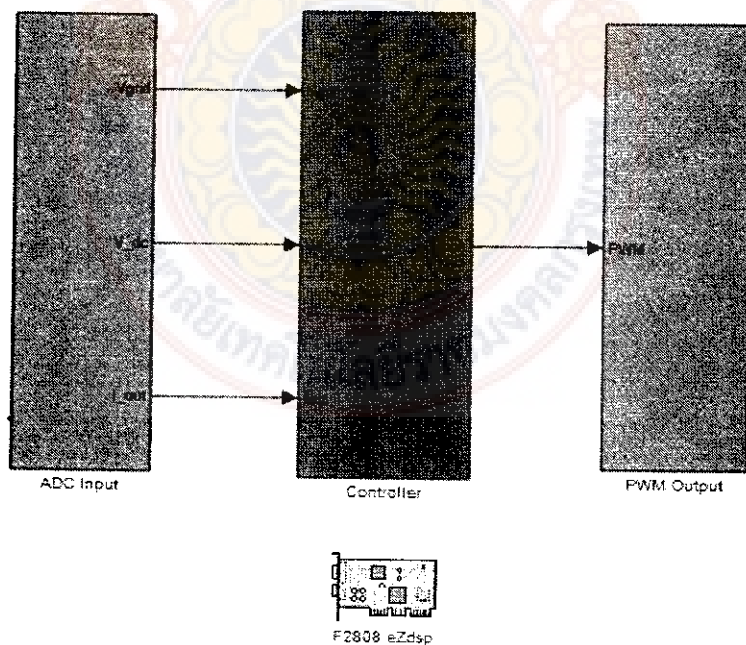
ภาพที่ 3.27 โปรแกรม Code Composer Studio 3.3 เมื่อเชื่อมต่อเรียบร้อย

3.4.5 เมื่อหยุดการใช้งานให้เข้าไปที่ debug / disconnect



ภาพที่ 3.28 โปรแกรม Code Composer Studio 3.3 เมื่อหยุดเชื่อมต่อ

3.5 โปรแกรมควบคุมแบบทันเวลาด้วยโปรแกรม Matlab/Simulink

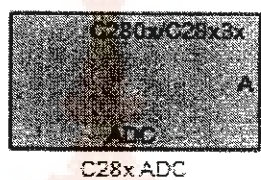


ภาพที่ 3.29 โปรแกรมควบคุมแบบทันเวลาด้วยโปรแกรม Matlab/Simulink

จากภาพที่ 3.29 แบบจำลองการทำงานจะประกอบด้วยบล็อกที่สำคัญและมีรายละเอียดดังต่อไปนี้

3.5.1 บล็อก C28x ADC

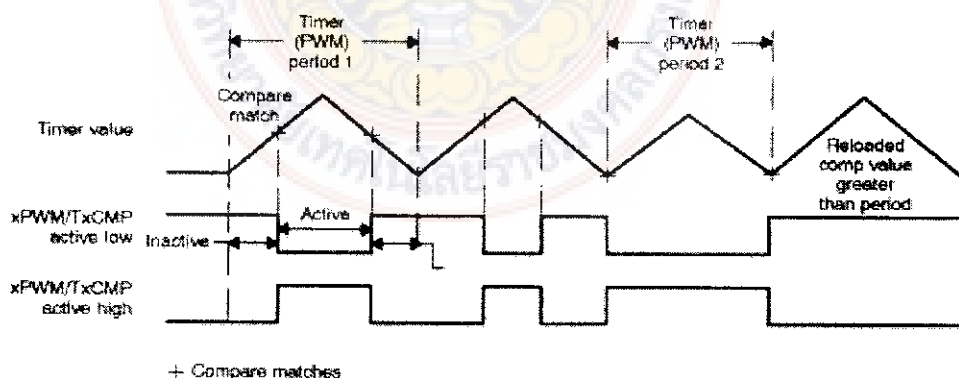
ADC เป็นตัวกำหนดเงื่อนไขการทำงานของโมดูล ADC เพื่อแปลงสัญญาณ analog เป็นสัญญาณดิจิตอลของขาที่เลือกให้เป็นสัญญาณด้านเข้าโดยที่สัญญาณด้านออกของบล็อก C28x ADC จะเป็นค่าสัญญาณดิจิตอลและเก็บค่าจากการแปลงไว้ใน Result register ของบอร์ด F2808 ค่าที่ผ่านการแปลงจะถูกส่งต่อไปยังตัวรับเอกสารพุด



ภาพที่ 3.30 บล็อก C28x ADC

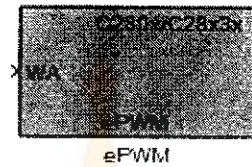
3.5.2 บล็อก C28x PWM

DSP TMS320F2808 ประกอบด้วยด้วยสร้างสัญญาณพีดับเบิลยูเอ็มหลายตัวเพื่อใช้สัญญาณที่แตกต่างกัน บล็อกนี้จะเป็นการเรียบทางเลือกที่จะดึงค่าโมดูล เพื่อสร้างสัญญาณตามที่ต้องการ พีดับบลิวูเอ็มทั้ง 12 สัญญาณ จะถูกแบ่งออกเป็น 6 โมดูล โดยแบ่งเป็นโมดูลละ 2 คู่ โดยนำความเวลาที่ได้จากโปรแกรมในส่วนของการคำนวณความเวลา มากำหนดเวลาในการสับสวิตซ์ของอุปกรณ์สวิตซ์ชิ่งแต่ละตัว โดยจะนำมาใช้ในการสร้างสัญญาณพีดับบลิวูเอ็มทั้ง 12 สัญญาณ ดังภาพที่ 3.31

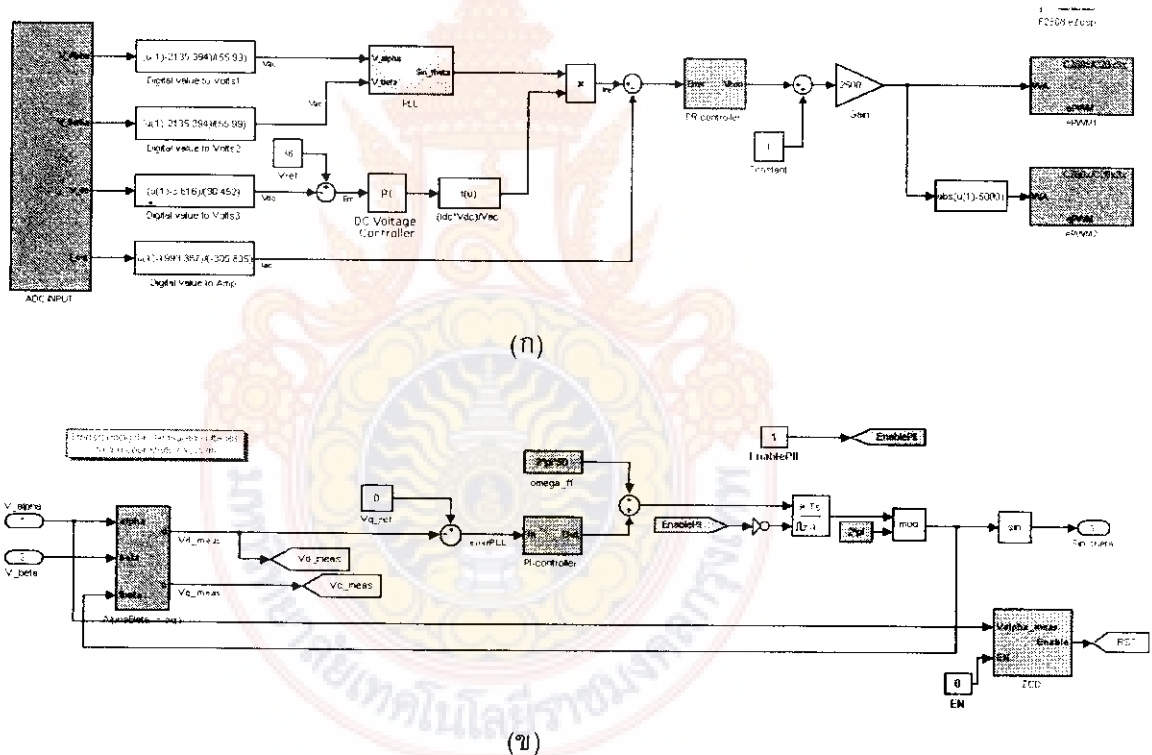


ภาพที่ 3.31 การสร้างสัญญาณพีดับบลิวเอ็ม

เมื่อพิจารณาภายในโครงสร้าง ePWM ของ DSP จะเห็นว่ามีส่วนที่ช่วยในการสร้างสัญญาณ PWM แบบสมมาตรที่เรียกว่า Symmetric Waveform Generation โดยอาศัยหลักการเปรียบเทียบกับดัชนีความกว้างใน ตัวค่าดัชนีนั้นมีค่ามากกว่าตัวเปรียบเทียบจะทำให้เอาท์พุตเปลี่ยนสถานะไป



ภาพที่ 3.32 บล็อก C28x PWM



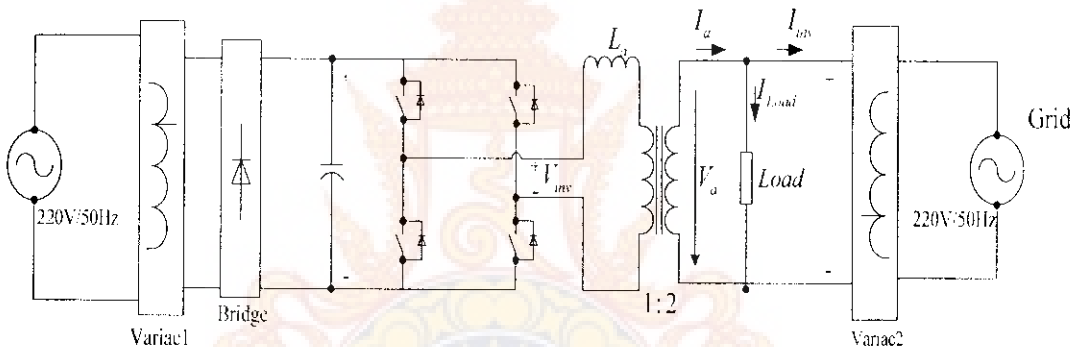
ภาพที่ 3.33 (ก) บล็อก Simulink สำหรับควบคุมและสร้างสัญญาณแบบทันเวลา
 (ข) บล็อก Simulink เฟสล็อกลูปแบบหนึ่งเฟส

บทที่ 4

ผลการวิจัย

4.1 การทดสอบระบบอินเวอร์เตอร์

บทนี้กล่าวถึงผลการทดสอบระบบวิจัยด้านแบบเพื่อศึกษาถึงผลการเชื่อมต่อกับระบบจำหน่ายการไฟฟ้าโดยที่การทดสอบระบบจะแสดงในภาพที่ 4.1 ซึ่งจากภาพทางผู้ระบบจำหน่ายจะต้องอยู่กับหม้อแปลงไฟฟ้าแบบปรับค่าได้และทางด้านอินพุตของภาคกำลังจะใช้วงจรบิดจักริดไฟยในการสร้างแรงดันดีซีบส อีกทั้งแรงดันเอาต์พุตของภาคกำลังจะใช้หม้อแปลงอัตราส่วน 1:2 โดยทำหน้าที่แยกกันทางไฟฟ้าระหว่างด้านออกของวงจรและแรงดันการไฟฟ้า



ภาพที่ 4.1 วงจรกำลังที่ใช้ในการทดสอบระบบอินเวอร์เตอร์ที่มีไฟฟ้าแบบต่อเข้าระบบจำหน่าย

4.2 ขั้นตอนการทดสอบอินเวอร์เตอร์ขณะต่อเข้าระบบจำหน่าย

2.4.1 ทำการปรับแรงดัน V_{inv} ไว้ที่ 25 โวลต์ จากนั้นทำการวัดค่าแรงดันของการไฟฟ้าที่ออกจาก Variac 2 ให้มีแรงดันตรงกับแรงดันของหม้อแปลงอัตราส่วน 1:2

2.4.2 ทำการวัดค่ามุมไฟฟ้าของแรงดันที่หม้อแปลงอัตราส่วน 1:2 กับ Variac2 ให้มีมุมไฟฟ้าตรงกันจากนั้นจึงค่อยเชื่อมต่อระบบเข้ากับการไฟฟ้า

2.4.3 เมื่อเชื่อมต่อระบบเข้ากับการไฟฟ้าแล้วจึงค่อยเพิ่มแรงดันให้ได้ 220 โวลต์ โดยดูค่ากระแสไม่เกิน 4 แอมป์

ตารางที่ 4.1 พารามิเตอร์ที่ใช้ในการทดสอบ

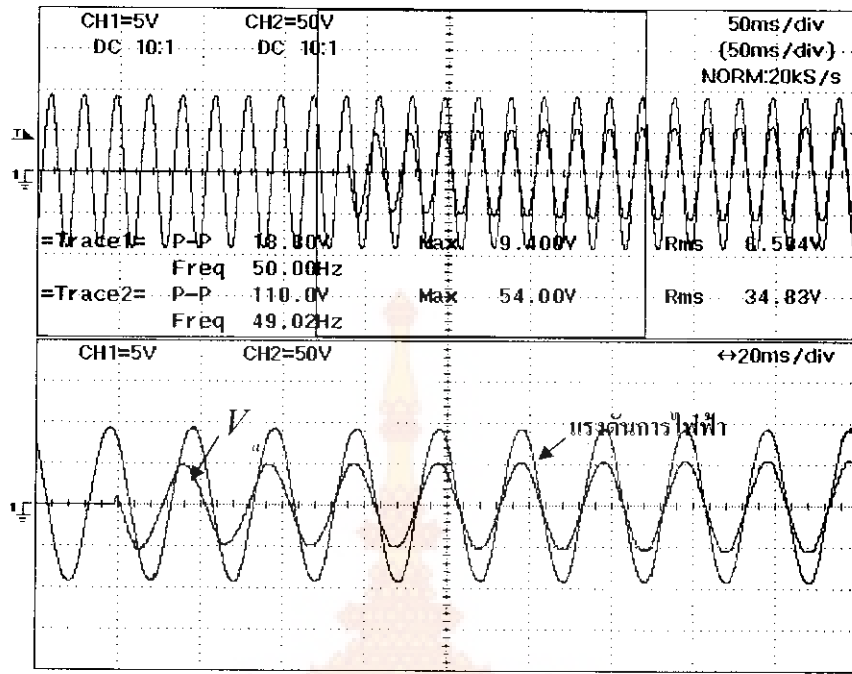
พารามิเตอร์	รายละเอียด
ระบบไฟฟ้า	1เฟส 2สาย 50 เฮิรตซ์
แรงต้นระหว่างสาย (rms)	110 โวลต์
แรงต้นไฟฟ้ากระแสตรง	254 โวลต์
กำลังไฟฟ้าสูงสุด	700 วัตต์
ตัวเก็บประจุ	2200 ไมโครฟารัต
ตัวเหนี่ยวนำ	2.7 มิลลิเซนต์
ความถี่สวิตช์	18 กิโลเฮิรตซ์

4.3 ผลการทดสอบ

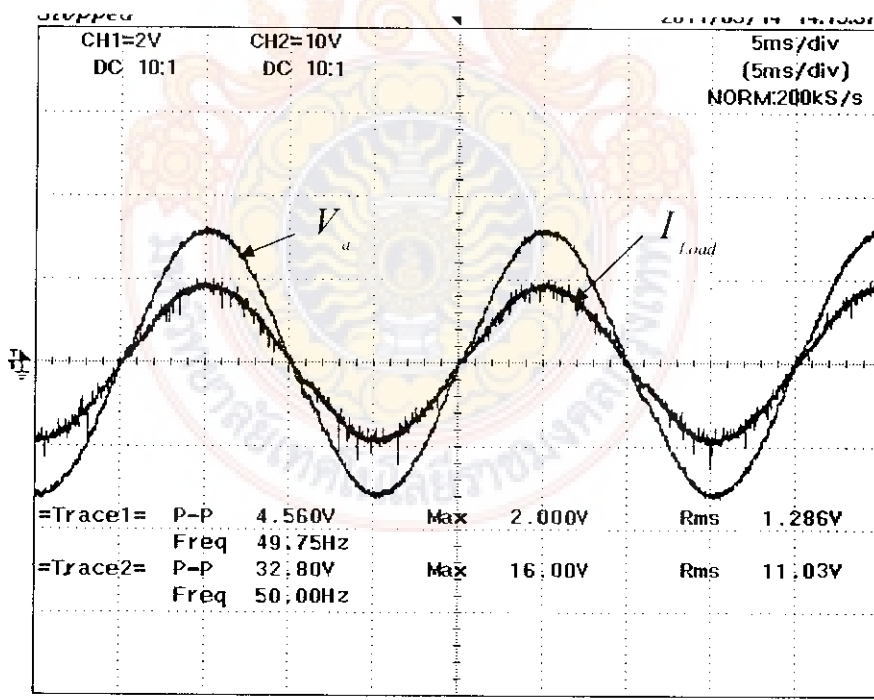
ในการเชื่อมต่อกับระบบการไฟฟ้าได้นั้นจำเป็นที่จะต้องสร้างแรงตันค่าความถี่และมุมเพลสให้ตรงกับระบบของการไฟฟ้าเสียก่อน โดยในงานวิจัยนี้ได้ใช้เฟลส์อกลุปเข้ามาช่วยในการสร้างสัญญาณควบคุมคุณภาพกำลังของอินเวอร์เตอร์หนึ่งเฟส ซึ่งผลที่ได้จากการทำเฟลส์อกลุปแสดงดังภาพที่ 4.2

จากภาพที่ 4.2 คือผลของการเปรียบเทียบแรงตันระหว่างแรงตันของการไฟฟ้ากับแรงตันของอินเวอร์เตอร์หนึ่งเฟส ซึ่งจากผลจะเห็นได้ว่าแรงตันของอินเวอร์เตอร์จะใช้เวลาในการซิงโครไนท์เข้าสู่แรงตันของการไฟฟ้าโดยใช้เวลาประมาณ 60 ms จึงจะมีค่าความถี่และมุมเพสตรงกับระบบของการไฟฟ้าได้

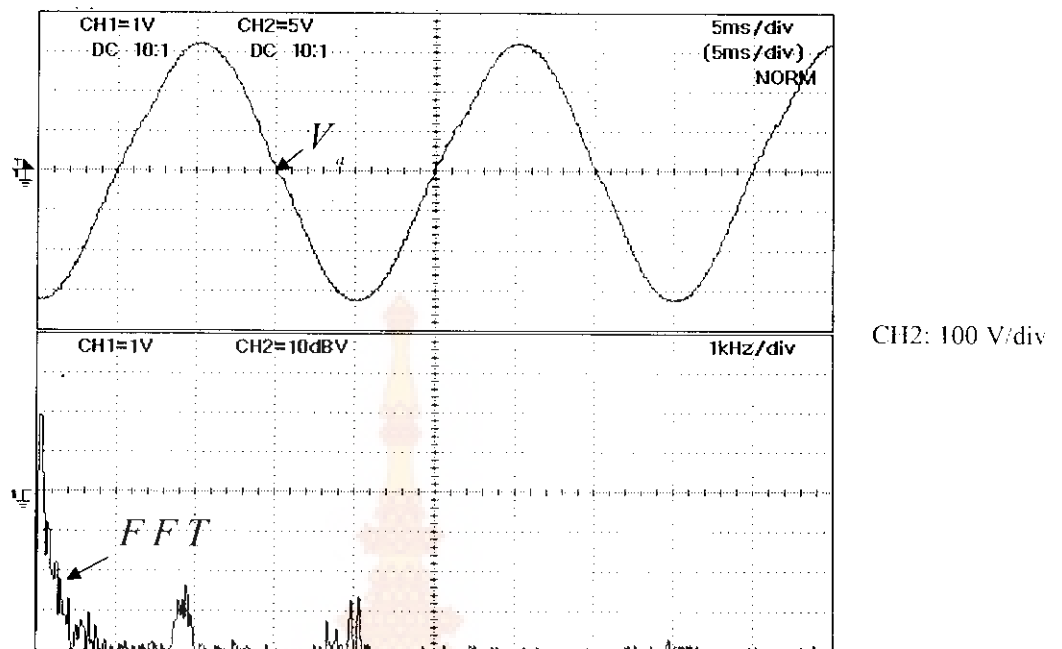
และในภาพที่ 4.3 คือสัญญาณของกระแสและแรงตันที่กำลังไฟฟ้าสูงสุดที่ 700 วัตต์โดยที่จากภาพจะเห็นว่าสัญญาณกระแสและแรงตันมีลักษณะใกล้เคียงกันมาก ที่ค่ากระแส 3.18 แอมป์แรงตัน 220 โวลต์



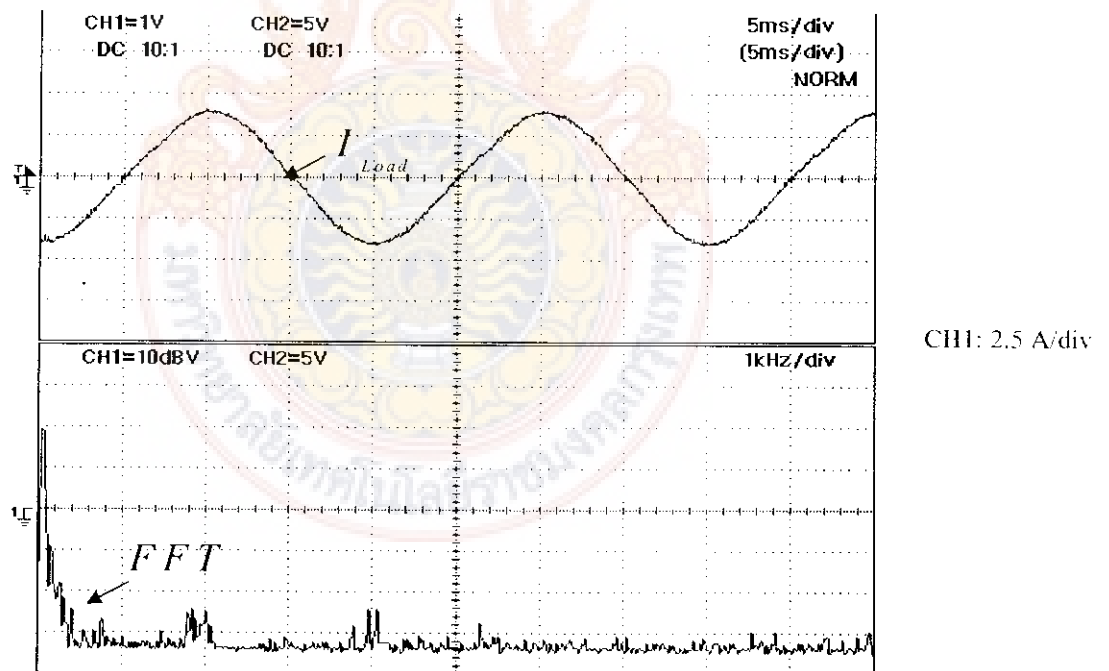
ภาพที่ 4.2 ผลการทำงานของเฟสล็อกกลุป



ภาพที่ 4.3 สัญญาณค่ากระแสและแรงดันอินเวอร์เตอร์ที่กำลังไฟฟ้าสูงสุด

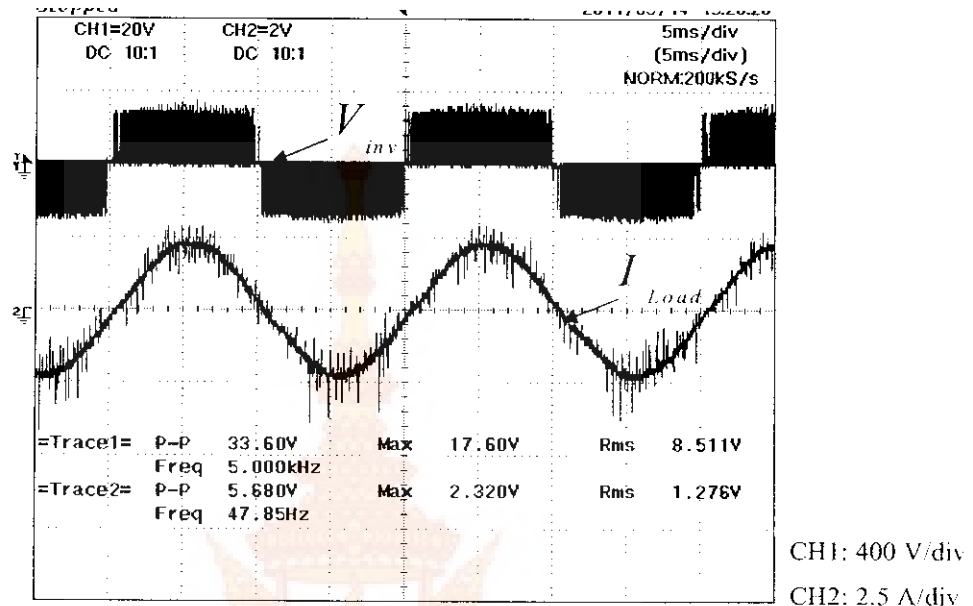


ภาพที่ 4.4 สัญญาณแรงดันของอินเวอร์เตอร์และค่า FFT ของแรงดันขณะจ่ายโหลด

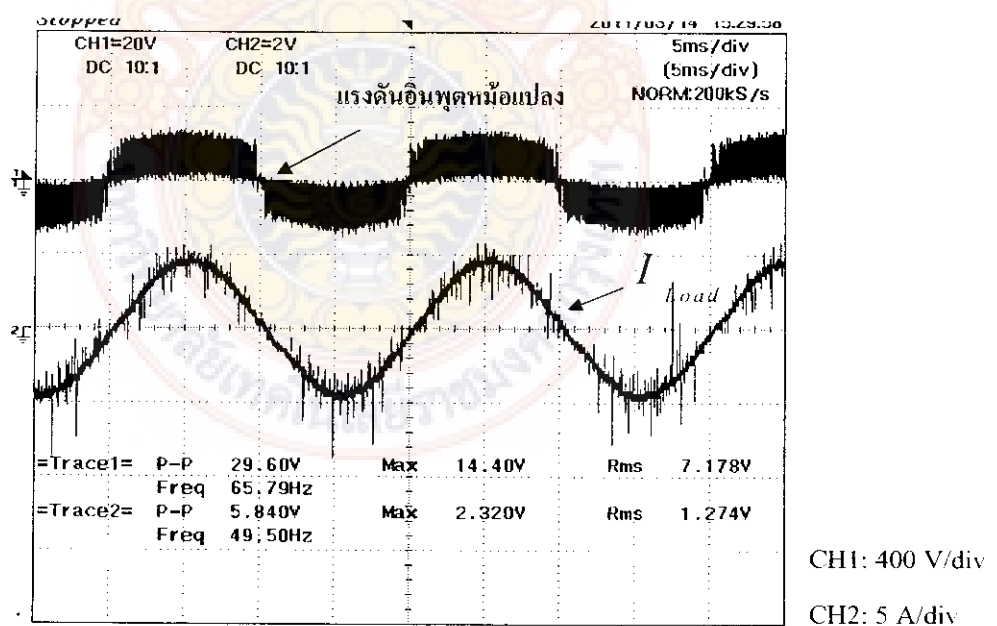


ภาพที่ 4.5 สัญญาณกระแสของอินเวอร์เตอร์และค่า FFT ของกระแสขณะจ่ายโหลด

จากภาพที่ 4.4 และ 4.5 เป็นการแสดงค่า FFT ของแรงดันและกระแส ซึ่งจะสังเกตว่ามีค่าไกล์เดียงไชน์โดยมีค่าาร์มอนิกส์ของแรงดันและกระแสที่กำลังไฟฟ้าสูงสุดประมาณ 4%

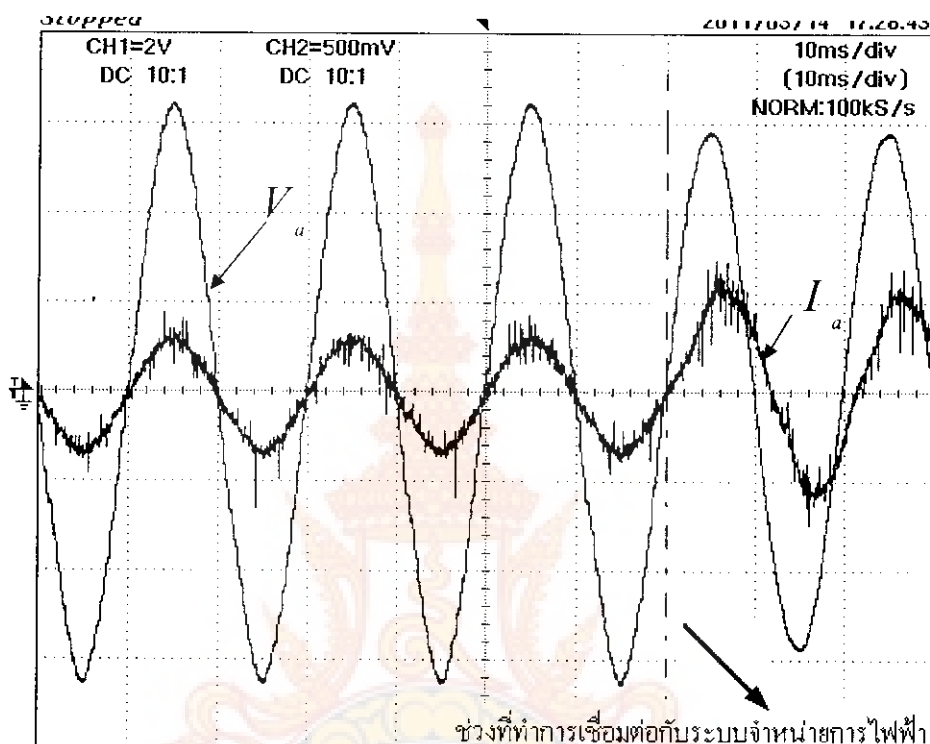


ภาพที่ 4.6 สัญญาณแรงดัน V_{inv} และค่ากระแสของอินเวอร์เตอร์



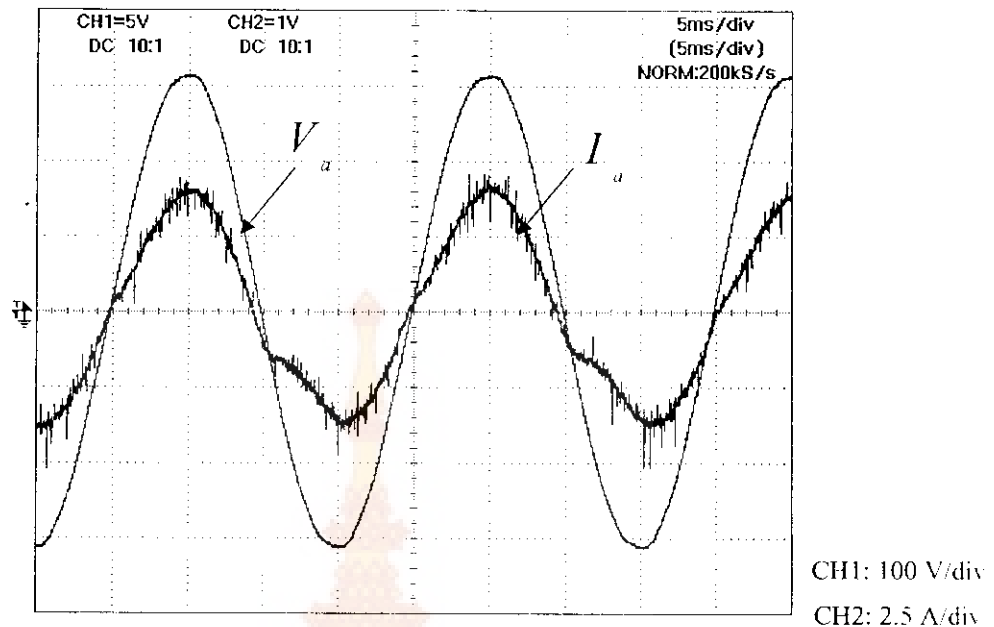
ภาพที่ 4.7 สัญญาณแรงดันอินพุตของหม้อแปลงอัตราส่วนและค่ากระแสของอินเวอร์เตอร์

ในภาพที่ 4.6 และ 4.7 เป็นการเปรียบเทียบระหว่างแรงดัน V_{mm} และแรงดันด้านอินพุตของหม้อแปลงอัตราส่วนโดยที่จากภาพที่ 4.7 จะเห็นถึงผลตอบสนองทางความถี่ของค่าด้วยเหนี่ยวนำ L ที่มีต่อค่าแรงดันของอินเวอร์เตอร์นั้นเอง

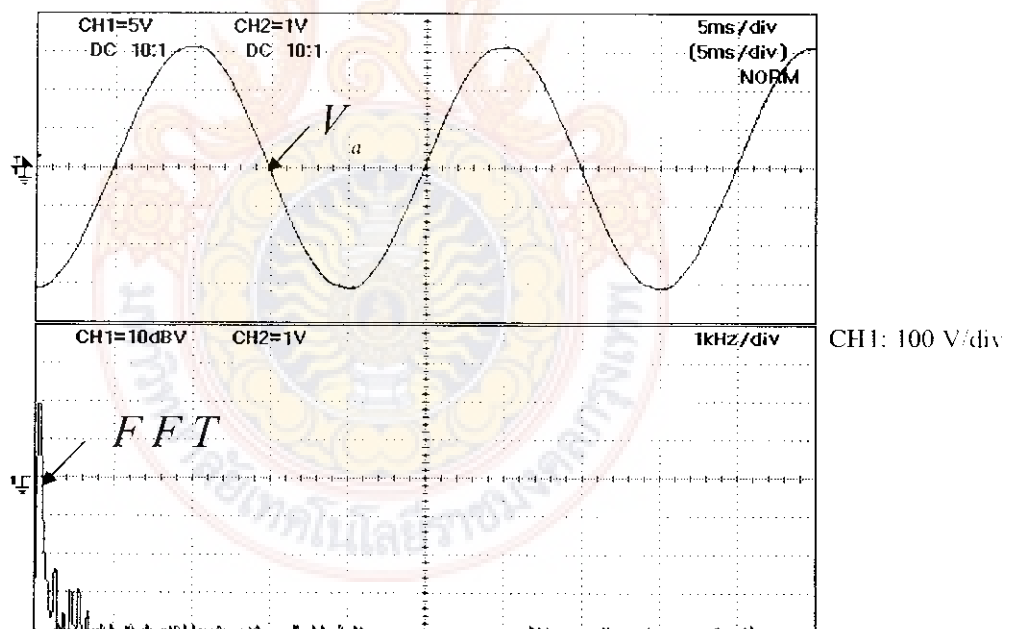


ภาพที่ 4.8 สัญญาณค่ากระแสกับแรงดันที่ทำการเชื่อมต่อระบบจำหน่ายไฟฟ้า

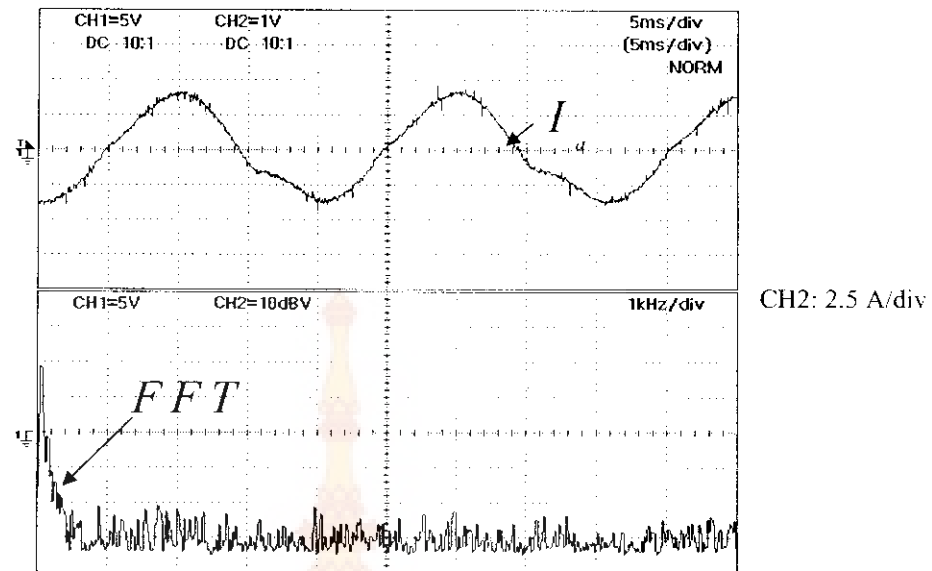
ในภาพที่ 4.8 เป็นการแสดงสัญญาณค่ากระแสกับแรงดันที่ทำการเชื่อมต่อ กับระบบจำหน่ายไฟฟ้า โดยที่ค่าแรงดัน 50 โวลต์ ที่ใช้ในการเชื่อมต่อ กับระบบจำหน่ายไฟฟ้าซึ่งอยู่ในค่าแรงดันที่ทำให้ไม่เกิดค่ากระแสค่าพุ่งเกินของกระแสมากจนเกินไป และยังเป็น การป้องกันภาคกำลังของอินเวอร์เตอร์



ภาพที่ 4.9 สัญญาณกระแสกับแรงดันที่กำลังไฟฟ้าสูงสุดขณะเชื่อมต่อระบบจำนวนการไฟฟ้า

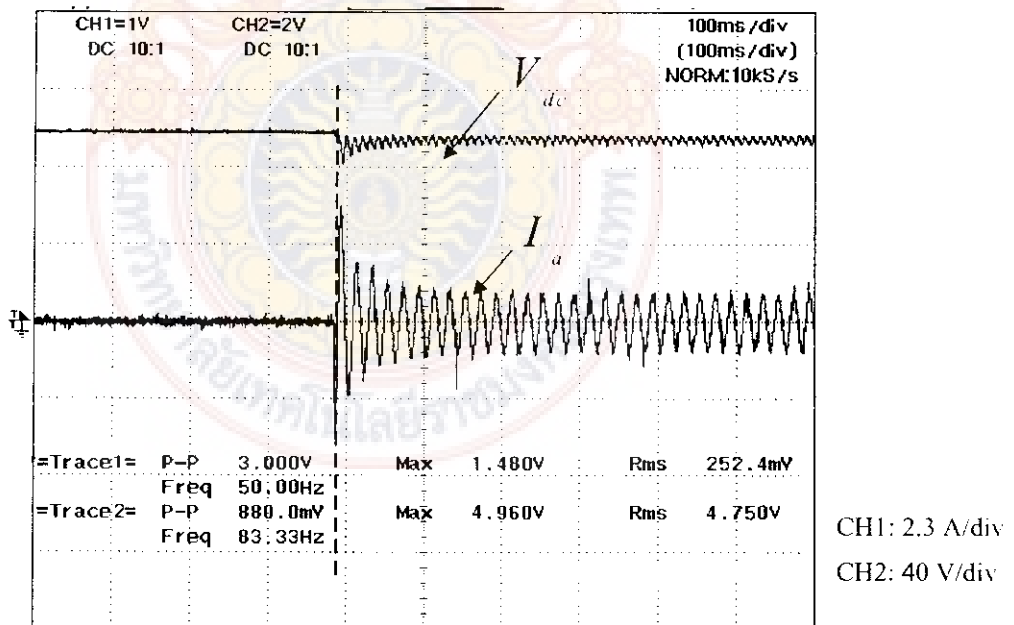


ภาพที่ 4.10 ค่า FFT ของแรงดันขณะเชื่อมต่อระบบจำนวนการไฟฟ้า

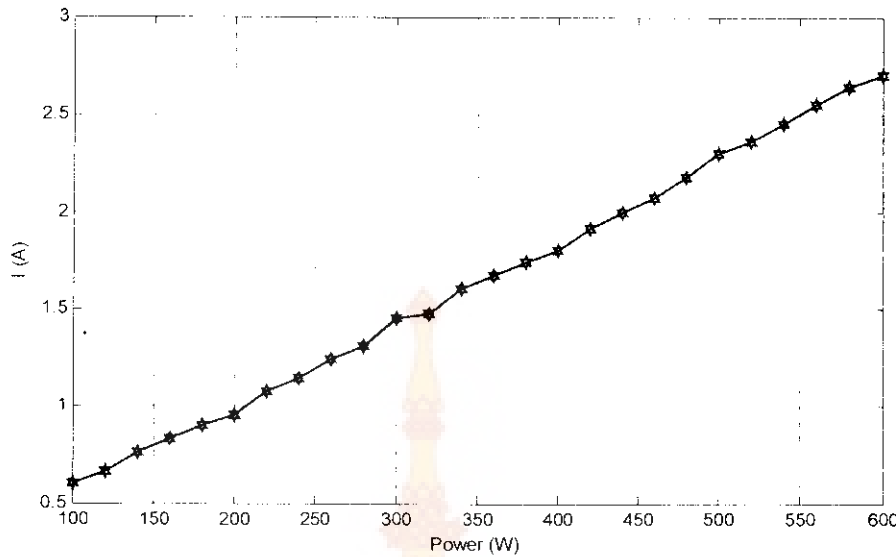


ภาพที่ 4.11 FFT ของกระแสขณะเชื่อมต่อระบบจähน่ายการไฟฟ้า

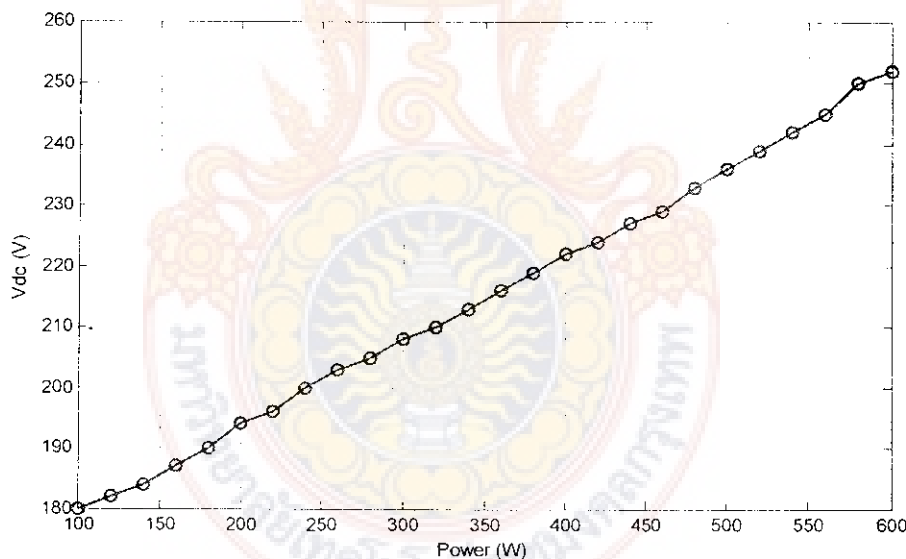
จากภาพที่ 4.9 เมื่อหาค่า FFT ของทั้งกระแสและแรงดัน ดังแสดงในภาพที่ 4.10 และภาพที่ 4.11 โดยที่ระบบมีค่า THD_v ของแรงดันเท่ากับ 1.08% และ THD_i ของกระแสเท่ากับ 10% ขณะที่มีค่ากระแส 2.7 แอมป์



ภาพที่ 4.12 ผลตอบสนองของแรงดันดีซีบสเมื่อเกิดการเปลี่ยนแปลงของกระแสแบบขั้น

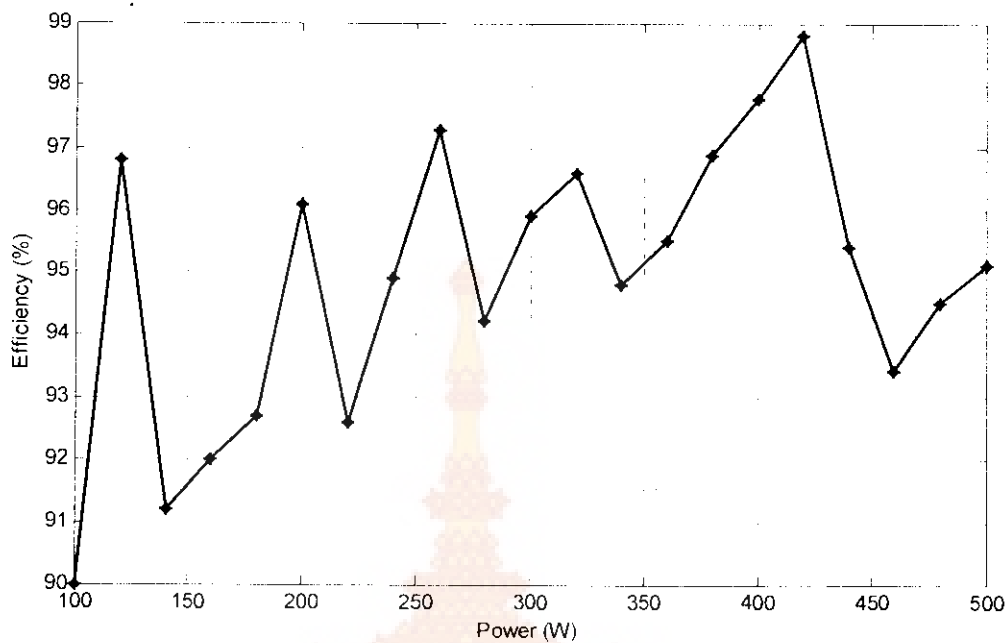


ภาพที่ 4.13 กราฟความสัมพันธ์ของกำลังไฟฟ้ากับกระแสที่จ่ายให้กับระบบจำหน่ายการไฟฟ้า

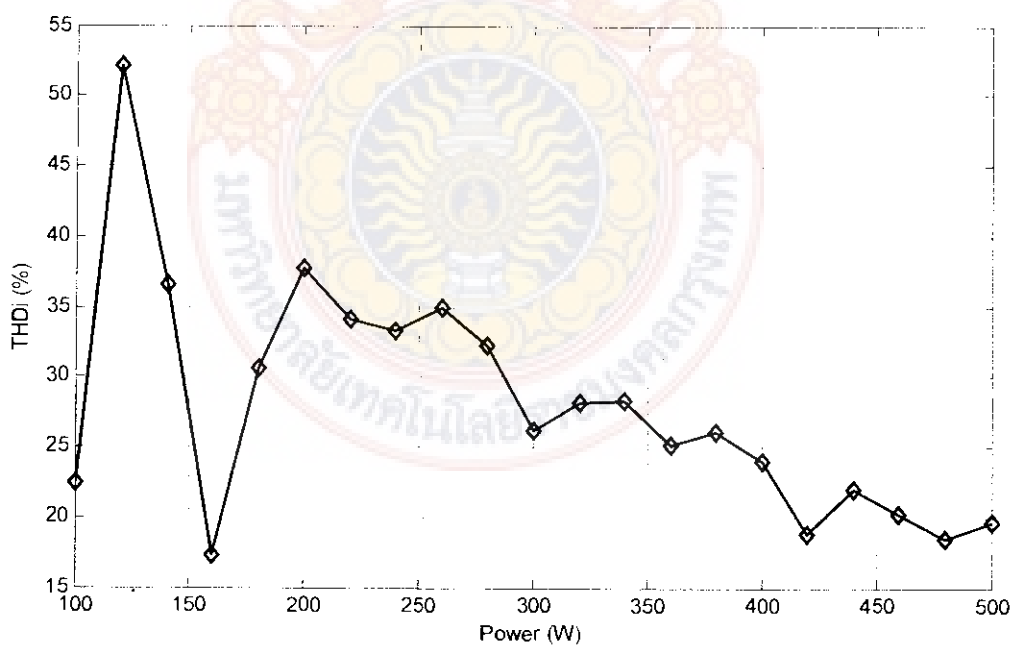


ภาพที่ 4.14 กราฟความสัมพันธ์ของกำลังไฟฟ้ากับแรงดันบัสที่จ่ายให้กับระบบจำหน่าย

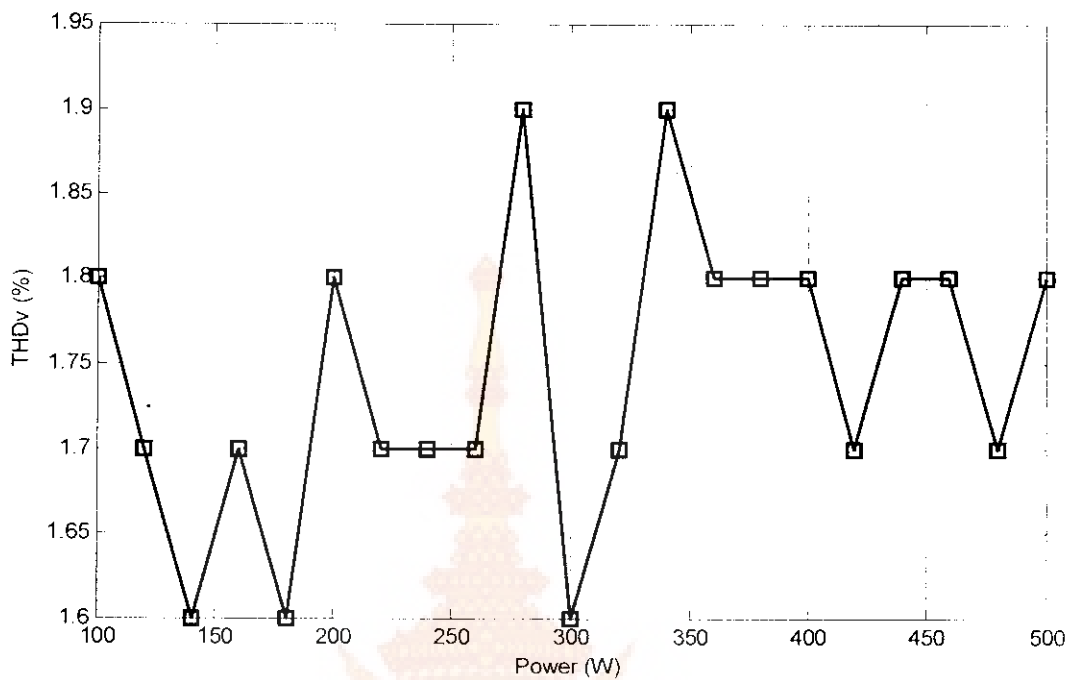
ในภาพที่ 4.13 และ 4.14 เป็นกราฟที่แสดงความสัมพันธ์ของกำลังไฟฟ้าที่จ่ายให้กับระบบจำหน่ายการไฟฟ้า และในภาพที่ 4.12 เพื่อให้ทราบถึงผลของการกระแสที่มีการเปลี่ยนแปลงแบบทันทีทันใดต่อค่าแรงดันดีซีบัส จากภาพจะเห็นได้ว่าเกิดกระแสผุ่งเกินสูงในขณะที่แรงดันบัสกระแสตรงยังมีค่าต่ำๆ ดังนั้นจึงควรเชื่อมต่อระบบจำหน่ายการไฟฟ้าในช่วงแรงดันที่ไม่สูงมากนักเพื่อลดค่าผุ่งเกินของกระแสอิควิวิชัน



ภาพที่ 4.15 กราฟความสัมพันธ์ของกำลังไฟฟ้ากับประสิทธิภาพ



ภาพที่ 4.16 กราฟความสัมพันธ์ของกำลังไฟฟ้ากับขาร์มอนิกส์ของกระแส



ภาพที่ 4.17 กราฟความสัมพันธ์ของกำลังไฟฟ้ากับอาร์มอนิกส์ของแรงดัน

จากภาพที่ 4.15 – 4.17 เป็นการแสดงความสัมพันธ์ของอาร์มอนิกส์กับกำลังไฟฟ้าของอินเวอร์เตอร์ ซึ่งจะทำให้ทราบถึงแนวโน้มของค่าอาร์มอนิกส์ในขณะที่กำลังไฟฟ้าเพิ่มขึ้น ทำให้เห็นถึงประสิทธิภาพที่อินเวอร์เตอร์จ่ายกำลังไฟฟ้าให้กับระบบ โดยระบบอินเวอร์เตอร์หนึ่งเฟส ที่เข้าระบบจำหน่ายของการไฟฟ้ามีประสิทธิภาพ 94%

บทที่ 5

สรุปผลการวิจัยและข้อเสนอแนะ

5.1 สรุปผลการวิจัยที่ได้จากการทดลอง

ในงานวิจัยนี้ได้ศึกษาค้นคว้า ออกแบบสร้างอินเวอร์เตอร์หนึ่งเฟสแบบเชื่อมต่อเข้ากับระบบจำหน่ายไฟฟ้าขนาด 500 วัตต์ โดยที่ประยุกต์ใช้วิธีการควบคุมในระบบแกนหมุนด้วยความเร็วซิงโครนัสที่ใช้อยู่ในระบบสามเฟส มาใช้ในระบบหนึ่งเฟสและใช้ด้วยควบคุมค่ากระแสและแรงดันของภาคกำลัง ซึ่งในการควบคุมแบบพื้นฐานจะถูกเปลี่ยนและโปรแกรมโดยใช้ MPLAB IDE V8.56 โดยที่ในระบบควบคุมจะถูกคำนวณและประมวลผลในแบบดิจิตอลทั้งหมด

จากการทดสอบของระบบที่สร้างขึ้นจริง พบร่วมระบบสามารถเชื่อมต่อกับระบบจำหน่ายไฟฟ้าได้จริง และมีค่า THD ของกระแสเท่ากับ 10.4% ที่ค่ากระแส 2.7 แอมป์ แต่ระบบอินเวอร์เตอร์หนึ่งเฟสแบบเชื่อมต่อเข้ากับระบบจำหน่ายไฟฟ้าขนาด 500 วัตต์ ยังต้องมีการพัฒนาระบบควบคุมและส่วนที่ติดต่อกับผู้ใช้งานเพื่อให้เหมาะสมไปใช้ในงานได้ง่ายและมีประสิทธิภาพ อีกทั้งส่วนที่เป็นหัวใจหลักของระบบอินเวอร์เตอร์หนึ่งเฟสแบบเชื่อมต่อเข้ากับระบบจำหน่ายไฟฟ้าขนาด 500 วัตต์ คือ DSC Board ซึ่งทำหน้าที่สร้างสัญญาณการ模ดูเลตให้กับภาคกำลังที่ความถี่สวิตชิ่ง 18 กิโลเฮิรต์ โดยใช้ MCU เบอร์ dsPIC30F4011 สร้างสัญญาณควบคุมให้กับระบบอินเวอร์เตอร์ทั้งหมด

ผู้วิจัยได้สร้างชุดอินเวอร์เตอร์ขนาดเล็กอีกหนึ่งชุดด้วยตัวประมาณผลสัญญาณดิจิตอลเบอร์ TMS320F2808 โดยสร้างโปรแกรมควบคุมด้วย Matlab/Simulink และมีการควบคุมแบบทันเวลา

5.2 ข้อเสนอแนะ

ในงานวิจัยนี้มีจุดที่ต้องปรับปรุงแก้ไขคือ

- 5.2.1 เมื่อใช้งานที่แรงดันตีซีบสูงๆจะมีสัญญาณรบกวนจากการสวิตช์มากทำให้ค่ากระแสและแรงดันที่วัดได้จากทรานส์ฟอร์มผิดเพี้ยนไป ทำให้การควบคุมไม่ดีเท่าที่ควร
- 5.2.2 ควรใช้คำสั่งภาษาซีในรูปแบบ Q format ในการเขียนโปรแกรมควบคุมระบบอินเวอร์เตอร์หนึ่งเฟส
- 5.2.3 ควรใช้มอเตอร์กำลังที่สามารถทนกระแสได้สูงๆ เมื่อแรงดันตีซีเพิ่มมากขึ้น
- 5.2.4 ควรมีวงจรตรวจจับเฟสของแรงดันการไฟฟ้ากับแรงดันอินเวอร์เตอร์

5.3 ผลงานตีพิมพ์ในการประชุมวิชาการ

บทความเรื่อง “อินเวอร์เตอร์หนึ่งเฟสแบบเชื่อมต่อกับระบบจำหน่ายไฟฟ้าด้วย dsPIC30F4011” นำเสนอในการประชุมวิชาการเครือข่ายวิศวกรรมไฟฟ้า EENET2012 มหาวิทยาลัยเทคโนโลยีราชมงคลอีสาน เป็นเจ้าภาพจัดการประชุม ณ. จังหวัดหนองคาย

บทความเรื่อง “การควบคุมกระแสแบบสัตส่วนบวกรีไซแนนซ์สำหรับอินเวอร์เตอร์หนึ่งเฟสแบบต่อเข้าระบบจำหน่ายไฟฟ้ากำลังด้วยไมโครคอนโทรลเลอร์ TMS320F2808” นำเสนอในการประชุมวิชาการทางวิศวกรรมไฟฟ้า ครั้งที่ 35 มหาวิทยาลัยกรุงเทพ เป็นเจ้าภาพจัดการประชุม ณ. จังหวัดนครนายก

อินเวอร์เตอร์หนึ่งเฟสแบบเชื่อมต่อกับระบบจ้าหน่ายไฟฟ้าด้วย dsPIC30F4011

Implemented of Grid Connected Single Phase Inverter with dsPIC30F4011

เดชพล อนุสรณ์ และราษฎร์ ชาลาสันติสุข

สาขาวิชาวิศวกรรมไฟฟ้า คณะวิศวกรรมศาสตร์ มหาวิทยาลัยเทคโนโลยีราชมงคลกรุงเทพ

2 ถนนนهرดินเจ แขวงทุ่งมหาเมฆ เขตสาทร กรุงเทพมหานคร 10120 โทรศัพท์ : 662-2879629 E-Mail: chanrit.t@rmutk.ac.th

บทคัดย่อ

บทความนี้เป็นเสนออินเวอร์เตอร์เดลต์เบนที่เชื่อมต่อเข้าระบบจ้าหน่าย ของการไฟฟ้า โดยใช้การควบคุมทุกระยะในแกน d,q ซึ่งเป็นแกนล่างลง หมุนด้วยความเร็วคงที่ของแม่เหล็กถาวรน้ำตก ความถี่ของกระแสใน สถานะคงตัวเป็นสูงและคงคล่องตัวอย่างมาก รวมถึงตัวการถ้าจัดผล ของแรงดันที่ซึ่งร่วม มีความถูกต้องด้วยตัวความถูกต้องที่สูง ไม่ต้อง คำนึงถึงการใช้ส่วนตัวของแม่เหล็กถาวรน้ำตกที่ต้องติดต่อ กับแกน d,q ทำให้สามารถลดความผันผวนของแรงดันได้ดี สำหรับการเปลี่ยนเกล็อกในระบบควบคุม ระบบควบคุมทั้งหมดต้องด้วย ตัวควบคุมด้วย dsPIC30F4011 ความถี่ที่ต้องการ 18 kHz ตัวหนึ่งสามารถดำเนินการได้ ตัวหนึ่งต้องใช้เวลาไม่ถึง 2.7 ms สำหรับการของกระแส ผลการทดสอบก่อนอินเวอร์เตอร์มีประสิทธิภาพ 94% และสารมารถลดลงถึง 1.8% ในการทดสอบการเชื่อมต่อเข้าระบบ และการเปลี่ยนโหมดแบบทันทีที่กันไฟฟ้าเพื่อทดสอบอย่างสมดุลในสถานะ ทำงานเช่นๆ

ค่าสำคัญ: เฟสล็อกถาวร อินเวอร์เตอร์หนึ่งเฟสแบบเชื่อมต่อเข้าระบบจ้าหน่าย และ dsPIC30F4011

Abstract

This article presents a single phase grid connected inverter which uses current control technique in the d,q synchronous reference frame. The control technique can reduce a steady state error of current to zero. The load current feed-forward compensation part eliminated the DC bus oscillation. The synchronization of single phase inverter using 90° shifted of original signal for transformation with α, β signals. The experimental can be done with asPIC30F4011 digital signal controller and 1 kW inductor filter inverter with switching frequency 18 kHz. The results show that the line current has 1.8 % THDI and 94 % efficiency. The grid connecting and step load was tested to show transient response.

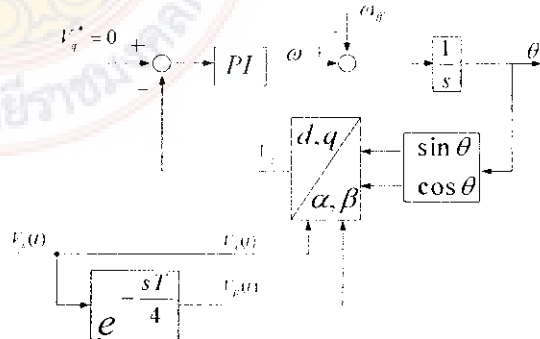
Keywords: Phase Lock Loop (PLL), Single Phase Grid Connected Inverter and dsPIC30F4011

1. บทนำ

ปัจจุบันอินเวอร์เตอร์ที่มีการบ้านไว้ใช้งานในด้านต่างๆ ล่าสุด กว้างขวาง ไม่ว่าในด้านพลังงานทดแทน อินเวอร์เตอร์ที่ใช้ร่วมกับ กังหันลม เฟสล็อกถาวรเดลต์ เซลล์โซล่าเซลล์ เป็นต้น เป็นจุดเด่นจากคุณสมบัติ ที่ว่าอินเวอร์เตอร์สามารถจ่ายไฟฟ้าจากแรงดันไฟฟ้า กระแสตรงเป็นแรงดันไฟฟ้าทางเดสตัน ฉีกตัวสามารถควบคุมได้ทั้ง ขนาดแรงดันและความถี่ ไปรษณีย์ไทยได้ให้ความสนใจในการนับถือ อินเวอร์เตอร์รวมที่ใช้ร่วมกับระบบภายในส่วนเพื่อเชื่อมเข้ากับระบบของก้าไฟฟ้า และอินเวอร์เตอร์ที่นำมาใช้เชื่อมเข้ากับระบบของก้าไฟฟ้าซึ่งมีค่า ความถี่อนิสัยที่สูงถูกนิปปันไปและแรงดันอยู่ในระดับที่ต่ำ ทำให้เกิดความไม่ เสถียรภาพในระบบสายส่งและอัตราการเปลี่ยนแปลงแรงดันกระแสไฟฟ้า ตัวอย่าง ที่ชัดเจนคือความถี่ที่จะพัฒนาการทำงานของอินเวอร์เตอร์หนึ่งเฟส ให้มี ประสิทธิภาพมากขึ้น จะเป็นการเลือกใช้วิธีการสวิตช์ชิงแกน PWM ด้วยตัว ประมวลผลด้วยชุดคำสั่งที่ต้องการ ให้สามารถใช้โมดูลร่วม สัญญาณ PWM แบบถูกต้อง แต่ต้องรับรู้ว่าในระบบควบคุมแบบที่ได้ ประสิทธิภาพสูง ซึ่งการใช้ไฟฟ้าในที่ต้องใช้ไฟฟ้าต้องถูกกำหนดให้ จัดการอินเวอร์เตอร์สามารถฟื้นฟื้นที่นิยมและฟื้นฟื้นอย่าง [5] สำหรับอินเวอร์เตอร์ หนึ่งเฟสต้องห้ามกระแสไฟฟ้าเดลต์ที่มีแนวโน้มใช้แรงงานมากขึ้น ประกอบกับความต้องการในการเชื่อมต่อที่ต้องมีความถูกต้องของกระแสไฟฟ้า และการควบคุมระบบ เป็นต้น

2. ทฤษฎี

2.1 เฟสล็อกถาวรแบบหนึ่งเฟส



รูปที่ 1 โครงสร้างของเฟสล็อกถาวรหนึ่งเฟส

ในระบบไฟฟ้าหนึ่งเฟสมีสัญญาณเพียงหนึ่งไฟฟ้า ตั้งนี้นิยมถือว่าการสร้างสัญญาณอินพุตเป็นส่วนกลุ่มซึ่งมีมุมไฟฟ้าเท่ากัน 90 องศา โดยเด่นหนึ่งใช้สัญญาณอินพุตเดิมดังนี้ $x_\alpha(t) = x(t)$ และอีกหนึ่งสร้างโดยการเดินไฟฟ้าของสัญญาณ ωt ให้ 90° องศาซึ่งจะได้สัญญาณ $x_\beta(t)$ ดังในรูปที่ 1 จากนั้นเปลี่ยนแทนทั้งสองให้คู่กันในแบบ d, q โดยใช้ที่เปลี่ยนของประจุในการเปลี่ยนแทนของสัญญาณไฟฟ้าคลื่นโซนี่ ทางแทนลักษณะคู่กันที่ให้มากอยู่ในแทน d, q จะได้สมการที่ (1) และ (2) [1], [2]

$$x_\alpha = x_s(t) = \hat{x} \cos(\omega t) \quad (1)$$

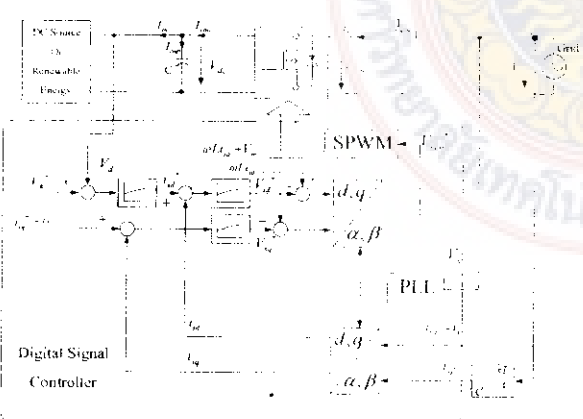
$$x_\beta = \hat{x} \cos(\omega t - \frac{\pi}{4}) = \hat{x} \sin(\omega t) \quad (2)$$

การเปลี่ยนแทนนี้เรียกว่าไฟฟ้าเดินคู่กันที่ มาจากในมุมหมุนด้วยความเร็วเชิงโครงสร้าง จะได้สมการที่ (3)

$$\begin{bmatrix} d \\ q \end{bmatrix} = \begin{bmatrix} \cos\theta & \sin\theta \\ -\sin\theta & \cos\theta \end{bmatrix} \begin{bmatrix} \alpha \\ \beta \end{bmatrix} \quad (3)$$

การทำงานของไฟล็อกอุปปะที่การควบคุมค่ากระแส I_q^* ให้มีค่าเท่ากับศูนย์โดยใช้ตัวควบคุมแทนพื้นที่ โดยระบบจะทำการเปลี่ยนแรงดันไฟฟ้า V_q จากแทนลักษณะอิสระคู่กันให้มากอยู่ในแทน α, β และจากนั้นเปลี่ยนแทนไปอยู่ในแทนหมุนด้วยความเร็วเชิงโครงสร้าง ซึ่งใช้ค่ามุม角速度นั้นระบบจึงนำเข้าไฟฟ้า θ ที่ได้มานำมาคำนวณค่าแรงดัน $\sin\theta, \cos\theta$ มาใช้ในการเปลี่ยนแทน ถ้าค่าแรงดันไฟฟ้า V_q ซึ่งไม่เท่ากับศูนย์แสดงว่าค่ามุมของแรงดันไฟฟ้าที่ได้นั้นยังคงค่าที่ไม่ถูกต้อง ระบบจะทำการปรับค่า ω ทำให้ค่ามุมของแรงดันไฟฟ้าเกิดการเปลี่ยนแปลงจนกว่าจะได้ค่ามุมที่ควรยก

2.2 ระบบควบคุมอินเวอร์เตอร์หนึ่งเฟส



รูปที่ 2 บล็อกไซด์แสดงกระบวนการทำงานของระบบอินเวอร์เตอร์หนึ่งเฟส

การที่คอมพิวเตอร์จะคำนวณจำนวนการไฟฟ้ากับอินเวอร์เตอร์นั้นเข้าไปที่จะต้องคำนวณกำลังกระแสเดิมของต้นอินเวอร์เตอร์โดยใช้มุมไฟฟ้าของอินเวอร์เตอร์ตรงกับการไฟฟ้า โดยที่การทำงานของระบบจะดำเนินการโดยการใช้ไฟฟ้า ให้ใช้ไฟล็อกอุปปะเพื่อนำค่ามุมไปใช้ในการเปลี่ยนแทนของกระแสเดิมของอินเวอร์เตอร์ในแทนหมุน i_{sd} [1] จากนั้นนำค่ากระแส i_{sd} ป้อนกลับไปเปรียบเทียบกับสัญญาณที่ได้รับและดำเนินการตามที่ระบุไว้ Sinusoidal Pulse Width Modulation (SPWM) ซึ่งใช้อินเวอร์เตอร์เบนท์บีโวคู่เดี่ยวนูนที่ 3

2.3 แบบจำลองและระบบควบคุม

การควบคุมอินเวอร์เตอร์สามารถจ่ายพลังงานเข้าสู่ระบบจึงนำเข้าไฟล็อกอุปปะที่มีความจำเป็นต้องใช้ตัวควบคุม ซึ่งในการออกแบบตัวควบคุม ต้องทราบดีถูกต้องของวงจรภาคตัวสั่งของอินเวอร์เตอร์โดยรู้ว่าต้องมีความต้องการที่ต้องการ ให้ระหว่างขาค้าก้าลังของอินเวอร์เตอร์แสดงในรูปที่ 4 ซึ่งสามารถหาได้จากการทางคณิตศาสตร์ของวงจรภาคตัวสั่งสมการของแรงดัน V_{con} คือ [1], [3] และ [4]

$$V_s = R_i_s + L \frac{di_s}{dt} + V_{con} \quad (4)$$

ให้ $\Delta v = V_s - V_{con}$ แทนในสมการที่ (4)

$$L \frac{di_s}{dt} = \Delta v - R_i_s \quad (5)$$

จากสมการที่ (5) แปลงเป็นแทน α, β จะได้สมการที่ (6),(7)

$$L \frac{di_\alpha}{dt} = \Delta v_\alpha - R i_\alpha \quad (6)$$

$$L \frac{di_\beta}{dt} = \Delta v_\beta - R i_\beta \quad (7)$$

เมื่อแบ่งแรงดันและกระแสให้คู่กันในแทน d, q ได้ดังสมการที่ (8)-(11)

$$\Delta v_d = \Delta v_\alpha \cos \omega t + \Delta v_\beta \sin \omega t \quad (8)$$

$$\Delta v_q = -\Delta v_\alpha \sin \omega t + \Delta v_\beta \cos \omega t \quad (9)$$

$$i_{sd} = i_\alpha \cos \omega t + i_\beta \sin \omega t \quad (10)$$

$$i_{sq} = -i_\alpha \sin \omega t + i_\beta \cos \omega t \quad (11)$$

เมื่อหาผลการซึ่งกันพุ่นหันที่สมการที่ (10)-(11)และคูณ L ทั้งหมดจะได้

$$\begin{aligned} L \frac{di_{sd}}{dt} = & -L \omega i_\alpha \sin \omega t + L \frac{di_\alpha}{dt} \cos \omega t + L \omega i_\beta \cos \omega t \\ & + L \frac{di_\beta}{dt} \sin \omega t \end{aligned} \quad (12)$$

$$\begin{aligned} L \frac{di_{sq}}{dt} = & -L \omega i_\alpha \cos \omega t - L \frac{di_\alpha}{dt} \sin \omega t - L \omega i_\beta \sin \omega t \\ & + L \frac{di_\beta}{dt} \cos \omega t \end{aligned} \quad (13)$$

$$\begin{aligned} \Delta v_d = & L \frac{di_\alpha}{dt} \cos \omega t + R i_\alpha \cos \omega t + L \frac{di_\beta}{dt} \sin \omega t \\ & + R i_\beta \sin \omega t \end{aligned} \quad (14)$$

$$\Delta v_q = -L \frac{di_{s\alpha}}{dt} \sin \omega t - Ri_{s\alpha} \sin \omega t + L \frac{di_{s\beta}}{dt} \cos \omega t + Ri_{s\beta} \cos \omega t \quad (15)$$

$$\Delta v_d = L \frac{di_{s\alpha}}{dt} \cos \omega t + L \frac{di_{s\beta}}{dt} \sin \omega t + Ri_{sd} \quad (16)$$

$$\Delta v_q = -L \frac{di_{s\alpha}}{dt} \sin \omega t + L \frac{di_{s\beta}}{dt} \cos \omega t + Ri_{sq} \quad (17)$$

$$L \frac{di_{sd}}{dt} = L \omega i_{sq} + \Delta v_d + Ri_{sd} \quad (18)$$

$$L \frac{di_{sq}}{dt} = -L \omega i_{sd} + \Delta v_q - Ri_{sq} \quad (19)$$

แทนค่าในสมการ

$$L \frac{di_{sd}}{dt} = V_{sd} - V_{conq} - Ri_{sd} + L \omega i_{sq} \quad (20)$$

$$L \frac{di_{sq}}{dt} = V_{sq} - V_{cond} - Ri_{sq} - L \omega i_{sd} \quad (21)$$

เมื่อจัดสมการใหม่จะได้

$$V_{cond} = -L \frac{di_{sd}}{dt} - Ri_{sd} + L \omega i_{sq} + V_{sd} \quad (22)$$

$$V_{conq} = -L \frac{di_{sq}}{dt} - Ri_{sq} + L \omega i_{sd} + V_{sq} \quad (23)$$

กำหนดให้ $V_{s\alpha} = V_m \cos \omega t$ และ $V_{s\beta} = V_m \sin \omega t$ แปลงให้ถูกในเกณฑ์ d, q จะได้

$V_{sd} = V_m$ และ $V_{sq} = 0$ และแทนลงในสมการจะได้

$$V_{cond} = -L \frac{di_{sd}}{dt} - Ri_{sd} + L \omega i_{sq} + V_m \quad (24)$$

$$V_{conq} = -L \frac{di_{sq}}{dt} - Ri_{sq} - L \omega i_{sd} \quad (25)$$

คำสั่งไฟฟ้าที่ได้จากวงจรลินเวอร์เตอร์คือ $P_{con} = \frac{i_{sd} i_{sd}^*}{2}$ เมื่อจดูรูปที่ 4 ดังนี้ [1]

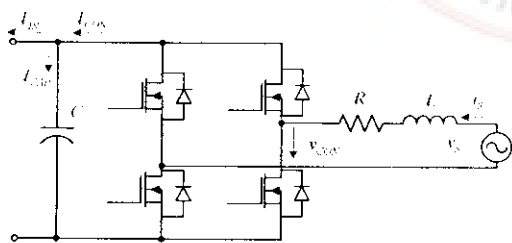
$$V_{cond} = -i_{sd} (L_s + R) + \omega L i_{sq} + V_m \quad (26)$$

$$V_{conq} = -i_{sd} (L_s + R) - \omega L i_{sd} \quad (27)$$

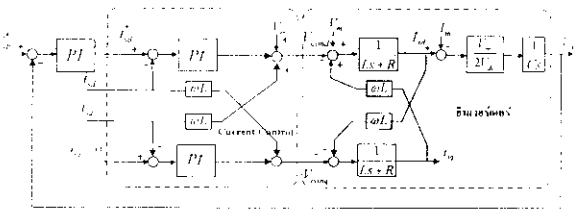
$$I_{con} = \frac{i_{sd} V_{sd}}{2V_{dc}} = \frac{i_{sd} V_m}{2V_{dc}} \quad (28)$$

$$I_{cap} = I_{in} - I_{con} \quad (29)$$

$$V_{dc} = \frac{1}{sC} I_{cap} \quad (30)$$



รูปที่ 3 วงจรคำสั่งลินเวอร์เตอร์หนึ่งเฟส



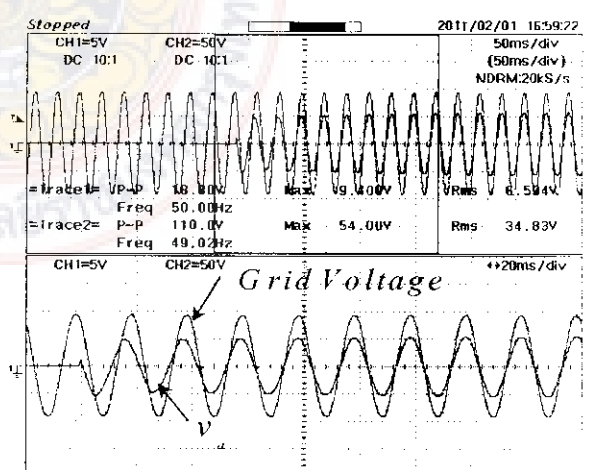
รูปที่ 4 แมกโนเจลของวงจรคอมพิวเตอร์ของอินเวอร์เตอร์หนึ่งเฟส

3. ผลการทดสอบ

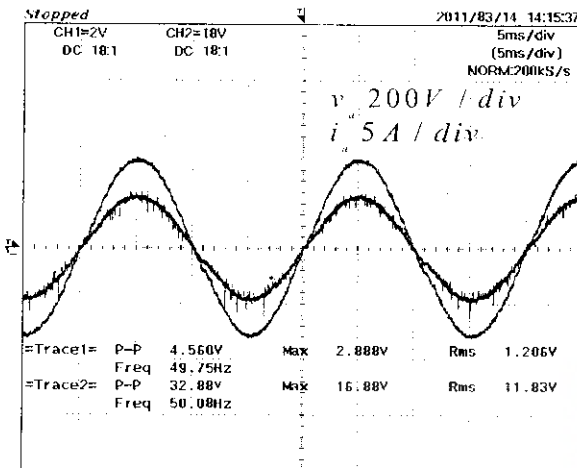
การทดสอบระบบด้านแรกเพื่อศึกษาถึงผลการเชื่อมต่อกับระบบไฟฟ้าหน้าบ้าน ไฟฟ้าโดยการทดสอบจะใช้หม้อแปลงไฟฟ้าที่ต่อทางด้านขั้นพุทธของภาคกำลัง และด้านเลาเดพุทธเพื่อทำหน้าที่แยกกันทางไฟฟ้าระหว่างต้นออกของวงจรและวงจรด้านการไฟฟ้าไฟฟลักกูป ใช้เวลาในการซิงค์ร้านไฟฟ้าประมาณ 60 ms และค่า THD คือ 1.8% โดยมีพารามิเตอร์ในการทดสอบดังตารางที่ 1

ตารางที่ 1 พารามิเตอร์ที่ใช้ในการทดสอบ

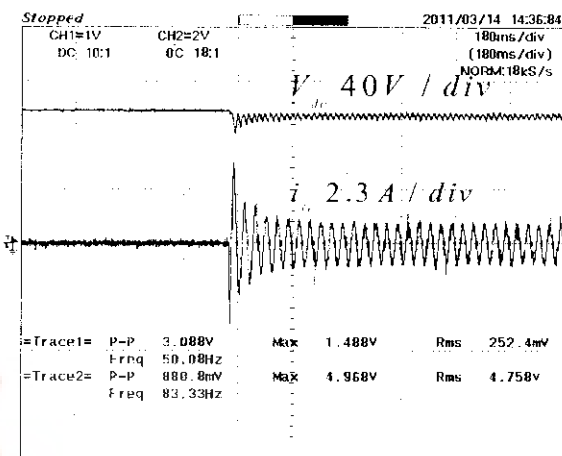
พารามิเตอร์	รายละเอียด
ระบบไฟฟ้า	1 เฟส 2 สาย 50 Hz
แรงดันระหว่างสาย (rms)	110 V
แรงดันดีซีบัส	254 V
กำลังไฟฟ้าสูงสุด	700 W
ตัวเก็บประจุ	2200 μF
ตัวหนี่ยาน้ำ	2.7 mH
ความถี่สิริชั้ว	18 kHz



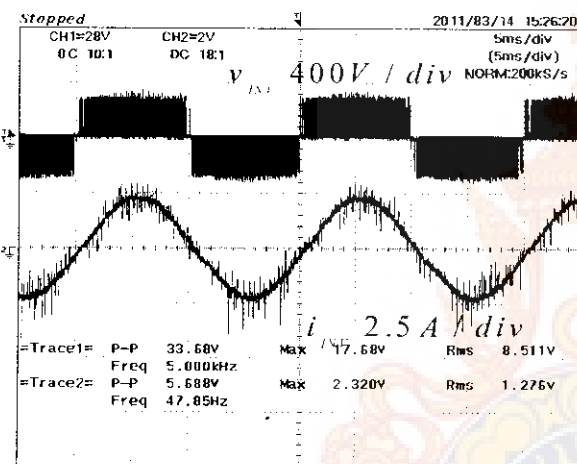
รูปที่ 5 การทำงานของไฟฟลักกูปแบบหนึ่งเฟส



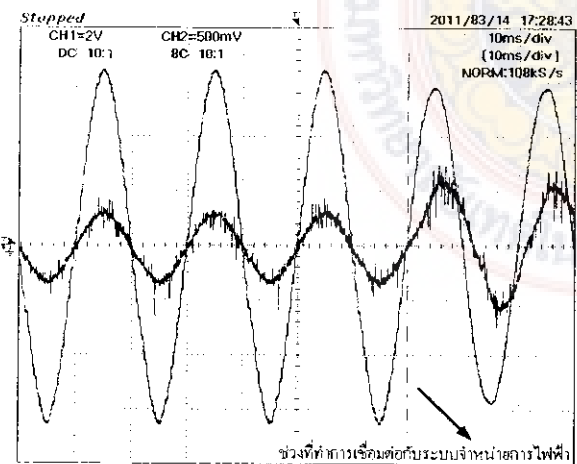
รูปที่ 6 แรงดันและกระแสอินเวอร์เตอร์ที่กำลังไฟฟ้าสูงสุด



รูปที่ 7 ผลลัพธ์การเชื่อมต่อระบบไฟฟ้าสูงสุดเมื่อเปลี่ยนโหมดแบบหันทีทันใจ



รูปที่ 8 แรงดันและกระแสของอินเวอร์เตอร์



รูปที่ 9 แรงดันและกระแสที่ก้าลังไฟฟ้าสูงสุดในขณะเชื่อมต่อระบบเข้าหน้าบานไฟฟ้า

4. สรุปผล

จากการทดสอบของวงจรบินเรียร์เตอร์หันทีทันใจ พบว่าสามารถลดความถี่ห้ามต่อกันระหว่างเจ้าหน้าที่ไฟฟ้าขนาด 1000 วัตต์ และมีค่า THD 1.8% ที่ถูกบรรยาย 2.7 แมมปี โดยมี DSC Board ทำหน้าที่สร้างสัญญาณการรวมอคูเดตให้กับภาคคำสั่งที่ความถี่สวิตซ์ 18 kHz โดยใช้ MCU แบบ dsPIC30F4011 สร้างสัญญาณควบคุมให้กับระบบ บินเรียร์เตอร์

เอกสารอ้างอิง

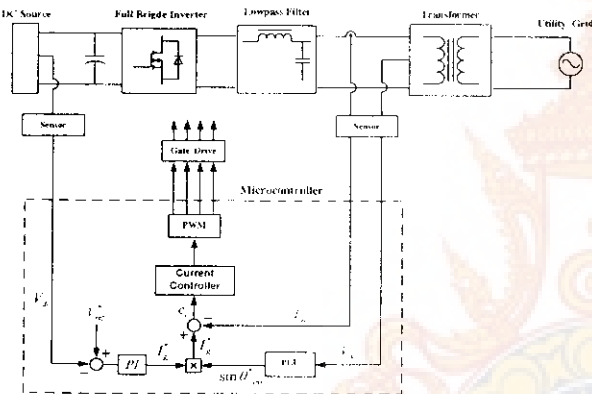
- [1] Jirawut Benjanarasu and Bunlung Neumanee, "Decoupling control technique for two kW single phase grid connected converter for wind turbines," The 3rd International conference on sustainable energy and environment 2009, May, 2009.
- [2] U. A. Miranda, M. Aredes and L.G.B.Rolim, "A DQ synchronous reference frame control for single-phase converters," PESC2005, pp. 1377-1381, 1994
- [3] D. Dong, "Modeling and control design of a bidirectional PWM converter for single-phase energy systems," M.Sc. Thesis, Virginia Polytechnic Institute and State University, 2009
- [4] D. Dong, T. Thacker, R. Burgos, D. Boroyevich and F. Wang, "On zero steady-state error of single-phase PWM inverters voltage control and phase-locked loop system," ECCE2009, pp. 892-899, 2009
- [5] Kaura, V. and Blasko, V.: "Operation of a phase locked loop system under distorted utility conditions" IEEE on Industry Application, vol. 33, Issue 1, pp. 58-63

ทดลองการสร้างสัญญาณชากบ์พัลส์วิคท์มอเตอร์ด้วยชุดวงจร Texas Instruments เบอร์ TMS320F2808 ซึ่งสามารถโปรแกรมด้วย Matlab โดยใช้โมดูลสร้างสัญญาณพัลส์วิคท์มอเตอร์ด้วยชุดวงจรชุดเดียวในส่วนการออกแบบนี้จะนำเสนอการสร้างตัวเก็บสัดส่วนวงจรไฟฟ้าแบบไฟลีกคูป [4], [5]

2. หมุนปี

2.1 บล็อกไซด์แบบอินเวอร์ตเตอร์หนึ่งไฟฟ้าแบบต่อเข้าระบบจานวนยี่ฟ้ากำลัง

บล็อกไซด์แบบอินเวอร์ตเตอร์หนึ่งไฟฟ้าแบบต่อเข้าระบบจานวนยี่ฟ้ากำลังประกอบไปด้วย 5 ส่วนสำคัญคือ แหล่งพลังงานที่ต้องการจะส่งออก ไฟฟ้ากระแสตรง วงจรอินเวอร์ตเตอร์ การควบคุมแบบดิจิตอล วงจรการติดตามความเร็ว และหน้าเปลี่ยนแบบไฟฟ้าตัวอย่างที่ 1 ดังในรูปที่ [6]



รูปที่ 1 บล็อกไซด์แบบอินเวอร์ตเตอร์หนึ่งไฟฟ้าแบบต่อเข้าระบบจานวนยี่ฟ้ากำลัง

1. แหล่งจ่ายไฟฟ้ากระแสตรงเพื่อจ่ายไฟกับอินเวอร์ตเตอร์ มักศึกษาจะสามารถใช้แหล่งจ่ายไฟฟ้ากระแสตรง 48 โวลต์เพื่อการป้องกันไฟฟ้ากระแสตรงและแหล่งพลังงานที่ต้องการจะส่งออกได้
2. ส่วนวงจรกำลัง ซึ่งประกอบด้วยอินเวอร์ตเตอร์หนึ่งไฟฟ้าที่ไม่สามารถต่อเข้าระบบได้โดยตรงแต่ต้องผ่านวงจรตัวจ่ายไฟฟ้ากระแสสลับ
3. วงจรกรองทำหน้าที่กรองสัญญาณภาร์ต์ที่มีส่วนร่วมในการส่งตัวเก็บสัญญาณที่ต้องห่วงโซ่กับวงจรกำลังในการทดสอบไฟฟ้าตัวอย่างเช่น LC
4. ส่วนควบคุมซึ่งประกอบด้วยตัวควบคุมกระแสไฟฟ้าและวงจรด้านส่งข้อมูล ออกแบบมาเพื่อปรับระดับสัญญาณแรงดันให้อยู่ในช่วง 0-3.3 โวลต์ก่อนนำไปเป็นสัญญาณดิจิตอลสีดำ A/D ในตัวwareware รวมผลลัพธ์สัญญาณดิจิตอล ส่วนวงจรขั้นนำเกิดจากมอเตอร์ในอินเวอร์ตเตอร์ที่ทำหน้าที่แยกวงจรควบคุมกับวงจรกำลังที่เป็นอิสระต่อันนั้น และการโปรแกรมด้วยชุดวงจรชุดเดียวในส่วนการออกแบบนี้จะนำเสนอการสร้างตัวเก็บส่วนของวงจรในอินเวอร์ตเตอร์ที่ต้องการจะส่งออก

ตัวอย่างอิมฟ์สเล็กคูปในหัวข้อ 2.2 และตัวควบคุมวงจรเบรกบันและกรองแสง

5. หน้าเปลี่ยนแบบไฟฟ้าตัวหน้าที่บันยิดก็ติดไฟฟ้าและยังคงทำงานต่อเมื่อเป็น 220 โวลต์เพื่อเขื่อนต่อเข้ากับระบบเข้าหน้าข้อมูลการไฟฟ้า

2.2 ไฟลีกคูปแบบหนึ่งไฟฟ้า

บล็อกไซด์แบบไฟฟ้าหนึ่งไฟฟ้าในรูปที่ 2 สามารถหาไฟลีกคูปได้ดังสมการที่ (1)

$$F_{ot}(s) = PD(s).LF(s).FCO(s)$$

$$= k_m \frac{k_p \left(1 + \frac{1}{T_i s} \right)}{s} = \frac{k_p s + \frac{k_p}{T_i}}{s^2} \quad (1)$$

และสามารถหาไฟลีกคูปได้ดังในรูปที่ (2)

$$H_o(s) = \frac{\Theta'(s)}{\Theta(s)} = \frac{LF(s)}{1 + LF(s)} = -\frac{\frac{K_p}{T_i} s + \frac{K_p}{T_i}}{s^2 + K_p s + \frac{K_p}{T_i}} \quad (2)$$

เมื่อป้อนอัลตราบลูบันทางบีดังในสมการที่ (2) จะมีฟังก์ชันถ่วงใจลงอันดับสองที่มีสัมภ�性เหมือนวงจรกรองความถี่ต่ำทำหน้าที่กรองสัญญาณความถี่สูงและตัวอย่างที่ต้องการจะส่งออกในระหว่างนี้ เมื่อเทียบกับสมการมาตรฐานอันดับสองจะได้ค่า ω_n, ζ ตามสมการที่ (3) [8]

$$\omega_n = \sqrt{\frac{K_p}{T_i}} \quad \text{และ} \quad \zeta = \frac{\sqrt{K_p T_i}}{2} \quad (3)$$

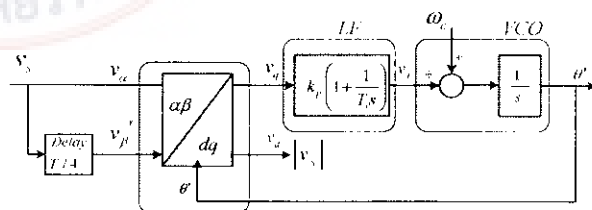
จากผลของการวิเคราะห์วงจรดังกล่าวสามารถคำนวณความถี่ต่ำทำหน้าที่ (ω_n) เพื่อให้ผลตอบสนองทางเวลาของวงจรดังกล่าวสามารถสอดคล้องกับวงจรที่ต้องมีค่าคิดพลาคไม่เกิน 5 % เมื่อป้อนสัญญาณอินพุตเดินขั้น (step)

$$t_c = 4.67 \quad \text{ต่อ} \quad \tau = \frac{1}{\zeta \omega_n} \quad (4)$$

จากสมการที่ (4) เมื่อกำหนดช่วงเวลาขั้นที่ของฟังก์ชันถ่วงใจโดยตรง สมการที่ (2) แล้วก็จะสามารถหาค่า parameter ของวงจรได้ดังนี้

$$\text{จะได้ค่า} \quad K_p = 2\zeta \omega_n = \frac{9.2}{T_s} \quad (5)$$

$$T_i = \frac{2\zeta}{\omega_n} = \frac{T_s \zeta^2}{2.3} \quad (6)$$



รูปที่ 2 บล็อกไซด์แบบไฟฟ้าหนึ่งไฟฟ้า

2.3 ตัวความคุณวิรรณกระแแบบสัดส่วนบวกกีโซนเนนซ์

ตัวความคุณแบบสัดส่วนบวกกีโซนเนนซ์ที่บัน្តฐานนด้วยความคุณแบบอินทิเกรตอุดมคติสูมการที่ (8) และเมื่อใช้ตัวความคุณแบบอินทิเกรตจำนวนสองตัวที่สัญญาณกระแแบบสัดส่วนกิโน่ที่ 50 //z ก็ทำให้ความผิดพลาดในสภาวะอุตสาหกรรมสัญญาณเป็นสูนห์พิจารณาจากรูปที่ 6 และสามารถจัดสัญญาณร่วมกันที่ความถี่อัรบ์มคบิกส์ต้องการได้ [4]

$$G_{ac}(s) = G_{ix}(s - j\omega) + G_{ix}(s + j\omega) \quad (7)$$

ที่ $G_{ac}(s)$ แทนสัญญาณแกนหยุดนี้

$$G_{dc}(s) = \frac{Y(s)}{E(s)} = \frac{K_i}{s} \rightarrow G_{ac}(s) = \frac{2K_i s}{s^2 + \omega^2}, \quad (8)$$

สมการที่ (9) เป็นเทอมตัวความคุณสัดส่วนบวกกีโซนเนนซ์ที่ส่วนอนุกตันดับ 3, 5, 7 เพื่อลดความเพิ่บของสัญญาณกระแแบบสัดส่วน

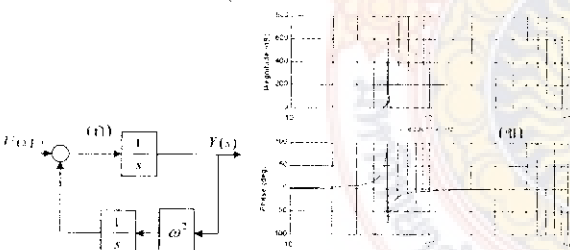
$$G_h(s) = \sum_{n=3,5,7} \frac{2K_{nh}s}{s^2 + (h\omega)^2} \quad (9)$$

การสร้างตัวความคุณในสมการที่ (10) ทำได้โดยใช้ตัวคินทริเกอร์ต่อจิตวนส่องคัวป้อนกลับด้วยอัตราขยาย ω^2 ดังในรูปที่ 3(a) และสามารถหาผลตอบสนองทางความถี่ในรูปที่ 3(b) จะสังเกตว่าอัตราขยายจะมีค่าเป็นคับเพี้ยนที่ความถี่ 50 Hz

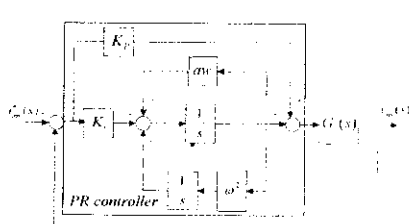
$$\frac{Y(s)}{U(s)} = \frac{s}{s^2 + \omega^2} \Leftrightarrow \begin{cases} Y(s) = \frac{1}{s}[U(s) - V(s)] \\ V(s) = \frac{1}{s}\omega^2 Y(s) \end{cases} \quad (10)$$

รูปที่ 4 แสดงการสร้างตัวความคุณที่มีการบังคับไปในตัวพัฒนาสมการที่ (11)

$$\omega w = \begin{cases} y_{max} - y, & y > y_{max} \\ -y_{max} - y, & y < -y_{max} \end{cases} \quad (11)$$



รูปที่ 3 (ก) บล็อกแกรมการสร้างตัวความคุณ (ข) บล็อกแกรมของวงจรความถี่ของตัวความคุณที่ค่า $K_p = 1$, $K_i = 20$, $\omega = 314 \text{ rad/s}$



รูปที่ 4 ตัวความคุณสัดส่วนบวกกีโซนเนนซ์ที่มีการบังคับไปในตัวพัฒนา

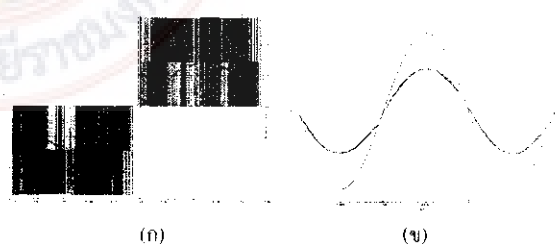
3. การจำลองการทำงานของอินเวอร์เตอร์หนึ่งเฟสแบบต่อเข้าระบบจ่ายไฟฟ้า

จากการจำลองการทำงานอินเวอร์เตอร์หนึ่งเฟสแบบญูนิไฟลาร์ พลังงานจิตต์คงได้แรงดันอาทิตย์พุ่งของอินเวอร์เตอร์ในรูปที่ 5 (ก) บล็อกแกรมของแรงดันได้ THD 1.6 % แรงดันและกระแสเมื่อผ่านวงจรกรองความถี่ต่อผ่านเกลียวจะเห็นว่าได้แรงดันไฟฟ้ากระแทกสัมภาระ 36 โวต์ต่อคู่กันเข้าหากันอย่างไฟฟ้าเพื่อการดับแรงดันไฟฟ้าใน 220 โวต์ และผลการเข้าคอมต่อเข้าระบบจ่ายไฟดังในรูปที่ 6 ได้กระแสอาทิตย์พุ่งที่กิตติมีค่า THD 1.91 %

ตารางที่ 1 ค่าพารามิเตอร์ที่ใช้ในการจำลองการทำงานและความคุณแบบ Real-time ด้วย Matlab-Simulink

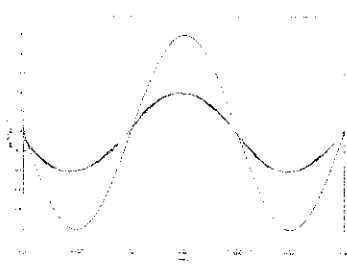
พารามิเตอร์	ค่า	หน่วย
แรงดันอินพุต (V_d)	58	V
แรงดันออก (v_{out})	36	V
ตัวเหนี่ยวไว้เดินต่อพุ่ง (L_{in})	1.5	mH
ตัวเคเบิลประจุตัวเดินต่อพุ่ง (C_{ac})	2.2	μF
ความถี่สวิตช์วงจรกำลัง (f_s)	10	kHz
ตัวความคุณพิษเรร์บันกระแทก (K_{pe}, K_{ie})	10, 500	
ตัวความคุณพิไอร์บันแรงดัน (K_{pi}, K_{vi})	0.02, 5	
หน้ากากไมโครคอนโทรลเลอร์	36/220	

การควบคุมอินเวอร์เตอร์โดยใช้ Real-time Embedded t-order และ F2808 eZdsp Blocksets ในรูปที่ 7 เพื่อสร้างระบบควบคุมตัวเขายก ADC สำหรับ 4 ช่องสัญญาณสำหรับกระแแบบสัดส่วนที่อ่านกันลับกัน เช่นชอร์นิ่งร่วมกัน สำหรับสัญญาณพัลส์วิทมอตอร์ชั้น ePWM สำหรับ 2 ช่องสัญญาณที่นั้นจะผ่านวงจรขั้นเกลียวไฟไฮซีเนอร์ HCPL3180 จากนั้นส่งสัญญาณไปยังบอร์ดสำหรับมอเตอร์ IRF640PBF สำหรับ 4 ตัวสำหรับอินเวอร์เตอร์หนึ่งเฟส ผลการทดลองในรูปที่ 8-9 แสดงผลการทดลองกระแแบบสัดส่วนต่อคู่ที่ค่าพุ่งของอินเวอร์เตอร์จะลดลงเมื่อต่อระบบจ่ายไฟฟ้า

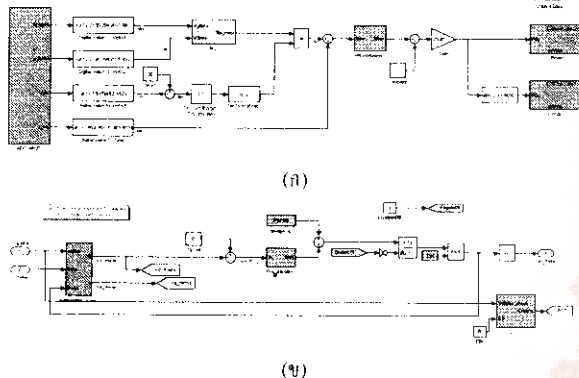


รูปที่ 5 (ก) บล็อกแกรมแรงดันเกลียวญูนิไฟลาร์และกระแสอินเวอร์เตอร์

(ข) ผลจำลองแรงดันและกระแสอินเวอร์เตอร์เมื่อต่อระบบจ่ายไฟฟ้าผ่านเกลียว LC

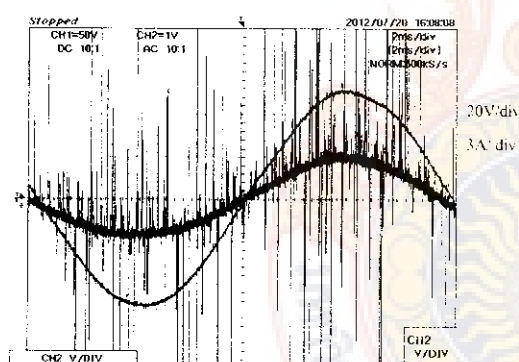


รูปที่ 6 ผลจำลองกระแสเอาด้วย $THDI = 1.91\%$ และแรงดันกริด

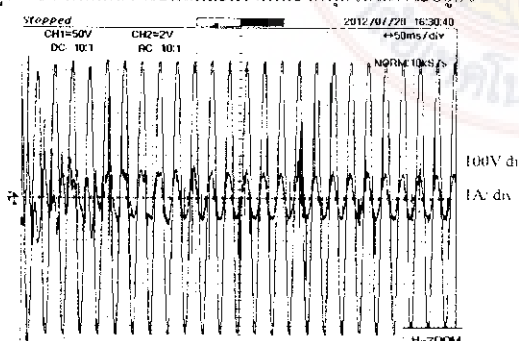


รูปที่ 7 (ก) บล็อก Simulink สำหรับความถี่และตัวรับสัญญาณพัสดุ
ไฟฟ้าดูดเข้า (ข) บล็อก Simulink ไฟฟ้าดูดออกไปทางหนึ่งไฟ

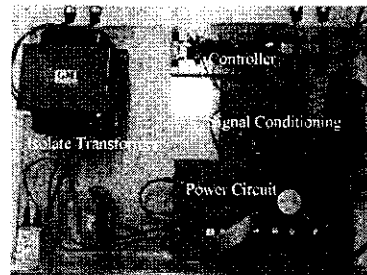
4. ผลการทดลอง



รูปที่ 8 ผลทดลองของกระแสและแรงดันเอาด้วยที่ในสภาวะอยู่ด้วย



รูปที่ 9 ผลทดลองของกระแสและแรงดันเอาด้วยที่คุณภาพเริ่มต้นด้วยการ



รูปที่ 10 กากเพื่อในเครื่องที่สามารถดื่มน้ำหนัก

4. สรุปผล

จากการสร้างระบบควบคุมอินเวอร์เตอร์นี้เพื่อแก้ไขความไม่สมดุลของตัวระบบเข้าหากันไฟฟ้าถ้าลังด้วยการควบคุมกระแสแบบดิจิตอลของตัวควบคุมสัตห์สำนักวิเคราะห์แบบนี้แสดงให้เห็นว่ากระแสที่ได้จากลิมาร์ก็จะมีความผิดพลาดในสภาวะอยู่ด้วยกันสูงๆ รวมทั้งสามารถจัดให้สถานะที่ได้ถูกตรวจสอบได้ตามที่ต้องการได้ สำหรับการที่ต้องการให้สามารถดำเนินการได้โดยอัตโนมัติ ที่สำคัญที่สุดคือการใช้ตัวกรอง LCL เพื่อทดสอบความคงกระพันและอัลกอริทึมการป้องกันการแยกตัวกัน (Anti-islanding) ของอินเวอร์เตอร์ต่อไป

เอกสารอ้างอิง

- [1] Dugan, R.C.; Key, T.S.; Ball, G.J., "Distributed resources standards," Industry Applications Magazine, IEEE, vol. 12, no. 1, pp. 27-34, Jan.-Feb. 2006
- [2] IEEE Std. 1547-2003 "Standard for Interconnecting Distributed Resources with Electric Power Systems," ISBN 0-7381-3720-0 SH95144, IEEE, June 2003
- [3] D. Zmood and D. G. Holmes, "Stationary frame current regulation of PWM inverters with zero steady-state error," IEEE Trans. on Power Electronics, vol. 18, no. 3, pp. 814-822, 2003.
- [4] R. Teodorescu, F. Blaabjerg, M. Liserre and A. Poh Chiang Loh, "Proportional-Resonant Controllers and Filters for Grid-Connected Voltage-Source Converters" IEE Proceedings on Electric Power Applications, Vol. 153, Issue 5, Sep., 2006
- [5] Dong D., Thacker T., Burgess R., Baroyevich D., Wang F., Giewont B., "Control design and experimental verification of a multi-function single-phase bidirectional PWM converter for renewable energy systems," EPE '09, 8-10 Sept. 2009, pp. 1-10.
- [6] Raphael Marguet, "Development of a digitally controlled low power single phase inverter for grid connected solar panel", Norwegian University of Science and Technology Department of Electric Power Engineering, Jan. 2010.

បរវត្ថានករណៈ

- [1] Jirawut Benjanarasut and Bunlung Neammanee, "Decoupling control technique for two kW single phase grid connected converter for wind turbines," The 3rd International conference on sustainable energy and environment 2009, May, 2009.
- [2] U. A. Miranda, M. Aredes and L.G.B.Rolim., "A DQ synchronous reference frame control for single-phase converters," PESC2005, pp. 1377–1381, 1991
- [3] D. Dong., "Modeling and control design of a bidirectional PWM converter for single-phase energy systems," M.sc. Thesis, Virginia Polytechnic Institute and State University, 2009
- [4] D. Dong, T. Thacker, R. Burgos, D. Boroyevich and F. Wang., "On zero steady-state error of single-phase PWM inverters voltage control and phase-locked loop system," ECCE2009, pp. 892 – 899, 2009
- [5] Kaura, V. and Blasko, V.; "Operation of a phase locked loop system under distorted' utility conditions" IEEE on Industry Application, vol. 33, Issue 1, pp. 58-63
- [6] D. Zmood and D. G. Holmes, "Stationary frame current regulation of PWM inverters with zero steady-state error," IEEE Trans. on Power Electronics, vol. 18, no. 3, pp. 814–822, 2003.
- [7] R. Teodorescu, F. Blaabjerg, M. Liserre and A. Poh Chiang Loh, "Proportional-Resonant Controllers and Filters for Grid-Connected Voltage-Source Converters" IEE Proceedings on Electric Power Applications, Vol. 153, Issue 5, Sep., 2006
- [8] Dong D., Thacker T., Burgos R., Boroyevich D., Wang F., Giewont B., "Control design and experimental verification of a multi-function single-phase bidirectional PWM converter for renewable energy systems," EPE '09. , 8-10 Sept. 2009, pp.1-10,
- [9] Raphael Marguet, "Development of a digitally controlled low power single phase inverter for grid connected solar panel", Norwegian University of Science and Technology Department of Electric Power Engineering, Jan. 2010.

ภาคผนวก ก

โปรแกรม

```
//-----//  
// Program : LCD display  
// Description : Example for LCD display mode 4 bit  
// Frequency : 7.3738 MHz at PLL 4x  
// Filename : lcd.c  
// C compiler : C30 Compiler by Microchip Technology  
//-----//  
  
#include<p30f4011.h> // Header file for dsPIC30F2010  
  
#include"math.h"  
  
//----- Function display character by configuration delay time -----//  
//-----//  
  
_FOSC(CSW_FSCM_OFF & XT_PLL16);  
_FWDT(WDT_OFF);  
_FBORPOR(PWRT_OFF & MCLR_EN);  
_FGS(CODE_PROT_OFF);  
  
#define PLL 16 //POOM  
#define FOSC 6000000  
#define FCY FOSC*PLL/4  
#define twopi 6.283185307  
#define preiod 600  
  
//----- PLL -----  
#define Vref 5.0
```

```

#define flimit_higher 0.0000454//ค่าสูงสุดของค่า Err ค่ามากสุดเท่ากับ Vmag //ค่าที่เหมาะสมก่อน
เพิ่มการคำนวน Vdc0.00006692

#define flimit_lower -0.0000454//ค่าต่ำสุดของค่า Err ค่ามากสุดเท่ากับ Vmag

int Kp_PLL=143;

int Ki_PLL=3; // Vref 5-1023 ใช้ก็หนนค่า แรงดันอ้างอิงของบอร์ดคือ 5.02V ; Voffset
กำหนดค่า ครึ่งหนึ่งของสัญญาณ (Peak to peak)ของสัญญาณไฟ
int Err_PLL; //ค่า Err_PLL ไม่เกิน 4 ถึง -4 ค่า Err 1องศาเท่ากับ
0.069809626ถึง-0.069809626 360องศา=6.282866 -359.98องศา

float cos_theta,sin_theta;

float Vsin,Vcos;

float Pro_Vac_PLL,Int_Vac_PLL;

float w;

float theta=0;

int Vcon,Vcon1;

int Result=0;

int Vdc;

int Isin,Icos;

int Id;

int Valpha,Vbeta;

float dSum,dExcess,dOut;

extern unsigned int ADResultAN0,ADResultAN1,ADResultAN2,ADResultAN3,ADResultAN4;

float dErr,U2;

float Vsd;

void Park_TRANSFORM(void);

void Phase_lock_loop(void);

void PI(void);

void InversePark (void);

void Setup(void);

void __attribute__((__interrupt__)) PWMInterrupt(void);

```

```

//----- Main Program -----
int main(void)
{
    ADC_Init();
    Setup(); // Initialize PWM
    while(1);

}

void Phase_lock_loop(void)
{
    Vcos = ((ADResultAN0/1023.)*Vref)-2.05;
    Vsina = ((ADResultAN1/1023.)*Vref)-2.05;
    Isin = ADResultAN2-426;
    Icosa = ADResultAN3-426;
    Err_PLL = 0.0-((-Vcos*sin_theta)+(Vsina*cos_theta));

    Int_Vac_PLL = Int_Vac_PLL + (Ki_PLL*Err_PLL*preiod);
    Pro_Vac_PLL = Kp_PLL*Err_PLL;

    w = Int_Vac_PLL - Pro_Vac_PLL ;
    w = ((w<=twopi*flimit_higher) ? w:(twopi*flimit_higher)); //กำหนดความถี่
    w = ((w>=twopi*flimit_lowcr) ? w:(twopi*flimit_lowcr)); //กำหนดความถี่
    theta = theta + (w*preiod);
    if(theta<=0.)
    {
        theta += twopi;
        if(theta >= twopi)
        {
            theta -= twopi;
            cos_theta = cosf(theta);
            sin_theta = sinf(theta);
            Id = fabs((Icosa*cos_theta)+(Isin*sin_theta));
        }
    }
}

```

```
}
```

```
void PI(void)
{
    Vdc = (10-ADResultAN4);

    if(      Vdc >= 10)
        {Vdc = 10; }

    if(      Vdc <= -10)
        {Vdc = -10; }

    U2=Vdc*30;

    dErr = fabs(dSum)+((U2+Id)/3); //

    if (dErr >= 20){
        dOut = 20;
    }

    else if (dErr <= -20){
        dOut = -20;
    }

    else{
        dOut = dErr;
    }

    dExcess = dErr - dOut;

    dSum = (dSum + ((-U2-Id)/100)-(dExcess/100))/1.01;
}
```

```
void InversePark (void)
{
```

```
    Valpha =(305+dSum)*sin_theta;
    Vbeta = -Valpha;
    Vcon = Valpha*64; // แปลงค่าจาก 10bit เป็น 16bit
```

```

Vcon1 = Vbeta*64;

    asm__("mov.w      #655,w4");
    asm__("mov.w      Vcon,w5");
    asm__("mpy w4*w5,A");           //Q15*Q0
    asm__("mov.w      ACCAH,w1");   //Q0
    asm__("add.ww4,w1,w0");
    asm__("mov w0,PDC1");
    __asm__("mov.w      #655,w4"); //20KHz T1/2 736
    __asm__("mov.w      _Vcon1,w5");
    __asm__("mpy w4*w5,A");       //Q15*Q0
    asm__("mov.w      ACCAH,w1"); //Q0
    asm__("add.ww4,w1,w0");
    __asm__("mov w0,PDC2");
}

void __attribute__ ((interrupt)) _PWMInterrupt(void)
{
    Phasc_lock_loop();
    PI();
    InversePark();
    IEC0bits.ADIE = 1;
}

//===== ADC10test1.c =====
//===== =====
#include "p30fxxxx.h"
#include "math.h"
#include<adc10.h>
//=====
//=====

#define FOSC 6000000

```

```

#define PLL    16
#define Fcy  FOSC*PLL/4

unsigned int ADResultAN0 = 0;
unsigned int ADResultAN1 = 0;
unsigned int ADResultAN2 = 0;
unsigned int ADResultAN3 = 0;
unsigned int ADResultAN4 = 0;

void __attribute__((__interrupt__)) ADCInterrupt(void);
void ADC_Init(void)
{
    ADCON1bits.FORM = 0;
    ADCON1bits.SSRC = 7;
    ADCON1bits.ASAM = 1;
    ADCON1bits.SIMSAM = 0;
    ADCON2=0x0414;
    ADCON3=0x1F87;
    ADCHS = 0x0025;
    ADCSSL = 0x00FF;
    ADPCFG = 0xFF00;
    IFS0bits.ADIF = 0;
    ADCON1bits.ADON = 1;
}

void __attribute__((__interrupt__)) ADCInterrupt(void)
{
    ADResultAN0 = ADCBUF0;
    ADResultAN1 = ADCBUF1;
    ADResultAN2 = ADCBUF2;
    ADResultAN3 = ADCBUF3;
    ADResultAN4 = ADCBUF4;
}

```

```

IFS0bits.ADIF = 0;
}

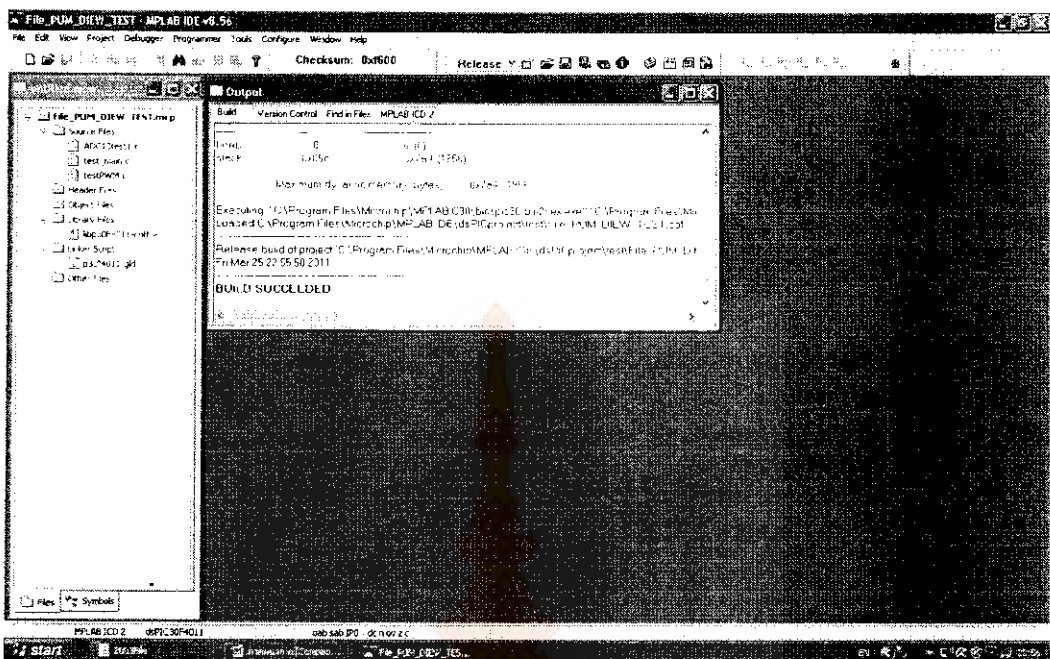
#include "p30Fxxxx.h"
#include "math.h"

#define PLL          16      //XC PLL
#define FOSC  6000000
#define FCY   FOSC*PLL/4
#define FPWM 20000      // 20 kHz

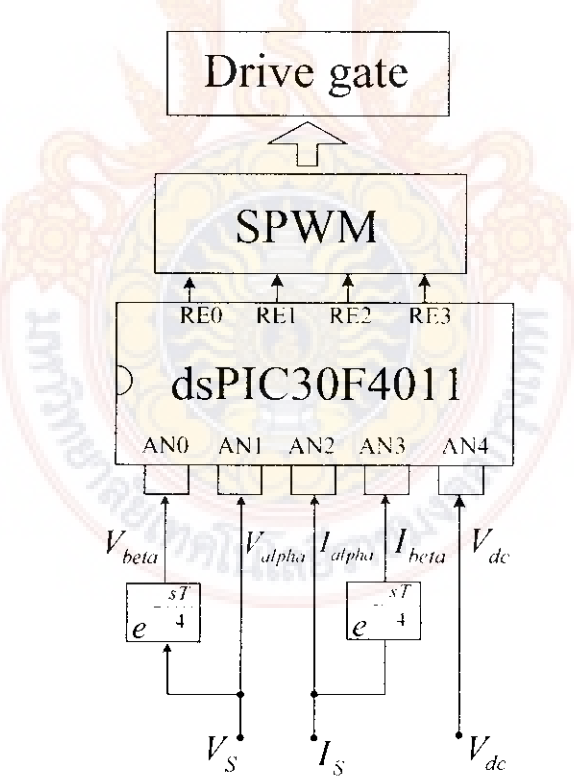
//===== test PWM.c =====

void Setup(void)
{
    PTPER = (FCY/FPWM)/1.8;
    OVDCON = 0x0000;    // Disable all PWM outputs.
    DTCOI = 0x000F;
    PWMCON1 = 0x0077;  // Enable PWM output pins and enable complementary mode
    PTMR = 0x0000;
    PDC1 = PTPER;
    PDC2 = PTPER;
    IFS2bits.PWMIF = 0;
    IEC2bits.PWMIE = 1;      // Enable PWM Interrupts
    OVDCON = 0x3F00;
    PTCONbits.PTMOD = 2;
    PTCONbits.PTCKPS = 0;
    PTCONbits.PTEN = 1;      // Start PWM
}

```



โปรแกรม MPLAB IDE V8.56



ສ້າງມານອິນພຸດຂອງໄມໂຄຣຄອນໂກຮເລອງ

ภาคผนวก ข

ประวัตินักวิจัย

1 ชื่อ และ นามสกุล นายเอกพล อันสุเรนทร์

Mr. Ekapol Anusuren

2 หมายเลขบัตรประชาชน 31101 01039 00 3

3 ตำแหน่งปัจจุบัน

อาจารย์ประจำระดับ

สาขาวิชาที่ทำการวิจัย สาขาวิศวกรรมไฟฟ้า

4 สถานที่ติดต่อ

ที่ทำงานปัจจุบัน สาขาวิชาชีวกรรมไฟฟ้า คณะวิศวกรรมศาสตร์

มหาวิทยาลัยเทคโนโลยีราชมงคลกรุงเทพ เลขที่ 2 ถนนนางลิ้นจี่

แขวงทุ่งมหาเมฆ เขตสาทร กรุงเทพฯ รหัสไปรษณีย์ 10120

โทรศัพท์ 02286 9629

ที่อยู่ปัจจุบัน มหาวิทยาลัยเทคโนโลยีราชมงคลกรุงเทพ เลขที่ 2 ถนนนางลิ้นจี่

แขวงทุ่งมหาเมฆ เขตสาทร กรุงเทพฯ รหัสไปรษณีย์ 10120

โทรศัพท์ 0 2286 9629 E-mail: ekkapola@yahoo.com

5. ประวัติการศึกษา

ระดับ การศึกษา	อักษรย่อ ปริญญา	วิชาเอก	สถานศึกษา	ปีที่ สำเร็จ	ประเทศไทย
ปริญญาโท	ว.ศ.ม.	วิศวกรรมไฟฟ้า	จุฬาลงกรณ์มหาวิทยาลัย	2542	ไทย
ปริญญาตรี	ว.ศ.บ.	วิศวกรรมไฟฟ้า	มหาวิทยาลัยหอการค้าไทย	2538	ไทย

6 สาขาวิชาการที่มีความชำนาญพิเศษ ไม่ครอบคลุมโดย การวัดและเครื่องมือวัดไฟฟ้า

7. ประสบการณ์ที่เกี่ยวข้องกับการบริหารงานวิจัยทั้งภายในและภายนอกประเทศ โดยระบุสถานภาพในการทำวิจัยว่าเป็นผู้อำนวยการแผนงานวิจัย หัวหน้าโครงการวิจัย หรือผู้ร่วมวิจัยในแต่ละข้อเสนอการวิจัย

7.1 ผู้อำนวยการแผนงานวิจัย: ชื่อแผนงานวิจัย

7.2 หัวหน้าโครงการวิจัย: ชื่อโครงการวิจัย

เครื่องควบคุมการจุดระเบิดสำหรับเครื่องยนต์ดัดแปลง (งบประมาณเงินรายได้ปี 2555)

7.3 งานวิจัยที่กำลังเสร็จแล้ว: ชื่อผลงานวิจัย ปีที่พิมพ์ การเผยแพร่ และแหล่งทุน “อินเวอร์เตอร์หนึ่งเฟสแบบเชื่อมต่อกับระบบจำหน่ายไฟฟ้าด้วยdsPIC30F4011” EENET2012, เอกพล อันสุเรนทร์, ชาญฤทธิ์ สารัสสันติสุข “เครื่องวัดกำลังไฟฟาระยะไกลผ่านทางการสื่อสารแบบไร้สาย” EENET2012, เอกพล อันสุเรนทร์



1 ชื่อและ นามสกุล อาจารย์ชานริต ตราสารัตน์สุข
 Mr. Chanrit Tarasantisuk
2 หมายเลขบัตรประชาชน 3-2010-00133-45-4
3 ตำแหน่งปัจจุบัน
 อาจารย์พนักงานมหาวิทยาลัย
 สาขาวิชาที่ทำการวิจัย สาขาวิศวกรรมไฟฟ้า
4 สถานที่ติดต่อ
 ที่ทำงานปัจจุบัน สาขาวิศวกรรมไฟฟ้า คณะวิศวกรรมศาสตร์
 มหาวิทยาลัยเทคโนโลยีราชมงคลกรุงเทพ เลขที่ 2 ถนนนางลิ้นจี่
 แขวงทุ่งมหาเมฆ เขตสาทร กรุงเทพฯ รหัสไปรษณีย์ 10120
 โทรศัพท์ 0 2286 9629
ที่อยู่ปัจจุบัน 116/95 ตึก B3 อาคาร LPN รามคำแหง 43/1 แขวง/เขต วังทองหลาง
 กรุงเทพฯ 10310 E-mail chanrit.t@rmutk.ac.th

5. ประวัติการศึกษา

ระดับการศึกษา	อักษรย่อปริญญา	วิชาเอก	สถานศึกษา	ปีที่สำเร็จ	ประเทศ
ปริญญาโท	วศ.ม.	วิศวกรรมไฟฟ้า	สถาบันเทคโนโลยีพระจอมเกล้าเจ้าคุณทหารลาดกระบัง	2546	ไทย
ปริญญาตรี	ค.บ.	วิศวกรรมไฟฟ้า	สถาบันเทคโนโลยีพระจอมเกล้าพระนครเหนือ	2543	ไทย

6 สาขาวิชาการที่มีความชำนาญพิเศษ ระบบควบคุมอิเล็กทรอนิกส์กำลัง พลังงาน ทดแทน

7. ประสบการณ์ที่เกี่ยวข้องกับการบริหารงานวิจัยทั้งภายในและภายนอกประเทศไทย โดย
 ระบุสถานภาพในการทำวิจัยว่าเป็นผู้อำนวยการแผนงานวิจัย หัวหน้าโครงการวิจัย หรือ
 ผู้ร่วมวิจัยในแต่ละข้อเสนอการวิจัย

- 7.1 ผู้อำนวยการแผนงานวิจัย: ชื่อแผนงานวิจัย**
7.2 หัวหน้าโครงการวิจัย: ชื่อโครงการวิจัย
 - เครื่องจำลองกังหันลมด้วยมอเตอร์เห็นได้ชัดที่มีการควบคุมแบบ Real-time
 (ปีงบประมาณ 2553) ร่วมวิจัยและจบโครงการเรียบร้อย

- ชุดฝึกวิศวศึกษาด้านอิเล็กทรอนิกส์กำลังด้วย DSP (TMS320F2812) ที่มีการควบคุมแบบ Real-time (ปีงบประมาณ 2553) หัวหน้าโครงการและจบโครงการเรียบร้อย
- การพัฒนาแหล่งจ่ายพลังงานไฟฟ้าแบบไฮบริดสำหรับป้ายแสดงผลอิเล็กทรอนิกส์ (ปีงบประมาณ 2554) หัวหน้าโครงการและจบโครงการเรียบร้อย
- เครื่องกำลังเข้มฉีดยาด้วยการอาร์กไฟฟ้าแบบพกพา" (ปีงบประมาณ 2554) หัวหน้าโครงการและจบโครงการเรียบร้อย
- เครื่องประจุแบตเตอรี่แบบค่าดั้วประกอบกำลังสูงสำหรับแบตเตอรี่แบบลิเทียมไอออน และแบบกรดตะกั่ว (ปีงบประมาณ 2554) ร่วมวิจัยและจบโครงการเรียบร้อย
- ระบบผลิตไฟฟ้าด้วยกังหันลมที่มีกำลังไฟฟ้าสม่ำเสมอด้วยอัตราค่าปานิชเดอร์ (งบประมาณ สกอ. ปีงบประมาณ 2554) หัวหน้าโครงการและอยู่ระหว่างวิจัย

7.3 งานวิจัยที่ทำเสร็จแล้ว: ชื่อผลงานวิจัย ปีที่พิมพ์ การเผยแพร่ และแหล่งทุน

- "Identification and control of brushless DC motor using on-line trained artificial neural networks", Tipsuwanporn, V.; Piyarat, W.; **Tarasantisuk, C.**, PCC2002, Japan.
- "Enhanced control design of single phase AC-DC converter using power balance calculator" Tipsuwanporn, V.; **Tarasantisuk C.**, Piyarat W., Power and Energy System conference, IASTED
- "A Matlab/Simulink tool for power converters teaching - a power factor correction approach", Tipsuwanporn, V.; **Tarasantisuk, C.**; Phanphairoje, S., PEDS2003, Singapore
- "A Matlab/Simulink Tool for Enhancing Efficient Education of Power Electronics Corresponding to the ETH Power Converter Laboratory", **C. Tarasantisuk**, S. Tunyasirut and V.Tipsuwanporn, IECON2004, Korea.
- "Representations of Robustly Stabilizing Controller Structure for Distributed Control Architectures with Plant Uncertainties" K. Witheephanich, W. Piyarat and **C. Tarasantisuk**, IECON2004, Korea
- "Controller Design for a Networked Control System with Plant Uncertainties"; K. Witheephanich, W. Piyarat and **C. Tarasantisuk**, EECON27, (Best Paper), Khonkhan University

-“The Experimental Setup of DC Motor Speed and Position Control with LabVIEW Programming” C. Tarasantisuk, EECON29, มหาวิทยาลัยเทคโนโลยีราชมงคลธัญบุรี

- “Position Control of DC Motor using Sliding Mode Control” เวคิน ปิยรัตน์ ฉลอง โสดาบัน และชาญฤทธิ์ ราารสันติสุข, EECON31, มหาวิทยาลัยศรีนครินทรวิโรฒ

-“Z-source Inverter for Renewable Energy Applications” พินิจ เทพสาราร เวคิน ปิยรัตน์ และ ชาญฤทธิ์ ราารสันติสุข, EECON31, มหาวิทยาลัยศรีนครินทรวิโรฒ

-“เครื่องประจุแบบเดอร์ค่าด้วยประกอบกำลังสูงแบบสองภาค”, พินิจ เทพสาราร ชาญฤทธิ์ ราารสันติสุข สุวิทย์ เส้าเปา และเอกพันธ์ หาญสัมฤทธิ์, EECON33, เชียงใหม่

-“การประยุกต์ใช้งานชุดปีโปรด้ามีเดอร์เป็นอุปกรณ์กักเก็บพลังงานร่วมกับเซลล์แสงอาทิตย์”, ชาญฤทธิ์ ราารสันติสุข, สุเทพ ชูฟัง และทวิช ชัยพิพัฒน์, EECON33, เชียงใหม่ .

-“เครื่องจำลองกังหันลมด้วยมอเตอร์เห็นี่ยวน้ำสำหรับการทดสอบระบบผลิตไฟฟ้าจาก กังหันลม” ชาญฤทธิ์ ราารสันติสุข, การประชุมเครือข่ายพลังงานแห่งประเทศไทย ครั้งที่ 6, มหาวิทยาลัยศรีนครินทรวิโรฒ, 5-7 พ.ค. 2553

- “Real-Time Wind Turbine Emulator for Testing Wind Energy Conversion Systems”, Kumsup S., Tarasantisuk C., EnergyCON 2010, pp.7-9

- “บูสต์ดิซีทูดิซีคอนเวอร์เตอร์แบบสามระดับที่มีการควบคุมแรงดันคงที่ด้วยตัวชดเชย แบบเฟสหน้า-เฟสล้าหลัง” EECON34, สรรชนพล คุ้มทรัพย์ และชาญฤทธิ์ ราารสันติสุข, มหาวิทยาลัยสยาม

-“อินเวอร์เตอร์หนึ่งเฟสแบบเชื่อมต่อกับระบบจำหน่ายไฟฟ้าด้วย dsPIC30F4011” EENET2012, เอกพล อันสุเรนทร์, ชาญฤทธิ์ ราารสันติสุข

“บูสต์ดิซีทูดิซีคอนเวอร์เตอร์แบบขนาด 4 โมดูลด้วยเทคโนโลยีอินเตอร์ลิฟ” EENET2012, ปิยะพร คงชัยขาวสะอาด, พาสุข เว่องรัมย์ และชาญฤทธิ์ ราารสันติสุข

-“การแปลงผันไฟฟ้ากระแสสลับเป็นไฟฟ้ากระแสตรงแบบสามเฟสที่ควบคุมกระแสด้วย วิธีอิสเตอร์รีเซิร์ฟสำหรับประยุกต์ใช้งานกับกังหันลม”, E-NETT8, ชาญฤทธิ์ ราารสันติสุข และ ทองอินทร์ สุยะหา

-“การควบคุมกระแสแบบสัดส่วนบวกเรียโซแนร์สำหรับอินเวอร์เตอร์หนึ่งเฟสแบบต่อ เข้าระบบจำหน่ายไฟฟ้ากำลังด้วยไมโครคอนโทรลเลอร์ TMS320F2808” EECON35, เอกพล อันสุเรนทร์ และชาญฤทธิ์ ราารสันติสุข, มหาวิทยาลัยกรุงเทพ

7.4 วิทยากรอบรมเรื่อง

- Control systems Laboratory with Real time control
- Power Electronics and Drives Laboratory with Matlab/Simulink

7.5 ผ่านการอบรมหลักสูตร

Department of Energy Technology, Aalborg University, เมืองอัลбор์ก ประเทศเดนมาร์ก ใน
หลักสูตรดังต่อไปนี้

1. Power Electronics for Renewable Energy Systems – in theory and practice ระหว่าง
วันที่ 3-5 พฤษภาคม พ.ศ. 2554
2. Micro grids in -theory and practice ระหว่างวันที่ 17-19 พฤษภาคม พ.ศ. 2554
3. Photovoltaic Power Systems - in theory and practice ระหว่างวันที่ 23-26 พฤษภาคม
พ.ศ. 2554

ภาคผนวก C
รายงานสรุปการเงิน
เลขที่โครงการ 2555A16662001
โครงการส่งเสริมการวิจัยในอุดมศึกษาและพัฒนามหาวิทยาลัยแห่งชาติ
สำนักงานคณะกรรมการการอุดมศึกษา

มหาวิทยาลัยเทคโนโลยีราชมงคลกรุงเทพ

ชื่อโครงการ: อินเวอร์เตอร์หนึ่งเฟสแบบต่อเข้าระบบสำหรับแหล่งจ่ายไฟฟ้าพลังงานทดแทน

ชื่อหัวหน้าโครงการวิจัยผู้รับทุน อ. เอกพล อนุสูเรนทร์ และ อ. ชาญฤทธิ์ ราerasันติสุข
 รายงานในช่วงตั้งแต่วันที่ ๑ มิถุนายน ปี ๒๕๕๕ ถึง ๓๑ เดือน ตุลาคม ปี ๒๕๕๕
 ระยะเวลาดำเนินการ ๑ ปี ๑ เดือนตั้งแต่วันที่ ๑ ตุลาคม ปี ๒๕๕๕ ถึง ๓๑ ตุลาคม ปี ๒๕๕๕

รายจ่าย

หมวด (ตามสัญญา)	รายจ่ายสะสม จากรายงานครั้ง ก่อน	ค่าใช้จ่ายงวด ปัจจุบัน	รวมรายจ่าย สะสมถึง ปัจจุบัน	งบประมาณที่ตั้ง ^{ไว้}	คงเหลือ/เกิน
1. ค่าตอบแทน	45,780.00	29,2000.00	74,980.00	74,980.00	0
2. ค่าจ้าง	-	-	-	-	0
3. ค่าวัสดุ	65,208.48	130,625.60	195,834.08	154,169.00	-41,665.08
4. ค่าใช้สอย	25,000.00	-	25,000.00	52,000.00	+27,000.00
5. สาธารณูปโภค	10,851.00	-	10,851.00	10,851.00	0
รวม	146,839.48	159,825.60	306,665.08	292,000.00	-14,665.08

จำนวนเงินที่ได้รับและจำนวนเงินคงเหลือ

งวดที่ ๑ 175,200.00 บาท เมื่อ 14 มิถุนายน 2555

งวดที่ ๒ 116,800.00 บาท เมื่อ ยังไม่ได้รับ

รวม 292,000.00 บาท

ลงนามหัวหน้าโครงการวิจัยผู้รับทุน

ดร. พงษ์รัตน์

ลงนามเจ้าหน้าที่การเงินโครงการ